Geol. Paläont.
Westf.

49

111 S.

21 Abb.
Münster
Oktober 1997

Biostratigraphie und Inoceramen des oberen Unter-Campan und unteren Ober-Campan Norddeutschlands

Ireneusz Walaszczyk*

Kurzfassung: Die Inoceramen aus dem oberen Unter- und unteren Ober-Campan von Westfalen, aus der Sammlung GIERS, sollen revidiert werden. Gleichzeitig ist auch die Inoceramen-Fauna aus dem Unter-Campan von Lägerdorf und aus dem oberen Ober-Campan von Haldem einbezogen. Die neue Inoceramen-Gliederung des Unt.- und unt. Oberen-Campan für Zentraleuropa und ihre Korrelation mit der Campan-Gliederung von Osteuropa und Nordamerika wird vorgeschlagen.

A b s t r a c t : The inoceramids of the late Early and early Late Campanian from the GIERS collection from SE Westphalia are revised. Much smaller faunas from the Lower Campanian of Lägerdorf and the upper Upper Campanian of Haldem, represented by various smaller collections, are also included. The studied material reveals a much higher taxonomic diversity of the Early and early Late Campanian inoceramids than previously assumed, suggesting a relatively fast evolutionary rate of the group, and also confirming some theoretical predictions relating to the Campanian-Early Maastrichtian history of the inoceramids. The restudied inoceramids allow a nes stratigraphical zonation to be proposed, with the following zones distinguished (in ascending order): Sphenoceramus patootensiformis (ranging down into the latest Santonian), Cataceramus dariensis/Sphaeroceramus sarumensis, Cataceramus beckumensis, Inoceramus agdjakendsis, unnamed interval, and Inoceramus haldemensis at the very top. The proposed inoceramid succession allowed also a new interregional correlation of the studied interval within the Early and early Late Campanian of Eastern Europe and with the US Western Interior. The main inoceramid turnover level, located at the boundary of the Cataceramus dariensis and Inoceramus azerbaydjanensis zones in Eastern Europe and with the Lower/Middle Campanian boundary as currently accepted in the Western Interior.

The supraspecific classification of the Campanian inoceramids is briefly discussed, together with diagnoses and descriptions of the genera: *Cataceramus* HEINZ, *Endocostea* WHITFIELD, and *Sphaeroceramus* HEINZ. Most of the treated species is left however, without genus reference, being referred to the genus *Inoceramus* treated here in open terms.

Anschrift des Verfassers:

^{*} Dr. Ireneusz Walaszczyk, Instytut Geologii Podstawowej, Wydzial Geologii, Uniwersytet Warszawski, Al. Zwirki i Wigury 93, PL-02-089 Warszawa, Polen

Inhaltverzeichnis	Seite
1. Einleitung und Danksagung	7
Wesentliche Fundorte und ihr stratigraphischer Rahmen	8
3. Inoceramen Biostratigraphie	11
3.1. Sphenoceramus patootensiformis Zone	11
3.2. Sphaeroceramus sarumensis/Cataceramus dariensis Zone	12
3.3. Cataceramus beckumensis Zone	12
3.4. Inoceramus agdjakendsis/Cataceramus vorhelmensis Zone	12
3.5. Unbennante Zone	13
3.6. Inoceramus haldemensis Zone	13
4. Korrelation	13
4.1. Korrelation mit Ost-Europa	1 4
4.2. Korrelation mit US Western Interior	15
5. Paläontologie	16
5.1. Supraspezifische Klassifikation	16
5.2. Merkmale und Herkunft des Materiales	17
5.3. Systematik	18
Gattung Cataceramus HEINZ, 1932	18
Cataceramus balticus (BÖHM, 1907)	18
Cataceramus beckumensis (GIERS, 1964)	20
Cataceramus dariensis (DOBROV & PAVLOVA, 1959)	22
Cataceramus marcki (GIERS 1964)	23
Cataceramus pteroides (GIERS, 1964)	25
Cataceramus sornayi (DHONDT, 1993)	26
Cataceramus vorhelmensis sp. n	27
Gattung Endocostea WHITFIELD, 1879	29
Endocostea impressa (d'ORBIGNY, 1843)	30
Gattung Sphaeroceramus HEINZ, 1932	31
Sphaeroceramus sarumensis (WOODS, 1911)	31
Sphaeroceramus subsarumensis (RENNGARTEN, 1926)	33
Inoceramen mit Einordnung in die Sammelgattung Inoceramus	33
Inoceramus agdjakendsis ALIEV, 1952	33
Inoceramus algeriensis HEINZ, 1932	35
Inoceramus cf. azerbaydjanensis ALIEV, 1939	35
Inoceramus aff. borilensis JOLKICEV, 1962	37
Inoceramus bosenbergensis sp.n	38
Inoceramus ellipticus (GIERS, 1964)	39
Inoceramus haldemensis GIERS, 1964	40
Inoceramus planus MÜNSTER, 1836	41
Inoceramus tausiensis ALIEV, 1954	42
Inoceramus sp	43
6. Schriftenverzeichnis	43

1. Einleitung und Danksagung

Für Feingliederungen wurden Inoceramen im Campan und Maastricht in Europa weniger genutzt. Wenn es der Fall war, handelte es sich im Vergleich zur tieferen Oberkreide um relativ grobe Gliederungen. Die theoretische Basis für diese Handhabung wurde mit der geringeren Entwicklungsgeschwindigkeit begründet (z.B. PERGAMENT 1968, S.VOIGT 1995, 1996). Von den bisher aus dem Campan Europas bekannt gemachten etwa 100 Inoceramen-Arten und Unterarten ist meist eine vertikale Reichweite über das gesamte Campan oder große Teile des Campans angegeben. Ein Teil dieser Arten bzw. Unterarten ist außerdem bereits im Ober-Santon bzw. noch im Unter-Maastricht verbreitet. Die für das Campan und das Maastricht erarbeitete Datenbasis, die eine Revision auch der Typen vieler publizierter Arten und Unterarten einschließt, belegt eine gute Korrelation zwischen der taxonomischen Diversität und der Zahl neuer Arten bzw. Unterarten in festgelegten Zeiteinheiten während der Oberkreide. Das spricht eindeutig dafür, daß sich trotz einer im Vergleich zur tieferen Unterkreide höheren Langlebigkeit der Inoceramen des Campan und Maastricht eine größere Diversität der Inoceramen-Faunen ergibt, als das bisher angenommen wurde. Damit erhöht sich naturgemäß auch ihre biostratigraphische Bedeutung für das Campan-Maastricht Intervall. Zur Überprüfung dieser ersten Einschätzung wurden genügend große und biostratigraphisch gesicherte Aufsammlungen benötigt. Das stieß auf erhebliche Schwierigkeiten, da die vorhandenen Aufsammlungen aus dem Campan Europas diese Anforderungen meist nicht erfüllten. Horizontiert entnommenes Material ist in den Sammlungen - vor allem den älteren Sammlungen - meist nicht vorhanden. Eine weitere Schwierigkeit besteht in der unvollständigen und auch sonst schlechten Erhaltung einer großen Anzahl von Inoceramen aus dem angegebenen Intervall. In vielen Fällen beschränkt sich die Bestimmung auf Inoceramus ex gr. balticus J. BÖHM. Es handelt sich dabei um eine Bezeichnung, die fast zum Synonym für Campan-Inoceramen geworden ist. Diese Bedingungen haben leider die Einschätzung bewirkt, das es sich bei den Campan - und Unter-Maastricht Inoceramen um Formen ohne einen Wert für eine biostratigraphische Feineinstufung handelt. Eine bemerkenswerte Ausnahme stellt die Sammlung von Inoceramen aus dem Münsterland dar (Abb. 1), die von GIERS durchgeführt wurde. Es handelt sich um horizontiert aufgesammelte Inoceramen aus dem Unter-Campan und untersten Ober-Campan. Die Sammlung besteht aus insgesamt 380 Exemplaren und ist im Ruhrland Museum in Essen hinterlegt. GIERS (1964) unterschied 10 Arten und Unterarten aus dem Campan des Münsterlandes. 6 Arten bzw. Unterarten wurden erstmalig beschrieben. Die vorhandene Diversität der Inoceramen wird damit nur zu einem Teil erfaßt. Die eingeschränkte Zahl von Abbildungen, die z.T. noch Reproduktionen früher bereits beschriebener Formen umfaßt, verstärkt noch diesen Eindruck. Nach der letzten Einschätzung von KAPLAN, KENNEDY & ERNST (1996) stammt nur eine geringe Zahl von Inoceramen der Sammlung GIERS aus einem Abschnitt, der fast das gesamte Unter-Campan sowie das unterste Ober-Campan umfaßt. Die Mehrzahl der Stücke wurden im unteren Ober-Campan gefunden. Entsprechend der Campan-Gliederung von ERNST (1963, 1964, 1968; ERNST et al. 1979; SCHULZ et al. 1984) handelt es sich dabei um die conica/mucronata sowie die stobaei/basiplana-Zone und vulgaris/basiplana-Zone (Abb. 2-3). Trotz dieser Schwierigkeit bei dieser Einschätzung ist das Auftreten einer höheren Entwicklungsgeschwindigkeit und damit einer besseren biostratigraphischen Eignung möglich.

In der vorliegenden Arbeit wird diese Sammlung taxonomisch neu bearbeitet und die Variationsbreite der einzelnen Formen abgeschätzt. Eine biostratigraphische Diskussion der Ergebnisse schließt sich an. Die durchgeführte Revision erbrachte eine Übereinstimmung der Ergebnisse mit der Entwicklung der Campan-Inoceramen in anderen Gebieten, in denen Inoceramen bereits seit langem für eine biostratigraphische Einstufung und Korrelation verwendet werden. Die Inoceramen der Sammlung GIERS bestätigen auch für Europa eine höhere Entwicklungsgeschwindigkeit und damit eine bessere Eignung für biostratigraphische Zwecke. Es bleiben allerdings noch zahlreiche Fragen taxonomischer Art offen, die nur auf dem Wege einer Bearbeitung anderer zeitlich gleicher Inoceramen-Faunen z.B. aus Nordamerika u.a. lösbar sind. Das betrifft u.a. auch Fragen der Evolution und der Paläobiogeographie der "Senon"-Inoceramen insgesamt. Neben der Sammlung GIERS wurden auch Campan-Inoceramen aus Lägerdorf (Norddeutschland) (Abb. 1-2) in die Betrachtung einbezogen. Dieses Material ist überwiegend im BGR-Museum in Berlin, z.T. aber auch in der Sammlung von G. ERNST (FU Berlin) hinterlegt. Mit Hilfe dieser Sammlungen waren Betrachtungen zur Phylogenie der Inoceramen des Unter-/Ober-Campan - Grenzbereiches möglich. Inoceramen aus dem Ober-Campan (*Bostrychoceras polyplocum*-Zone) von Haldem (Westfalen) aus den Sammlungen der Universität Göttingen wurden ebenfalls einbezogen.

D a n k s a g u n g: In ihre deutschen Version würde diese Arbeit nicht lesbar sein ohne grosse Hilfe von Herrn K.-A. TRÖGER, Bergakademie Freiberg, der den ganzen Text überarbeitet hat. Durch viele Gespräche über die verschiedene Aspekte der Campan-Inoceramen, während meines Aufenthaltes in Freiberg als Humboldt-Stipendiat, hat K.-A. TRÖGER auch viele von seinen Erfahrungen und Wissen über die Senon Inoceramen mir gegeben. Ich möchte mich hier bei ihm herzlich bedanken.

Bei Herrn U. SCHEER, Essen, möchte ich mich für die freundliche Unterstützung und Hilfe während meiner Arbeiten über die GIERS Sammlung bedanken.

U. KAPLAN, Gütersloh, bin ich zu besonderen Dank verpflichtet für die ausgiebige Exkursion durch die Kreide Westfalens mit dem Besuch aller wichtigen Lokalitäten der Campan Inoceramen. Bei G. ERNST, Berlin, bedanke ich mich für alle Angabe über das Campan von Lägerdorf und das Inoceramen Material das er mir für diese Untersuchung gegeben hat. Ich möchte mich auch herzlich bedanken bei Herrn W. LINDERT, aus dem Museum der Bundesanstalt für Geologie und Rohstoffe, Berlin, Frau A. LAURIAT-RAGE, aus dem Museum d'Histoire Naturelle, Paris und Herrn N.J. MORRIS, aus dem Natural History Museum, London, für ihre Hilfe während meiner Suche nach Inoceramen Material. Diese Arbeit wurde zum größten Teil während meines Aufenthaltes in Freiberg als Humboldt Stipendiat vorbereitet. Die Photoarbeiten wurden zum grossen Teil im Geologischen Institut der Warschauer Universität angefertigt.

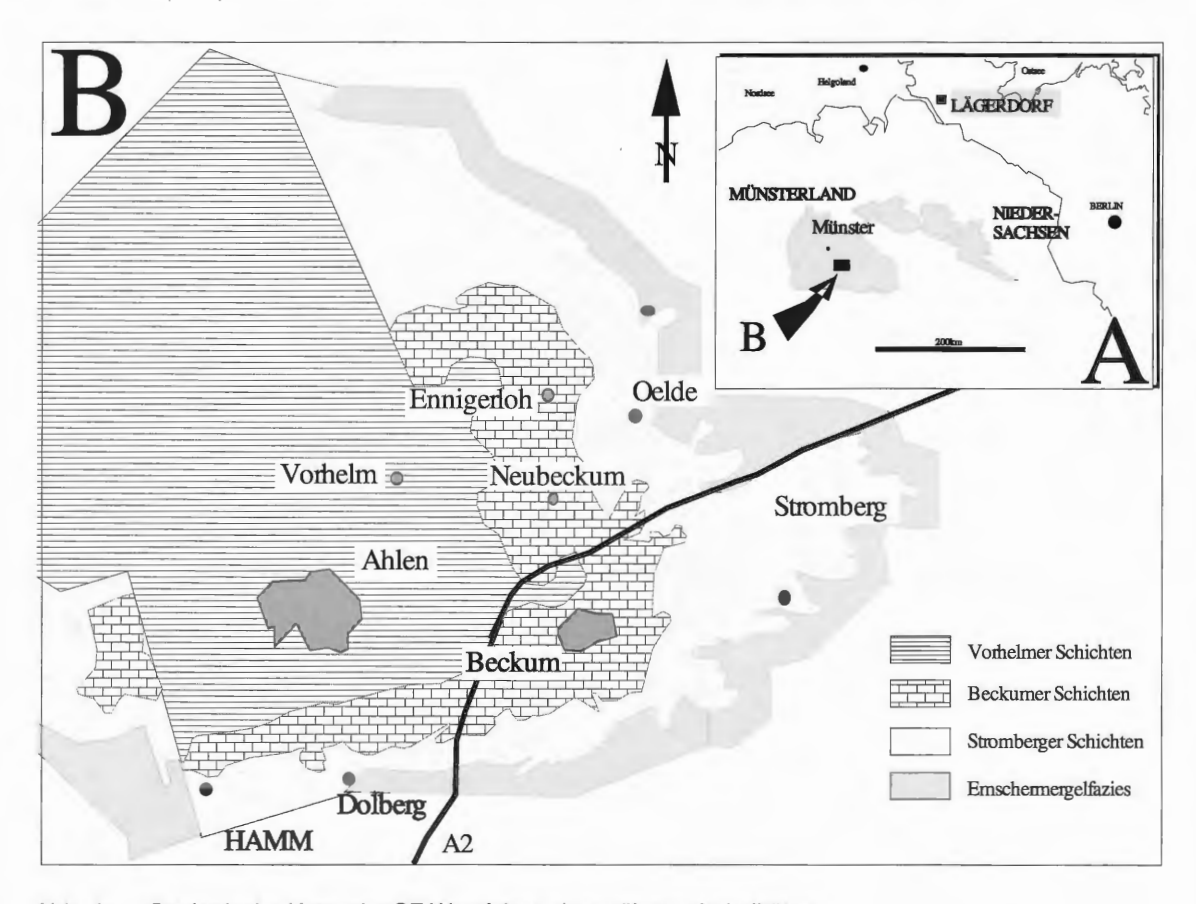


Abb. 1: Geologische Karte der SE Westfalen mit erwähnten Lokalitäten.

2. Wesentliche Fundorte und ihr stratigraphischer Rahmen.

Angaben zu den Fundorten in Westfalen beziehen sich auf die Arbeiten von GIERS (1958, 1964) und die neuerlichen Betrachtungen zur Ammoniten-Stratigraphie von KAPLAN, KENNEDY & ERNST (1996). Die stratigraphische Einstufung der Inoceramen aus Lägerdorf bezieht sich auf die mündlich mitgeteilten Angaben von ERNST (FU Berlin). Die Inoceramen aus dem südöstlichen Westfalen stammen aus dem Intervall Unter- bis unterstes Ober-Campan. Das entspricht den Stromberger (Unter-Campan) - , den Beckumer - und den Vorhelmer Schichten (insgesamt conica/mucronata, basiplana/stobei sowie "vulgaris"/basiplana-Zonen des unteren Ober-Campan - siehe Abb. 2-3). Beschreibungen der angeführten lithostratigraphischen Einheiten geben KAPLAN et al. (1996) wie folgt:

Stromberger Schichten: Mächtigkeit 30-40 m, Kalkstein und Mergelstein (limestone beds-turbidites-slumps). Die basale Abgrenzung zu den Emscher-Mergelsteinen bildet eine Kalkstein-Bank mit Flaserstruktur und Glaukonit -Gehalt: Bergeler Schicht (KAPLAN et al. 1996). GIERS (1958) unterteilt die

Stromberger Schichten in einen unteren und einen oberen mehr mergelig entwickelten Abschnitt. Ihre Abgrenzung ist durch die Mühlenbruch Schicht gegeben. Im Gegensatz zu GIERS (1964), der die Stromberger Schichten als ein stratigraphisches Äquivalent der *quadrata/mucronata* -Zone (overlapping zone) ansah, erstrecken sich die Stromberger Schichten nach KAPLAN et al. (1996) bis in das tiefste Unter-Campan (*granulataquadrata*-Zone). Die Schichten umfassen nahezu das gesamte Unter-Campan bis auf die gracilis/mucronata-Zone (KAPLAN et al. 1996). Der angesprochene Unterschied in der Einstufung von GIERS und KAPLAN et al. beruht auf einer inkorrekten Ansprache von Vertretern der Gattung *Belemnitella* durch GIERS. Die auftretenden Exemplare aus dem unteren Teil der Stromberger Schichten gehören nach GIERS zu *Belemnitella mucronata*. Nach KAPLAN et al.(1996) gehören sie aber zur campanen *praecursor*-Reihe, die bereits im untersten Campan auftritt. Vergleichbar mit anderen Gruppen treten Inoceramen in den Stromberger Schichten nur selten auf. Die Sammlung GIERS enthält lediglich 8 schlecht erhaltene Inoceramen, die den zwei Arten *Cataceramus balticus* (BÖHM) und *Cataceramus marcki* (GIERS) angehören. Die von GIERS als *Endocostea impressa* (d'ORBIGNY) bestimmten Formen unterscheiden sich deutlich vom Holotyp der Art. Sie sind anderen Arten zuzuordnen (siehe taxonomische Diskussion zu *E. impressa*). Die gleiche Situation tritt bei *Inoceramus regularis* auf (GIERS, 1964).

Beckumer Schichten: Mächtigkeit 15-30 m, ebenfalls in einen unteren und einen oberen Abschnitt gliederbar. Die Abgrenzung beider Abschnitte voneinander ist auch biostratigraphisch belegbar. Die Grenze zwischen beiden Abschnitten ist durch das erste Auftreten von Hoplitoplacenticeras (Hoplitoplacenticeras) dolbergensis (SCHLÜTER) definiert. Die Beckumer Schichten enthalten den höchsten Karbonatgehalt der campanen Abfolge. Sie sind sedimentologisch durch Turbidite, Slumps und Debrite (WOLF 1995) gekennzeichnet. Biostratigraphisch entsprechen sie der conica/mucronata-Zone des basalen Ober-Campans. Eine vertikale Erstreckung bis in die granulataquadrata-Zone erscheint nach KAPLAN et al. (1996) durchaus möglich.

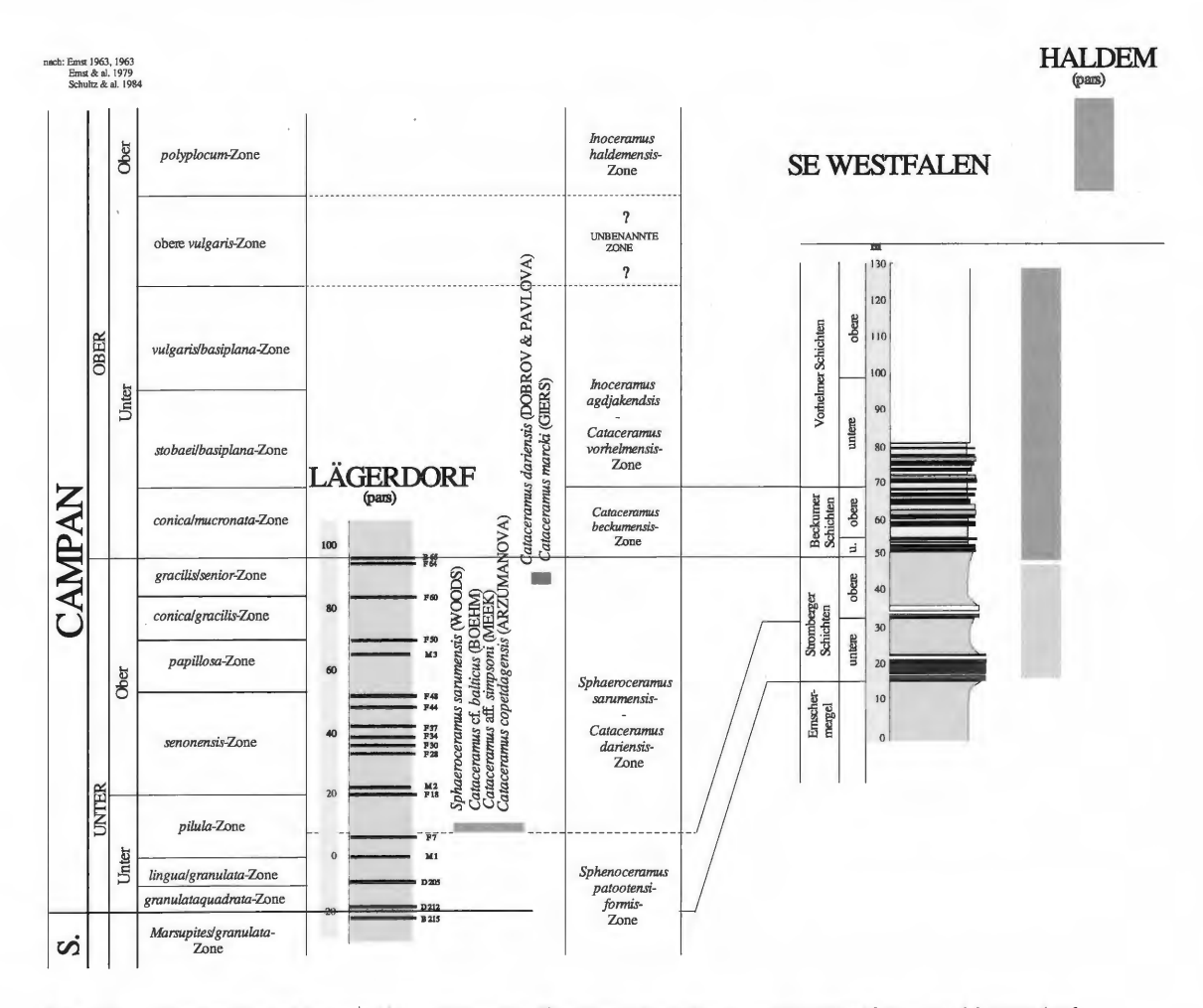


Abb. 2: Biostratigraphie und Korrelation der Quellenlokalitäten von SE Westfalen und Lägerdorf.

Die Beckumer Schichten sind wesentlich fossilreicher als die liegenden Stromberger Schichten. Inoceramen sind häufiger anzutreffen. Die Diversität ist außerdem größer. Es ist fraglich, ob dieses reiche Inoceramen Assemblage im untersten Ober-Campan einen Schnitt in der Entwicklung darstellt oder nur ökologisch bedingt ist (fossilärmer im Verhältnis zu den Stromberger Schichten). Bei einem Vergleich mit anderen Gebieten zeigt sich allerdings, daß in diesem Bereich wirklich das FAD (First Appearance Datum) einiger Arten liegt. Häufig treten die Arten Cataceramus beckumensis (GIERS) und Cataceramus pteroides (GIERS) auf.

Vorhelmer Schichten: Die basale Grenze dieser Schichten wurde bisher unterschiedlich hoch gelegt. Nach GIERS (1958), RIEGRAF (1995) und neuerlich KAPLAN et al. (1995) wird sie mit der Obergrenze der Landbänke gezogen. GIERS (1958) schätzte die Mächtigkeit der Vorhelmer Schichten auf 80 m. Allerdings erlauben die schlechten Aufschlußverhältnisse keine sichere Aussage. Die Vorhelmer Schichten sind Allochthonite. Sie bauen sich aus Turbiditen und Slumps auf. Submarine Rutschungen sind verbreitet. Eine genaue biostratigraphische Einstufung der Vorhelmer Schichten auch im Vergleich zu den niedersächsischen Profilen ist schwierig. Leitformen fehlen. Auch Echiniden sind selten. Es handelt sich außerdem um Arten, die eine große vertikale Reichweite besitzen. Eine Echinocorys-Art, die von ERNST (1975) zu E. pyramidalis gestellt wurde, ist im Gebiet von Misburg (Niedersachsen) im Intervall stobaei/basiplana bis untere vulgaris-Zone verbreitet. Weitere Angaben beruhen auf Ammoniten-Nachweisen. KAPLAN et al. (1996) beschreiben Patagiosites stobaei aus dem unteren Teil der Vorhelmer Schichten. Das bedingt eine Einstufung in die stobaei/basiplana-Zone. Eine gleiche Einstufung ergibt auch das Vorkommen von Hoplitoplacenticeras vari. Zur Zeit ist eine genauere Einstufung der Vorhelmer Schichten nicht möglich. Möglicherweise ist ihr vertikaler Umfang noch geringer als es von GIERS angenommen wurde. KAPLAN et al. (1996) geben den vertikalen Umfang der Vorhelmer Schichten mit stobaei/basiplana bis untere vulgaris-Zone an. Die nachgewiesenen Inoceramen-Arten belegen einen weiteren Wechsel im Vergleich zu den liegenden Beckumer Schichten. Häufig sind: Inoceramus ellipticus GIERS, Cataceramus vorhelmensis n. sp. und Inoceramus agdjakendsis ALIEV. Daneben treten Inoceramus algeriensis HEINZ, Inoceramus aff. borilensis JOLKICEV, Sphaeroceramus sarumensis (WOODS), Inoceramus tausiensis ALIEV und Inoceramus aff. azerbaydianensis ALIEV auf. Mit Ausnahme der bereits erwähnten 8 Exemplare stammt die gesamte übrige Inoceramen-Fauna aus den Beckumer und Vorhelmer Schichten, die damit durch Inoceramen sehr gut belegt sind.

Der überwiegende Teil der Inoceramen aus den Beckumer Schichten wurde im Steinbruch Tutenbrock gefunden. Die Funde aus den Vorhelmer Schichten konzentrieren sich auf den Steinbruch Bosenberg beim Bahnhof Vorhelm. In allen anderen Steinbrüchen treten Inoceramen nur untergeordnet auf (siehe Abb. 1). Die kurzen Bemerkungen zu den einzelnen Lokalitäten sind hier alphabetisch geordnet und entsprechend den neuen Angaben bei KAPLAN et al. (1996) zusammengestellt.

Ahlen-Vorhelm: Aufgelassene Steinbruch **Bosenberg** beim Bahnhof Vorhelm; unteres Ober-Campan (stobaei/basiplana-Zone), Vorhelmer Schichten.

B e c k u m : Steinbruchgelände **Kreuzberg**, aufgelassen und wiederverfüllt; unteres Ober-Campan (stobaei/basiplana-Zone), untere Vorhelmer Schichten.

Beckum: Zementwerk Dyckerhoff (vormals Steinburch **Schlenkhoff**); unteres Unter-Campan (conica/mucronata-Zone), Beckumer Schichten.

B e c k u m : Aufgelassene Steinbruch **Ruhr & Co**. beim Bahnhof Beckum; unteres Ober- Campan (*coni-ca/mucronata*-Zone), Beckumer Schichten.

B e c k u m : Augelassene Ziegelei **Mühlen**; Unter-Campan, Stromberger Schichten.

B e c k u m - **E n n i g e r l o h**, genauer Fundort und stratigraphische Lage unbekannt; unteres Ober-Campan.

Ennigerloh: Zementwerk **Elsa**; unteres Ober-Campan (conica/mucronata-Zone), Beckumer Schichten.

Ennigerloh: Zementwerk **Germania**; unteres Ober-Campan (conica/mucronata-Zone), Beckumer Schichten.

Neubeckum: Zementwerk **Anna**; unteres Ober-Campan (conica/mucronata-Zone), Beckumer Schichten

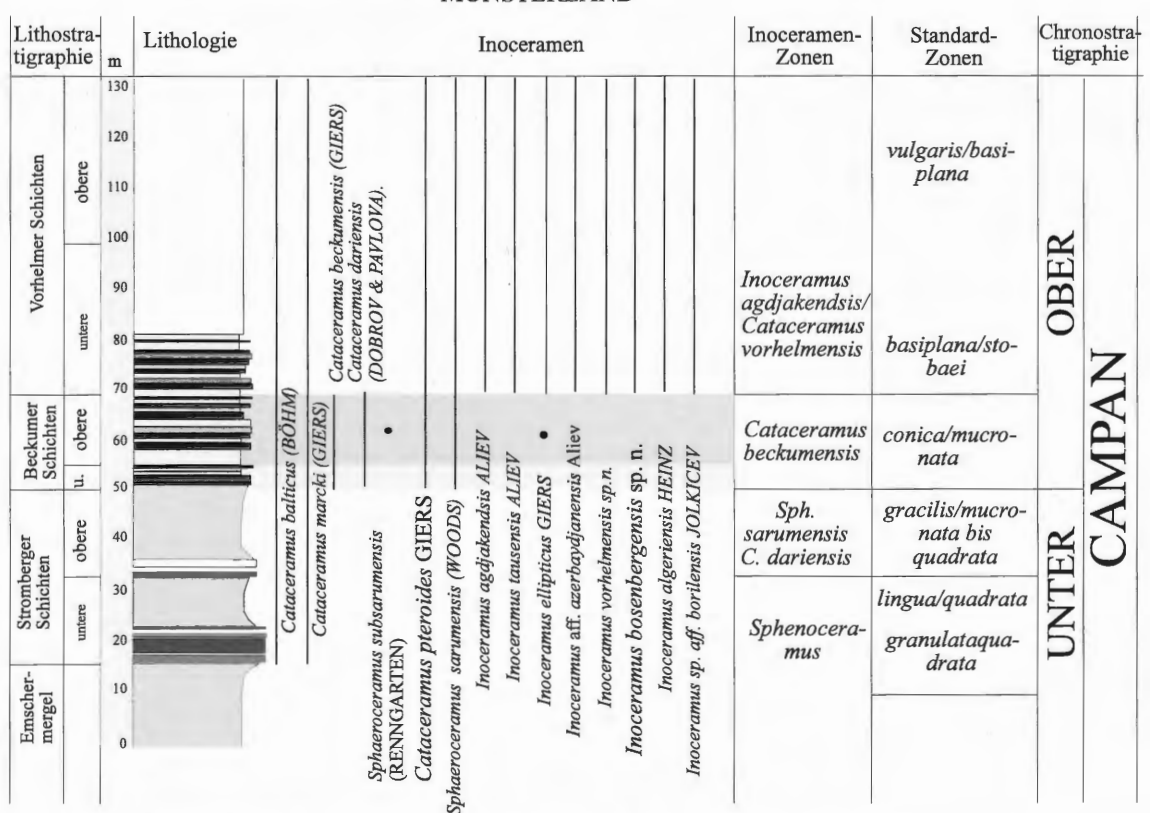
3. Inoceramen-Biostratigraphie

Die aus dem Unteren- und tieferen Ober-Campan von Nordwestdeutschland untersuchten Inoceramen-Faunen bestätigen ihre relativ hohe Entwicklungsgeschwindigkeit und taxonomische Diversität. Das heißt wiederum, daß sie für biostratigraphische Zwecke gut geeignet sind. Untermauert wird diese Aussage noch durch das erste Auftreten einer Anzahl von neuen Arten. Die hier vorgelegte Gliederung (Abb. 2-4) des Unteren- und tieferen Ober-Campan auf Basis der Inoceramen stellt einen ersten Vorschlag dar, der im Verlaufe weiterer Untersuchungen noch verfeinert werden kann. Wesentlich erscheint die überregionale Gültigkeit der vorgelegten Gliederung. Sie ermöglicht einerseits einen Vergleich mit dem Campan von Osteuropa aber andererseits auch einen Vergleich mit dem Campan des Western Interior - Gebietes (Abb. 4) in Nordamerika. Die begrenzte Zahl der biostratigraphisch bedeutsamen Gruppen (HANCOCK 1996) ermöglicht die Aufstellung einer chronostratigraphischen Gliederung für diese Stufe.

3.1 Sphenoceramus patootensiformis-Zone

Das hier untersuchte Material stammt aus dem Interval Offaster pilula-Zone (mittl. Unter-Campan) bis Bostrychoceras polyplocum-Zone (ob. Ober-Campan) entsprechend der Campan-Gliederung bei ERNST (1963, 1964, 1968; ERNST et al. 1979; SCHULZ et al.1984). Der tiefste nachgewiesene Bereich – nachgewiesen in Lägerdorf – enthält letzte Sphenoceramen zusammen mit Sphaeroceramus sarumensis (WOODS),

LITHOSTRATIGRAPHIE; BIOZENEN; UND INOCERAMEN IM SE MÜNSTERLAND



Lithologie und Lithostratigraphie nach GIERS (1958, 1964) und KAPLAN & al. (1996); Standard -Zonen nach KAPLAN & al. (1996)

Abb. 3: Litho- und Biostratigraphie und Inoceramen des Unter- und unteren Ober-Campan des südöstlichen Münsterland.

Cataceramus balticus (BÖHM) und Cataceramus copetdagensis (ARZUMANOVA). Der Abschnitt entspricht der Offaster pilula-Zone des mittleren Unter-Campans (Abb. 2). Es handelt sich um die obere Grenze der patootensiformis-Zone, die insgesamt gesehen höheres Ober-Santon und basales Unter-Campan umfaßt (SEITZ 1965, 1967; TRÖGER 1989). Augenscheinlich kann Sphenoceramus patootensiformis (SEITZ) weder für eine weitere Untergliederung dieses Intervalles noch für eine Festlegung der Santon/Campan-Grenze genutzt werden. Ob Sphenoceramus alexandrovi (BODYLEVSKI) in diesem Sinne verwendet werden kann, wie von mir bereits angenommen wurde (WALASZCZYK 1992), müssen weitere Untersuchungen in anderen Profilen belegen. Neben den bereits genannten Formen treten nach SEITZ noch weitere 18 Arten im untersten Campan von Nordwestdeutschland auf. 6 von diesen 18 Arten haben ihr FAD möglicherweise im Santon/Campan - Grenzbereich. Hier deutet sich die Möglichkeit einer weiteren Untergliederung der Sphenoceramus patootensiformis-Zone an.

3.2 Sphaeroceramus sarumensis - Cataceramus dariensis-Zone

Die Untergrenze dieser Zone wird durch das LAD (Last Appearance Datum) der Sphenoceramen bestimmt. Vermutlich stimmt das zeitlich mit dem FAD von Sphaeroceramus sarumensis (WOODS) und ersten Vertretern der Entwicklungsreihe Cataceramus copetdagensis (ARZUMANOVA) - C. dariensis (DOBROV & PAVLOVA) - C. beckumensis (GIERS) - C. vorhelmensis sp.n. überein. Hier kommt auch Cataceramus aff. simpsoni (MEEK) (siehe Taf. 2), und Cordiceramus sp. (Taf. 3, Fig. 3). Das entspricht nach der Campan-Gliederung Nordwestdeutschlands von ERNST (1963, 1964,1968; und auch ERNST et al. 1979; SCHULZ et al. 1984) dem Abschnitt von der Offaster pilula-Zone (mittleres Unter-Campan) bis zur Basis der conica/mucronata-Zone (tiefstes Ober-Campan)(siehe Abb. 2). Der Bereich ist nur schlecht belegt. Horizontierte Aufsammlungen liegen nur aus Lägerdorf vor. Neben den Typus-Arten treten noch Cataceramus balticus (BÖHM), sowie Cataceramus marcki (GIERS) auf. Allerdings ist ihr vertikales Vorkommen nicht auf die genannte Zone beschränkt. Die Typen beider Arten stammen aus der granulataquadrata bis lingua/ quadrata-Zone von Dülmen (KENNEDY & KAPLAN 1995). Möglicherweise setzen sie allerdings schon im obersten Santon ein. Bei beiden Formen wird eine vertikale Verbreitung über das gesamte Campan angegeben. Das erscheint allerdings fraglich. Im untersuchten Material traten sie nur sehr selten auf. Die Ober-Campan Sammlung in Göttingen enthält keine vergleichbaren Stücke. Da vielfach schlecht bestimmbare Exemplare aus dem Campan mit C. balticus (auch unter offener Nomenklatur) bestimmt wurden, kann sich daraus die Ansicht über eine lange vertikale Verbreitung über das gesamte Campan ergeben. Index-Fossil der Zone ist ohne Zweifel Sphaeroceramus sarumensis (WOODS). Bisher wurde die Art vor allem aus den Schreibkreide-Profilen beschrieben. Es zeigt sich aber, daß sie auch in anderen Lithofazies verbreitet ist. Nach freundlicher mündlicher Mitteilung von C. WOOD (London) tritt die Form in England unmittelbar nach dem Aussetzen der Sphenoceramen auf. Das entspricht genau den Verhältnissen in Lägerdorf (Nordwestdeutschland).

3.3 Cataceramus beckumensis-Zone

Die Basis der Zone wird durch das FAD von *C. beckumensis* (GIERS) bestimmt. Es kann sich dabei um den Grenzbereich Unter-Campan handeln. Die sehr eingeschränkten Belege aus dem höchsten Unter-Campan lassen allerdings keine sichere Aussage zu. Falls sich die Entwicklungsreihe *C. copetdagensis - C.vorhelmensis* bestätigt, würde sich mit *C. beckumensis* und dem Vorläufer *C. dariensis* die Möglichkeit zu einer solchen Festlegung ergeben. Die Obergrenze der Zone ergibt sich mit dem FAD von *Inoceramus agdjakendsis* oder *Cataceramus vorhelmensis*. Letztgenannte Formen sind die Index-Arten der hangenden Zone. Daneben treten auf: *Cataceramus balticus* (BÖHM), *Cataceramus aff. marcki* (GIERS), *Cataceramus pteroides* (GIERS), *Sphaeroceramus sarumensis* (WOODS), *Sphaeroceramus subsarumensis* (RENN-GARTEN) sowie *Cordiceramus* ex gr. *muelleri* (PETRASCHECK).

3.4 Inoceramus agdjakendsis - Cataceramus vorhelmensis-Zone

Die Basis der Zone wird durch das FAD der Index-Arten bestimmt. Aus dieser Zone sind außerdem eine Reihe neuer Arten bekannt geworden. Arten, die bereits im Liegenden der Zone vertreten sind, treten nur noch vereinzelt auf (Abb. 2-3). Die bezeichnende Art ist *I. adjakendsis* ALIEV. Die von GIERS (1964) aus Westfalen beschriebene Unterart *I. balticus sublaevigatus* (GIERS) ist ein jüngeres Synonym von *I. agdjakendsis* ALIEV. Etwa gleiche Jugendabschnitte aber mit deutlichen Wachstumsknicken und damit verbundene Veränderungen der Skulptur besitzen *Inoceramus bosenbergensis* n.sp. sowie *Inoceramus ellipticus*

GIERS. Wachstumsknicke können außerdem bei *Inoceramus algeriensis* HEINZ und *Inoceramus* aff. *borilensis* JOLKICEV beobachtet werden. *Inoceramus* aff. *borilensis* JOLKICEV ist durch einen weit reichenden Altersabschnitt in Verbindung mit zwei Wachstumsknicken (positive u. negative Geniculation – siehe Abb. 6) gekennzeichnet. *Inoceramus algeriensis* HEINZ wurde noch nicht genügend beschrieben. Die hier ausgewiesenen Formen sind mit dem von HEINZ aufgestellten Holotyp identisch. Wesentlich für die Biostratigraphie und die überregionale Korrelation sind *Cataceramus vorhelmensis* n.sp. sowie die ursprünglich nur aus Osteuropa bekannten Arten *Inoceramus tausiensis* ALIEV und *Inoceramus azerbaydjanansis* ALIEV (letztere nur mit 2 Exemplaren – *I.* cf. *azerbaydjanensis* ALIEV- vertreten). Gemäß der Standardgliederung von ERNST (1963, 1968 – Abb. 2-5 dieser Arbeit) handelt es sich um ein Äquivalent der *stobaei/basiplana* bis untere *vulgaris-*Zone.

3.5 Unbenannte Zone

Genannte Zone umfaßt das Intervall zwischen der *I. agdjakendsis/C. vorhelmensis* Zone und der *I. haldemensis* Zone. In der Gliederung von ERNST (1963, 1968) und SCHULZ et al. (1984) entspricht ihr die obere *vulgaris* Zone (siehe Abb. 2). Im untersuchten Abschnitt ist dieses Intervall nicht enthalten. In diesem Intervall liegt ein für die Biostratigraphie wesentlicher Wechsel innerhalb der Inoceramen-Faunen.

3.6 Inoceramus haldemensis-Zone

Inoceramen aus dieser Zone sind im untersuchten Material reichhaltig belegt. Die Stücke stammen von Haldem (Westfalen) und befinden sich überwiegend in der Sammlung der Universität Göttingen. Weitere Belegstücke sind im Natural History Museum, London, und im Niedersächsischen Landesamt für Bodenforschung in Hannover hinterlegt. Das Material aus dem Weichsel-Profil in Zentral Polen liegt im Museum Ziemi in Warszawa. Im Vergleich zur Inoceramus agdjakendsis/C. vorhelmensis Zone fand eine vollständige Umstellung der Inoceramen-Faunen statt. Kennzeichnend für die Zone ist Inoceramus haldemensis GIERS mit einem fünfeckigen Umriß sowie mit Wachstumsknicken verbundene Skulptur-Veränderungen. Die Art steht den Arten Inoceramus bosenbergensis n.sp. und Inoceramus ellipticus GIERS nahe. Die genaueren verwandtschaftlichen Beziehungen können im Augenblick nicht geklärt werden. Weitere kennzeichnende Formen sind Inoceramus planus MÜNSTER und die recht problematische Art Cataceramus sornayi (DHONDT) (= Inoceramus regularis d'ORBIGNY). Die Beziehungen der letztgenannten Art zu Inoceramus artigesi SOR-NAY bzw. Inoceramus barabini MORTON bedürfen noch einer Klärung. Vom Liegenden bis in diese Zone erstreckt sich die vertikale Verbreitung von Inoceramus agdjakendsis ALIEV (möglicherweise mit einem Exemplar von Haldem - hinterlegt im Natural History Museum in London) sowie Cataceramus pteroides (GIERS). Das Exemplar von Haldem ist nicht genau horizontiert. Bei der Bezeichnung Lemförde bei Haldem kann eine Zugehörigkeit zu älteren Zonen als B. polyplocum-Zone nicht ausgeschlossen werden (siehe auch WOLF 1995). Bezeichnend für diese Zone (siehe auch oben) ist eine Form die GIERS (in der Sammlung) als Inoceramus planus MÜNSTER bestimmt hat. Diese Form weist im Vergleich zu den typischen Exemplaren der Art wesentliche Unterschiede auf. Ein gleichartiges Exemplar im gleichen stratigraphischen Niveau liegt vom Weichselufer vor. Gleichartig ist auch das von KOTSUBINSKY & SAVTCHINSKA (1974 Taf. 24, Fig. 2) als Inoceramus sagensis OWEN beschriebene Stück aus dem Ober-Campan der Ukraine. Zwischen diesem Exemplar und den typischen Vertretern der amerikanischen Art bestehen ebenfalls deutliche Unterschiede. Die erwähnten Formen ähneln in Europa Arten aus dem obersten Campan, die vielfach als Inoceramus sagensis OWEN bzw. Inoceramus balchii MEEK & HAYDEN abgebildet und bestimmt wurden.

4. Korrelation

Die in dieser Arbeit vorgeschlagene Inoceramen-Abfolge und Zonierung des Unter- und unteren Ober-Campan auf Inoceramen-Grundlage in Europa ermöglicht einerseits Korrelationen in Europa und andererseits Vergleiche mit Profilen des Unter-Campan in Nordamerika, Western Interior (Abb. 4). Was die Korrelation mit Nordamerika betrift, die hauptsächlich auf der Arbeit von KAUFFMAN et al. (1993) basiert, sind die Angaben bei KAUFFMAN leider ohne paläontologische Erklärungen. Gerade im Falle der Campan und Maastricht-Inoceramen kann das falsche Interpretationen bedingen und die Genauigkeit des Schemas in Frage stellen. Außerdem wurde bei den Angaben von KAUFFMAN et al. (1993) vielfach die offene No-

menklatur genutzt. Das erschwert naturgemäß eine genauere Korrelation. Nützlich für den Vergleich waren die Darstellungen von COBBAN & KENNEDY (1992, 1993) mit einer Einbindung in die Ammoniten - Biostratigraphie und der Darstellung unter und mittel-campaner Inoceramen.

			ZENTRALEUROF	PA		U.S. WESTERN	INTERIOR		OSTEUROPA
			Standard-Gliederung Emst 1963, 1963 Emst & al. 1979 Schultz & al. 1984	Inoceramen- Gliederung hier vorgeschlagenen		Ammoniten-Gliederung Cobban 1993	Inoceramen-Gliederung Kauffman & al. 1993		Inoceramen-Gliederung Pergament & Smimov 1972 Aliev 1978, 1979, 1985 Aliev & al. 1981
	~	oper	polyplocum-Zone	Inoceramus haldemensis	١	Baculites maclearni			Inoceramus
	OBER		obere vulgaris-Zone	? '	I	Baculites macieami			azerbaydjanensis
-	O	unter	vulgaris/basiplana-Zone stobaei/basiplana-Zone	I. agdjakendsis/ C. vorhelmensis	MILLE	Baculites obtusus	"I." azerbaydjanensis "I." adjakendsis	~	,,,,,,,,,,,,,,,,,,,,,,,,,,,,,,,,,,,,,,,
A			conicalmucronata-Zone	Cataceramus beckumensis				UNTER	
CAMPAN	UNTER	oper	gracilis/senior-Zone conica/gracilis-Zone papillosa-Zone senonensis-Zone	Sphaeroceramus sarumensis Cataceramus dariensis	UNTER	Baculites sp., schwache Flanken-rippen Baculites sp., glatt 1	"Inoceramus" sp. aff. "I" vancouverensis	Š	Inoceramus dariensis
	U	unter	pilula-Zone lingua/granulata-Zone granulataquadrata-Zone	Sphenoceramus patootensi-	UN	Scaphites hippocrepis III Scaphites hippocrepis II Scaphites hippocrepis I Scaphites leei III	Cordiceramus cordiformis Endocostea baltica Sphenoceramus lobatus		?
S			Marsupites/granulata- Zone	formis					

Abb. 4: Korrelation des Unterer- und unteren Ober-Campan zwischen Zentraleuropa, Osteuropa, und amerikanischen Western Interior.

4.1 Korrelation mit Osteuropa.

Trotz der weitgehenden Nutzung der Inoceramen für die Campan-Stratigraphie Osteuropas, der Vorstellungen über der auf Inoceramen beruhenden Zonierung und den paläontologischen Untersuchungen genügen die veröffentlichten Ergebnisse im Augenblick nicht den Anforderungen. Für die in dieser Arbeit vorgestellte Gliederung wurden veröffentlichte Untersuchungen zur Inoceramen-Biostratigraphie verschiedener Gebiete Osteuropas wie Kaukasus (DOBROV & PAVLOVA 1959; PERGAMENT & SMIRNOV 1972; ALIEV 1978, 1979, ALIEV & KHARITONOV 1981; ALIEV et al. 1982; ATABEKIAN & BOBKOVA 1974; KHALAFOVA 1969; KHARITONOV 1974), Krim (DOBROV & PAVLOVA 1959), Ukrainec KOTSUBINSKY 1958 1968; KOT-SUBINSKY & SAVTCHINSKA 1974; IVANNIKOV 1979), Perikaspische Syneklise (MASSLENNIKOVA 1982) sowie unterschiedlicher Gebiete im westlichen Zentralasien (ARZUMANOVA 1965, KUZNETZOV 1968) verwendet. Das im Rahmen dieser Arbeit untersuchte Material stammt aus dem Intervall von der Inoceramus dariensis bis zur Inoceramus azerbaydjanensis-Zone, die im allgemeinen in Osteuropa ausgehalten werden. In einigen Schemata wird die Inoceramus dariensis-Zone allerdings nur als Subzone der Inoceramus azerbaydianensis-Zone betrachtet. In der Inoceramus dariensis-Zone treten außer der Typusart noch die nachfolgenen Arten auf: Inoceramus dariensis copetdagensis ARZUMANOVA (= Cataceramus copetdagensis); Inoceramus balticus raricostatus ARZUMANOVA (=Cataceramus beckumensis); Inoceramus atabekiani ARZUMANOVA (=Cataceramus dariensis (DOBROV & PAVLOVA)). Die genannten Arten wurden von ARZU-MANOVA (1965) aus dem Unter-Campan des Kopet Dag beschrieben. Wie oben gezeigt, ist der Vergleich mit westeuropäischen Formen möglich. Die Inoceramus dariensis-Zone Osteuropas entspricht folglich der C. dariensis/Sph.sarumensis-Zone sowie der Cataceramus beckumensis-Zone Westeuropas, Chronostratigrapisch: ob. Unter-Campan und unt. Ober-Campan (Abb. 4). In allen bisher veröffentlichten Schemata (u.a. PERGAMENT & SMIRNOV 1972, ATABEKIAN 1979, ALIEV et al. 1982) wurde die Inoceramus dariensis-Zone bisher in das basale Unter-Campan eingestuft. Diese Einstufung liegt im Vergleich zur oben abgeleiteten Einstufung deutlich stratigraphisch tiefer. Der Mangel an Sphenoceramen in vielen Profilen läßt sich mit in Osteuropa verbreiteten Profillücken erklären. Lokal wurde auch hier Sphenoceramus patootensiformis (SEITZ) nachgewiesen (ATABEKIAN 1979).

Die hangende Inoceramus azerbaydjanensis-Zone enthält außer der Index-Art noch Inoceramus tausiensis ALIEV, Inoceramus agdjakendsis ALIEV, Inoceramus decipiens ZITTEL und Inoceramus muelleri PETRASCHECK (= Cordiceramus muelleri). Über die zuerst genannten 3 Arten ist eine Korrelation mit dem vorgeschlagenen Schema möglich (Abb. 4). Der erwähnte Inoceramus decipiens ZITTEL entspricht, zumin-

dest zum Teil, *Inoceramus ellipticus* GIERS (z.B. MASSLENNIKOVA 1982, Taf. 9, Fig.5). Dadurch wird der Vergleich noch bestärkt. Die Lage der Obergrenze der *Inoceramus azerbaydjanensis*-Zone und der Vergleich mit Westeuropa sind nicht ganz klar. KUZNETZOV (1968) gibt aus Tuarkyr (westliches Innerasien) an, daß die charakteristischen Formen von *Inoceramus azerbaydjanensis* ALIEV in ihrem Vorkommen auf die *Bostrychoceras polyplocum*-Zone beschränkt sind. Früher auftretende Formen tendieren zu *Inoceramus tausiensis* ALIEV. Viele Autoren, die sich auf DOBROV & PAVLOVA (1959) berufen, unterscheiden die beiden oben genannten Formen nicht. Die Richtigkeit der Angaben von KUZNETZOV vorausgesetzt entspricht der *Inoceramus azerbaydjanensis*-Zone im Sinne osteuropäischer Autoren dem Intervall *Cataceramus vorhelmensis/I. agdjakendsis*-Zone – *I. haldemensis*-Zone des vorgeschlagenen Schemas. Anders ausgedrückt (Ammoniten/Echiniden-Gliederung) handelt es sich um den Bereich *stobaei/basiplana*-Zone bis *Bostrychoceras polyplocum*-Zone Mitteleuropas.

Bei der hier vorgeschlagenen Korrelation zwischen West- und Osteuropa ist die Grenze zwischen dem Unter- und Ober-Campan in Osteuropa gegenüber den bisherigen Ansichten deutlich verschoben. Früher wurden die *I. dariensis*- und *I. azerbaydjanensis*-Zonen zum Unter-Campan gezählt (ATABEKIAN 1979). Nach dem vorgeschlagenen Vergleich mit Mitteleuropa handelt es sich aber um höchstes Unter-Campan bis einschließlich des tiefsten ob. Ober-Campan. Die *azerbaydjanensis*-Zone selbst dürfte dem unteren Ober-Campan bis einschließlich der *B. polyplocum*-Zone des oberen Ober-Campan (Abb. 4) entsprechen.

4.2. Korrelation mit dem Western Interior Basin (USA)

Der Vergleich stützt sich vor allem auf die Angaben von KAUFFMAN et al. (1993) sowie COBBAN & KENNEDY (1992, 1993). Unter Bezug auf die Daten von KAUFFMAN et al. (1993) ist der Vergleich zwischen den Inoceramen des Unter-Campan des Western Interior Basin und Europas nicht schwierig. (Abb. 4). Schwierig gestaltet sich lediglich die taxonomische Interpretation vieler von KAUFFMAN angegebenen Arten, da eine genaue paläontologische Charakteristik fehlt und außerdem die Angaben die offene Nomenklatur nutzen. Das betrifft Formen, die erstmalig in Europa beschrieben wurden. Dazu gehören aber auch Formen die erstmalig im 19. Jahrhundert in Amerika aufgestellt und abgebildet wurden und für die eine moderne Revision fehlt. Dazu gehören u.a. Inoceramus vancouverensis WHITEAVES, Inoceramus pertenuis, Inoceramus subcircularis oder auch Inoceramus proximus TOUMEY.

Inoceramus vancouverensis WHITEAVES ist unter Bezug auf Skizze und Originalbeschreibung bei WHI-TEAVES sehr nahe verwandt mit Formen, die in dieser Arbeit zur C. copetdagensis - C. dariensis - C. beckumensis Linie gezählt werden. Das Vorkommen von C. dariensis ist andererseits auch aus Nordamerika bekannt gemacht worden. Wenn man die taxonomischen Probleme ausklammert, erscheint es ziemlich sicher, daß die Zonen Cataceramus dariensis/S. sarumensis und Cataceramus beckumensis der mitteleuropäischen Gliederung der Inoceramus aff. vancouverensis-Zone der nordamerikanischen Gliederung (KAUFF-MAN et al. 1993) entsprechen. Die obere Begrenzung der I. aff. vancouverensis- Zone (Grenze zur Inoceramus agdiakensis-Zone) in Nordamerika entspricht der Grenze zwischen der Cataceramus beckumensisund I. agdjakensis/?C. vorhelmensis-Zone in Mitteleuropa. Problematisch ist dagegen der Vergleich der unbenannten Zone und der Inoceramus haldemensis-Zone. Bei diesem Abschnitt kann von Inoceramus azerbaydjanensis ALIEV und der Vorläufer-Form Inoceramus tausiensis ALIEV ausgegangen werden. Mit Hilfe von Ammoniten kann die vertikale Verbreitung von Inoceramus azerbaydjanensis ALIEV (typische Form) genau eingebunden werden: Baculites obtusus-Zone bis Baculites mclearni-Zone (unt. Mittel-Campan nach KAUFFMAN et al. 1993 und COBBAN & KENNEDY 1993). In Mitteleuropa ist I. azerbaydjanensis ALIEV außerordentlich selten. Ein Exemplar dieser Art aus Westfalen ist in den Sammlungen der Universität Münster hinterlegt und, nach freundlicher mündlicher Mitteilung von U. KAPLAN, kommt es wahrscheinlich aus der vulgaris-Zone. Daneben wurden in der I. agdjakendsis-Zone zwei Exemplare von I. cf. azerbaydjanensis nachgewiesen, Im gleichen Horizont tritt Inoceramus tausiensis ALIEV auf. Wie bereits erwähnt, ist Inoceramus azerbaydjanensis ALIEV in Osteuropa zwar häufiger aber in seiner stratigraphischen Einstufung mit den Mitteleuropäischen Profilen schwer vergleichbar. Wesentlich ist lediglich die Einstufung in die B. polyplocum-Zone (KUZNETZOV 1968). Alle diese Angaben ermöglichen einen Vergleich des Intervalles zwischen der I. agdjakendsis/C. vorhelmensis-Zone bis zur Inoceramus haldemensis-Zone mit der in Nordamerika auch ausgehaltenen I. agdjakendsis-Zone. Nach der Ammoniten-Gliederung in Nordamerika entspricht das den Baculites obtusus - sowie Baculites mclearni-Zonen des untersten Mittel-Campan. Die Zone Sphenoceramus patootensiformis des untersten Unter-Campan einschließlich des höchsten Ober-Santon ist vergleichbar mit dem Sphenoceramen-Intervall, das in den nordamerikanischen Abfolgen ausgehalten wird (Abb. 4). Wenn die vorgelegte Korrelation zutrifft, gibt es zwischen den europäischen und nordamerikanischen Profilen zwei deutlich vergleichbare Niveaus: (1) Das LAD der Sphenoceramen im mittleren Teil des

Unter-Campans und (2) Grenze zwischen den C. beckumensis und I. agdjakendsis/C. vorhelmensis -Zonen, die der Untergrenze der I. azerbaydjanensis-Zone Nordamerikas entspricht. Somit könnten Inoceramen die Untergrenze des Mittel-Campan markieren, wenn eine Gliederung Unter-, Mittel- und Ober-Campan Anwendung findet.

5. Paläontologie

5.1. Supraspezifische Klassifikation

Die supraspezifische Klassifikation der Inoceramen ist trotz vieler Diskussionen seit R. HEINZ noch problematisch. Die vorgeschlagenen Konzepte enthalten im Extrem Meinungen, die nur eine Gattung - Inoceramus - zulassen. Das andere Extrem (HEINZ, 1932) sieht eine weitgehende Aufspaltung im Gattungs- und Familien-Bereich vor. Im allgemeinen werden heute etwa ein Dutzend Gattungen unterschieden (Kommentare in HARRIES et al. 1996). Trotzdem es Arbeiten gibt, die eine Klassifikation der Inoceramen auch unter Berücksichtigung der inneren Schalenmerkmale vorschlagen, stützt man sich im allgemeinen auf die Morphologie der Schale, die Skulpturen und bereits deutlich seltener auf den Charakter der Ligamentleiste (ZONOVA 1989, 1993 - nordpazifische Inoceramen). Kritische Merkmale wie Ligament, Muskelabdrücke, Schalenstruktur sind in ihrer Gesamtheit nur bei wenigen Arten bzw. Gattungen bekannt. Das schränkt die Möglichkeiten einer sachgerechten Klassifikation außerordentlich ein. Außerdem stehen bei vielen Arten aber auch bei Gattungen nur Steinkerne bzw. Prägesteinkerne zur Verfügung. Daneben beruhen viele Arten nur auf der Untersuchung von einem oder von wenigen Exemplaren. Das bedingt, daß von einer Reihe von Arten keine Angaben über die z.T. hohe Variabilität aller Merkmale vorliegen. Unter Berücksichtigung der phylogenetische und phyletische Beziehungen kann der Versuch zu einer Aufstellung einer natürlichen Gruppe (=Gattung) gemacht werden. Im Zeitabschnitt vom Campan zum Unter-Maastricht ist unsere Kenntnis phylogenetischer und phyletischer Reihen im Verhältnis zur tieferen Oberkreide sehr eingeschränkt. Eine Unterscheidung der evolutionären Entwicklungen von Homömorphien ist schwierig. In vielen Fällen liegen keine horizontierten größeren Aufsammlungen (nach Möglichkeit Populationen) vor. Kenntnisse der evolutionären Beziehungen zwischen den verschiedenen Campan und Unter-Maastricht-Formen sind notwendig. Ohne ihre Kenntnis bleibt eine eindeutige Zuordnung mancher Formen immer unsicher.

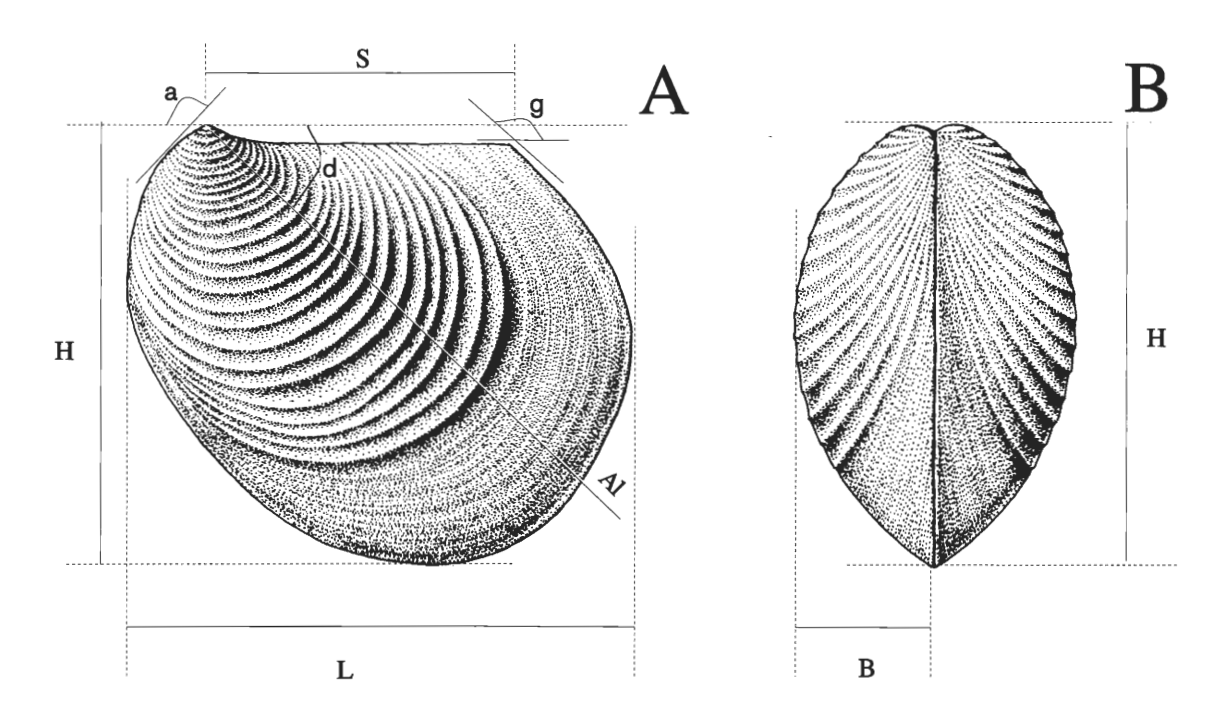


Abb. 5: Messende morphologische Merkmale der Inoceramen.

Als Beispiel kann die Gruppe des *Inoceramus azerbaydjanensis* ALIEV und *Inoceramus tausiensis* ALIEV genannt werden. Beide Arten ähneln in der Form und Skulptur sehr Vertretern der Gattung *Cordiceramus* sie wurden wiederholt auch als solche bezeichnet. Aus dem im Zuge dieser Arbeit untersuchten Material ist aber ableitbar, daß sie als Nachfolge-Formen der *Cataceramus vorhelmensis* sp.n. anzusehen sind (*C. copetdagensis - C. dariensis - C. beckumensis - C. vorhelmensis* Reihe). Die Achsenfurche, die bei *I. azerbaydjanensis* und *I. tausiensis* auftritt und in früheren Arbeiten ihre Zuordnung zu den Cordiceramen bedingte, ist ein homömorphes Merkmal, daß in gleicher Ausbildung bei verschiedenen Gattungen auftreten kann.

In dieser Arbeit erfolgt eine Zuordnung nur zu wenig Gattungen. Die Zuordung ist abhängig von einer eindeutigen taxonomischen Aussage oder von einer ebenfalls sicheren phyletischen oder phylogenetischen Interpretation. Alle Formen, für die das nicht zutrifft wurden in der Gattung *Inoceramus sensu lato* belassen. Ihre Zuordnung muß weiteren Untersuchungen überlassen bleiben.

5.2 Merkmale und Herkunft des untersuchten Materiales

Die wesentlichen Merkmale, die für Messungen genutzt wurden, sind auf den Abb. 5 und 6 dargestellt. Alle Angaben der Messungen sind in mm gegeben. Die Mehrzahl der untersuchten Inoceramen stammen aus den Aufsammlungen von GIERS, die im Ruhrland Museum in Essen hinterlegt sind. Einige Exemplare aus dem Unter-Campan von Lägerdorf stammen aus den Sammlungen der Bundesanstalt für Geologie und Rohstoffe in Berlin bzw. auch aus den Sammlungen der Freien Universität Berlin (Sammlung ERNST). Das Material aus der *B. polyplocum*-Zone wurde den Sammlungen der Universität Göttingen entnommen.

Für die Sammlungen werden im gesamten Text die folgenden Abkürzungen verwendet:

RE: Ruhrland Museum der Stadt Essen

BGR: Bundesanstalt für Geologie und Rohstoffe, Berlin

FU: Freie Universität, Berlin

MUG: Museum der Universität, Göttingen

MNHP: Museum National d'Histoire Naturelle, Paris

MZ: Muzeum Ziemi, Warschau

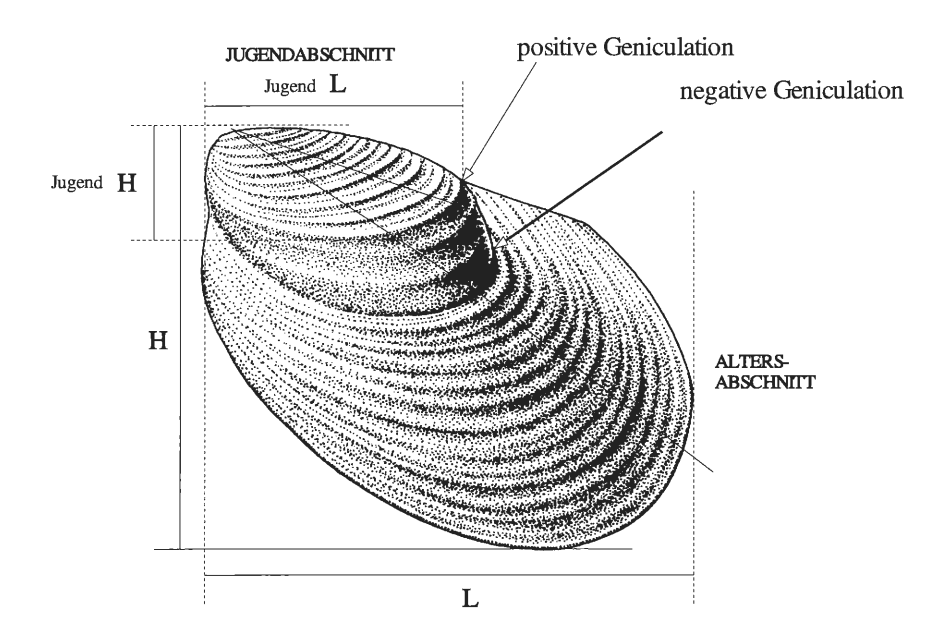


Abb. 6: Morphologische Elemente der Form mit Wachstumsknicke.

Familie Inoceramidae

Gattung Cataceramus HEINZ, 1932

Typus-Art: Inoceramus balticus BÖHM, 1909.

Nach SEITZ (1967) und DHONDT (1993) ist die von HEINZ (1932) aufgestellte Untergattung Cataceramus eine im Sinne der zoologischen Nomenklatur gültige Gattung. SEITZ definierte auch die Gattung Endocostea neu und sah Cataceramus als jüngeres Synonym von Endocostea an. Der von SEITZ (1967) festgelegte Typ von Endocostea - Endocostea typica (WHITFIELD) - unterscheidet sich deutlich von Cataceramus (= Inoceramus balticus BÖHM). Das trifft zu, auch wenn die ursprüngliche Definition der Gattung Endocostea nicht akzeptiert wird. Zur Gattung Cataceramus HEINZ gehören außen I. balticus BÖHM noch die nahe stehenden Formen, I. marcki GIERS und die evolutionäre Nachfolge-Art I. pteroides GIERS. Ebenfalls zur Gattung Cataceramus werden alle Glieder der C. copetdagensis - C. vorhelmensis - Reihe gestellt. Diese Reihe beginnt vermutlich im mittleren Unter-Campan und läßt sich bis mit ihren verschiedenen Gliedern bis in das Ober-Campan verfolgen.

Cataceramus balticus (BÖHM, 1907) Taf. 12, Fig. 1-2, 4, ?5

```
part 1836-40 Inoceramus Cripsi; GOLDFUSS, S. 116, Taf. 112, Fig. 4b (non Taf. 112, Fig. 4a, c-d).
part 1909
                Inoceramus balticus nov. sp.; BÖHM, S. 47, Taf. 11, Fig. 2 (non Taf. 12, Fig. 1).
non 1911
               Inoceramus balticus BÖHM; WOODS, S. 293, Abb. 51-53.
non 1939
               Inoceramus balticus BÖHM; ALIEV, S. 219, Taf. 1, Fig. 1-2.
non 1958
               Inoceramus balticus BÖHM; KOTSUBINSKY, S. 18, Taf. 8, Fig. 33.
?part 1959
               Inoceramus balticus BÖHM; DOBROV & PAVLOVA, S. 139, Taf. 17, Fig. 1 (?non Taf. 17, Fig. 2).
non 1962
               Inoceramus balticus BÖHM; JOLKICEV, S. 138, Taf. 4, Fig. 1-3.
               Inoceramus balticus balticus BÖHM; GIERS, S. 238, Taf. 1, Fig. 2 (?non Taf. 1, Figs 3-4).
part 1964
non 1965
               Inoceramus aff. balticus BÖHM; VERESHAGIN, S. 54, Taf. 63, Fig. 1.
               Inoceramus (Endocostea) balticus balticus BÖHM; SEITZ, S. 67, Taf. 6, Fig. 2, Taf. 7, Fig. 1, Taf. 12, Fig.
part 1967
               1-2 (non Taf. 8, Fig. 2).
               Inoceramus balticus BÖHM; KOTSUBINSKY, S. 142, Taf. 27, Fig. 1-2.
non 1968
part 1968
               Inoceramus balticus BÖHM; TRÖGER, S. 7, Taf. 1, Fig. 2-4, Taf. 2, Fig. 1-8 (non Taf. 1, Fig. 1).
               Inoceramus balticus balticus BÖHM; KHALAFOVA, Taf. 27, Fig. 2-4, ?Taf. 28, Fig. 1.
     1969
               Inoceramus balticus bălticus BÖHM; KAUFFMAN, Taf. 2, Fig. 2, 7, 9 (non Taf. 2, Fig. 1).
part 1970
part 1974
               Inoceramus balticus BÖHM; KOTSUBINSKY & SAVTCHINSKA, S. 83, Taf. 24, Fig. 1 (non Taf. 22, Fig. 2).
     1978b
               Inoceramus (Endocostea) balticus BÖHM, subsp. nov.; NODA & KANIE, S. 63, Taf. 5, Fig. 4.
     1978
               Inoceramus (Endocostea) balticus balticus BÖHM; LUPU & SORNAY, S. 76, Taf. 2, Fig. 4.
non 1979
               Inoceramus balticus BÖHM; IVANNIKOV, S. 42, Taf. 3, Fig. 2.
               Inoceramus (Cataceramus) balticus BÖHM; TZANKOV, S. 93, Taf. 34, Fig. 4-5, Taf. 35, Fig. 1-2.
non 1981
?part 1987
               Inoceramus aff. balticus BÖHM; ZONOVA, s 117, Taf. 7, Fig. 2, 5, ?6 (non Taf. 17, Fig. 4).
?non 1986
               Inoceramus (Endocostea) balticus balticus BÖHM; LOPEZ, S. 71, Taf. 6, Fig. 7.
non 1986
               Inoceramus (Endocostea) cf. balticus BÖHM; LOPEZ, S. 73, Taf. 7, Fig. 2.
non 1986
               Inoceramus (Endocostea) aff. balticus BÖHM; LOPEZ, Taf. 7, Fig. 3.
               Endocostea baltica baltica (BÖHM); DHONDT, S. 221, Taf. 2, Fig. 4.
non 1993
               Inoceramus (Endocostea) balticus BÖHM; COBBAN & KENNEDY, S. 79, Fig. 8.14-8.16.
non 1993
```

L e c t o t y p u s : Das Exemplar abbgebildet durch BÖHM (1909, Taf. 11, Fig. 2 und später auch durch GIERS 1964, Taf. 1, Fig. 2), festgelegt durch GIERS (1964); hinterlegt im Museum der Universität, Bonn.

Locus typicus: Dülmen, westliches Westfalen.

Stratum typicum: Dülmener Schichten, Unter-Campan, granulataquadrata/quadrata-Zone (nach KENNEDY & KAPLAN 1995).

ID Exempl.	Lokalität	Stratigr.	Giers' Name	Abb.	L	Н	S	Al	δ	D	γ	α	H/L	S/AI
1 RE: A 1250	Bosenberg	Vorhelmer-S.	I. balt. balticus	T. 12, F. 5										
2 RE: A 1261	Kanalecolt	Stromberger-S.	I. balt. balticus		83	56.5							0.68	
3 RE: A 1374	Bosenberg	Vorhelmer-S.	I. balticus marcki		89	70	64	100	28				0.78	0.64
4 RE: A 1402	Tutenbrock	Beckumer-S.	I. balt. marcki											
5 RE: A 1424	Tutenbrock	Beckumer-S.	I. balticus marcki	T. 11, F. 3										
6 RE: A 1614	Bosenberg	Vorhelmer-S.	I. balt. pteroides		67	47	33	64	33	6			0.7	0.5
7 RE: A 1618	Tutenbrock	Beckumer-S.	I. balt. pteroides		48	42	28.5	48	40				0.87	0.5
8 RE: A 1639	Bosenberg	Vorhelmer-S.	I. balt. tenuicostatus											
9 RE: A 1640	Bökenförde	Stromberger-S.	I. balt. tenuicostatus	T. 12, F. 4	63.9	51.3	37.1	60	41	10	125		0.8	0.6
10 RE: A 1644	Bosenberg	Vorhelmer-S.	I. balt. tenuicostatus											
11 RE: A 1648	Bosenberg	Vorhelmer-S.	I. balt. tenuicostatus	T. 12, F. 2	63.6	49	36	60	45	9	135		0.77	0.
12 RE: A 1650	Bosenberg	Vorhelmer-S.	I. balt. tenuicostatus											
13 RE: A 1651	Bosenberg	Vorhelmer-S.	I. balt. tenuicostatus			,								
14 RE: A 1655	Bosenberg	Vorhelmer-S.	I. balt. balt.											
15 RE: A 1657	Kreuzberg	Vorhelmer-S.	I. balt. tenuicostatus	T. 12, F. 1	61.5	47.5	38	55	38	9			0.77	0.6
16 RE: A 1663	Bosenberg	Vorhelmer-S.	I. balt. balticus											
70 H/L V 60 50 - 40 - 20 10 -	erhältnis bei C	ataceramus baltio	©us (BOEHM)	s	70	Al Ver		(B	OEH!	M)	1		•	
0	20 40	н 60 8	0 100		0	2	20	40	AI 6	0	80	1	00	

Abb. 7: Bernerkungen, Messungen und einfache Verhältnisse der Exemplare von Cataceramus balticus (BÖHM).

Material: Bemerkungen, Messungen und einfache Verhältnisse über die hier untersuchten Exemplare sind in Abbildung 7 dargestellt.

Beschreibung der Art, einschließlich einer genauere Diskussion über den festgelegten Lectotypus, hatten GIERS (1964) und TRÖGER (1969) gegeben. Eine moderne neue Unterordnung der Art hätte horizontierte Aufsammlungen zur Voraussetzung. Erst dann kann man zwischen den anagenetischen Evolution und die Fälle der Homömorphie unterscheiden und ein zuverlässigen evolutionären Weg darstellen.

Diskusion: Zur Zeit ist die Interpretation der Art *Cataceramus balticus* (BÖHM) sehr schwierig, weil das hier untersuchte Material, und auch die andere Sammlungen, sehr beschränkt sind (siehe Taf. 12, Fig. 1-2, 4, ?5). Fast jedes der hier abgebildeten Stücke kann als eine extreme Variante einer anderen Art angesehen werden. Um Klarheit zu gewinnen, wären horizontierte Aufsammlungen aus dem untersten Unter-Campan der Typuslokalität sowie aus den oberen Teilen des Campans notwendig. Oft entsprechen die Ansprachen in der Literatur nicht der Originalbeschreibung von J.BÖHM. Möglicherweise ist die vertikale Verbreitung der Art geringer, als das im Augenblick aus der Literatur ersichtlich ist. Es erscheint möglich, daß der "balticus" Typ zeitlich mehrfach und getrennt voneinander auftritt. Im Ober-Campan von Westfalen und von Haldem z.B. tritt dieser Typ nur sehr selten auf oder fehlt auch vollständig. Das betrifft auch die in der Literatur veröffentlichten Exemplare. In vielen Fällen, die überprüfbar waren, handelt es sich nicht um *Cataceramus balticus* (BÖHM) im Sinne der Originalbeschreibung sondern um andere Arten. Beispiele dafür sind *C. balticus* - (KOTSUBINSKY 1968) aus dem Unter-Maastricht von Nagorzany (= *Cataceramus goldfussianus* (d'ORBIGNY)); *I. balticus* - (JOLKICEV 1962, Taf. 4, Fig. 2) ähnelt sehr stark *Inoceramus europeaus* HEINZ (= *I. antunesi* SORNAY 1969, Taf. 31, Fig. 2).

Vorkommen: Cataceramus balticus (BÖHM) kommt sicher im Unteren und unteren Ober-Campan von Europa vor. Alle andere Berichte sollten überprüft werden.

Cataceramus beckumensis (GIERS, 1964) Taf. 14, Fig. 4; Taf. 15, Fig. 2-5; Taf. 16-18

- 1959 Inoceramus mülleri PETRASCHECK; DOBROV & PAVLOVA, S. 140, Taf. 15, Fig. 1.
- 1964 Inoceramus balticus beckumensis n. subsp.; GIERS, S. 241, Taf. 2, Fig.1.
- non 1967 Inoceramus balticus cf. beckumensis GIERS; SEITZ, S. 70, Taf. 7, Fig 2.
- ?non 1993 Endocostea baltica beckumensis (GIERS); DHONDT, S. 221, Taf. 3, Fig. 3.

Holotypus: Exemplar Nr. RE A 1273 aus der Sammlung GIERS (0525) = GIERS (1964, Taf. 2, Fig. 1, und auch herein Taf. 16, Fig. 3).

Locus typicus: Steinbruch Tutenbrock bei Beckum, Westfalen.

Stratum typicum: Beckumer Schichten, unterstes Ober-Campan, conica/mucronata-Zone.

Material: Bemerkungen, Messungen, und einfache Verhältnisse von den hier untersuchten Exemplaren sind in der Abbildung 8 gegeben.

B e s c h r e i b u n g : Mittelgroße bis große Inoceramen-Art. Ungleichseitig, gleichklappig. Wirbel klein, ragt wenig über den Schloßrand. Vorderrand gerade bis leicht konvex; geht kontinuierlich in den Unter- bzw. Hinterrand über. Schloßrand gerade, relativ kurz (50% der jeweiligen Al). Wachstumsachse gerade bis leicht zum Vorderrand gebogen. Delta-Werte: 40-50°. Hinterflügel allgemein gut vom Flügel abgesetzt, oft mit gut entwickelter hinterer Furche.

Skulptur: Regular bis subregular verlaufende konzentrische, gerundete Rippen. Bei einigen Exemplaren einschließlich des Holotypes subquadratischer Verlauf der Rippen mit Verstärkung der hinteren Furche (Verdrückung).

B e m e r k u n g e n : Der Holotyp ist leicht deformiert. Sowohl der subquadratische Verlauf der Rippen als auch die Verstärkung der Flügelfurche sind verdrückungsbedingt. Formen, die *Cataceramus beckumensis* (GIERS) ähneln wurden von ARZUMANOVA (1965, Taf. 4, Fig. 2-3) aus dem Unter-Campan des Kopet Dag als *Inoceramus balticus* var. *raricostata* beschrieben. Diese zwei Exemplare können mit den Formen von *C. beckumensis* verglichen werden, die eine irreguläre Skulptur besitzen. Auch eine Einstufung als extreme Varianten von *C. dariensis* (PAVLOVA) ist möglich.

Die Exemplare aus dem obersten Campan von Tercis (Frankreich)-Nostoceras hyatti-Zone – (DHONDT 1993, Taf. 3, Fig. 3) nähern sich der GIERSschen Beschreibung sehr stark. Von den westfälischen Exemplaren unterscheiden sie sich durch ihre Delta-Werte (Franz. Material 60°, westf. Material 40-50°). Da die Exemplare aus Frankreich nicht vollständig erhalten sind, ist die Einbeziehung weiterer Merkmale nicht möglich. Der erhaltene Anteil weist außerdem Ähnlichkeiten zu Formen aus dem Ober-Campan von Europa auf, die im allgemeinen als *l.* cf. sagensis oder *l.* aff. sagensis bestimmt werden. Es muß in diesem Zusammenhang betont werden, daß Vertreter von *C. beckumensis* (GIERS) im Hangenden der beckumensis-Zone im allgemeinen nicht mehr auftreten. Nur zwei Exemplare (ein Exemplar mit offener Bestimmung) dieser Art wurden in der stobaei/basiplana-Zone (Vorhelmer Schichten) nachgewiesen.

Cataceramus beckumensis (GIERS) ist ein Glied der phylogenetischen Reihe Cataceramus copetdagensis (ARZUMANOVA) - Cataceramus dariensis (DOBROV & PAVLOVA) - Cataceramus beckumensis (GIERS) - Cataceramus vorhelmensis n.sp. Die letzgenannte Art ist außerdem der Vorläufer von stratigraphisch bedeutsamen Ober-Campan-Arten wie Inoceramus tausiensis ALIEV und Inoceramus azerbaydjanensis ALIEV. Diese neue Reihe beginnt im tiefsten Unter-Campan und endet im unteren Ober-Campan. Das veränderliche Merkmal bei gleichbleibendem Umriß ist die Berippung (Engständigkeit und Regelmäßigkeit der Berippung).

Inoceramus bererensis (SORNAY,1975) aus dem Mittel-Campan von Madagaskar besitzt ebenfalls eine große Ähnlichkeit mit Cataceramus beckumensis (GIERS). Das betrifft vor allem das Exemplar auf Abb. 5, das SORNAY als jugendliches Individiuum bezeichnete. Die anderen von SORNAY (1975) beschriebenen Exemplare gleichen mehr den Formen, die in dieser Arbeit zu Cataceramus dariensis (DOBROV & PAVLOVA) gestellt werden.

Die von O. SEITZ (1967, Taf. 7, Fig. 2) zu *C. beckumensis* (GIERS) gerechneten Exemplare aus dem Santon/Campan - Grenzbereich der Umgebung von Braunschweig (Niedersachsen) unterscheiden sich bezüglich aller Merkmale von der GIERSschen Art. Ein Vergleich mit *Cataceramus marcki* (GIERS) oder auch ?*Cataceramus paraheberti* (SORNAY) ist möglich.

	S/Al
Rectard Rect	-
All Ed. 1727 Interforced Beckmeres July 1864 1864 1875 187	8 0.44
Sign A. 1277 Tuterbrock Beckumers July Author Subtractives Subtract	
Fig. Eq. 1274 Anna" Beckumers Path Echamosts T. 18, F. T. T. G. G. 47 R. S. 24 7 T. S. S. 18 R. Anna" Reckumers Path Echamosts T. 18, F. T. G. T. S. S. S. S. S. S. S	
Fig. Act 1277 Actual Seckumenes Lohal beckments 1	
S. Ref. A 1278 Orunebroyal Beckumers July Section Sect	
Spread 1281 Trumbrook Beckumers Labit beckuments T. 16, F. 5 49 41, 5 28, 5 32, 43 6 135 113 105 0.9 113 Re A. 1285 Trumbrook Beckumers Labit beckuments Spread	
11 R.F. A. 128 Tutenbrock Beckumers Anti-beckuments	5 0.55
12 R.R. A 1286 Ruhr & Co	4 0.52
13 R.R. A 1287 Tutenbrock Deckumers	
4 RE A 1298 Ruhr & CO	
15 E.R. 1289 Tutenbrock Beckumers 1, al., the beckmensts T. 1.6, F. 4 67 67 67 58 79 47 6 128 102	8 0.47
16 R. A. 1290 Tutenbrock Beckumers I. Auth. beckmenstis T. 15, F. 2 54 46 35 58 45 4 0.8 18 R. A. 1292 Tutenbrock Beckumers I. Auth. beckmenstis T. 15, F. 2 54 46 35 58 45 4 0.8 19 R. R. 1293 "Anna" Beckumers I. Auth. beckmenstis T. 16, F. T. 70 60 40 73 46 6 105 0.8 20 R. R. 1294 "Freibad Alben Vorhelmers I. Auth. beckmenstis T. 16, F. T. 70 60 40 73 46 6 105 0.8 21 R. R. 1295 "Anna" Beckumers I. Auth. beckmenstis T. 16, F. T. 70 70 60 40 73 46 6 105 105 0.8 22 R. R. 1297 "Anna" Beckumers I. Auth. beckmenstis T. 17, F. 3 66 5 34.5 64 50 6 102 102 23 R. R. 1297 Schlenkhoff Beckumers I. Auth. beckmenstis T. 17, F. 3 66 5 60 36 78 50 6 102 102 24 R. R. 1297 Schlenkhoff Beckumers I. Auth. beckmenstis T. 17, F. 3 66 5 60 36 78 50 6 102 102 24 R. R. 1297 Schlenkhoff Beckumers I. Auth. beckmenstis T. 17, F. 3 66 5 60 36 78 50 6 102 102 25 R. R. 1297 Schlenkhoff Beckumers I. Auth. beckmenstis T. 17, F. 3 65 60 36 78 50 6 102 102 26 R. R. 1307 Tutenbrock Beckumers I. Auth. beckmenstis G. S. G. G. G. G. G. G.	
17 R.R. 1291 Tutenbrock Beckumers 1, both beckmensts 1, 5, F 2 54 46 35 58 45 4 0.0 0.0	1 0.6
18 R.R. A 1292 Tutenbrock Beckumers S. holis heckmensis T. 16, F. T. 70 60 40 73 46 6 105 0.8 20 R.R. A 1294 Freibad Ahlen Vorhelmers S. holis heckmensis 56 55 34.5 64 50 6 135 115 0.9 21 R.R. A 1295 Anna" Beckumers S. holis heckmensis 56 55 34.5 64 50 6 135 115 0.9 22 R.R. A 1296 "Elsa" Beckumers S. holis heckmensis 56 55 34.5 64 50 6 135 115 0.9 23 R.R. A 1297 Schleikhölf Beckumers S. holis heckmensis T. 17, F. 3 66.5 69 36 78 50 6 102 1.0 24 R.R. A 1295 Schleikhölf Beckumers S. holis heckmensis T. 17, F. 3 66.5 69 36 78 50 6 102 1.0 26 R.R. A 1301 Tuterbrock Beckumers S. holis heckmensis T. 17, F. 3 66.5 69 36 78 50 6 102 1.0 27 R.R. A 1302 Tuterbrock Beckumers S. holis heckmensis T. 17, F. 3 66.5 69 36 78 50 6 102 1.0 29 R.R. A 1301 Tuterbrock Beckumers S. holis heckmensis T. 17, F. 3 66.5 69 36 78 50 6 102 1.0 20 R.R. A 1301 Tuterbrock Beckumers S. holis heckmensis T. 17, F. 7 67.5 5 10 50 50 5 135 50 0.9 31 R.R. A 1304 Tuterbrock Beckumers S. holis heckmensis T. 17, F. 7 67.5 48 48 49 54.5 6 102 1.0 32 R.R. A 1307 Tuterbrock Beckumers S. holis heckmensis T. 18, F. 2 57 60 28 67 55 5 10 10 10 10 10 10	5 0.6
19 RE, A 1293 Anna" Beckumers: 1, both: heckmensis T. 16, F. 1 70 60 40 73 46 6 105 0.8 20 RE, A 1295 Anna" Reckumers: 1, both: heckmensis 1 1 1 1 1 1 21 RE, A 1295 Anna" Reckumers: 1, both: heckmensis 1 1 1 1 22 RE, A 1296 Schlenkloff Reckumers: 1, both: heckmensis 1 1 1 1 23 RE, A 1295 Schlenkloff Reckumers: 1, both: heckmensis 1 1 1 1 1 25 RE, A 1295 Schlenkloff Reckumers: 1, both: heckmensis 1 1 1 1 1 25 RE, A 1295 Schlenkloff Reckumers: 1, both: heckmensis 1 1 1 1 1 1 27 RE, A 1392 Schlenkloff Reckumers: 1, both: heckmensis 1 1 1 1 1 1 27 RE, A 1302 Tuterbrock Beckumers: 1, both: heckmensis 68.3 63.3 43.5 74 45 3 5 135 0.9 29 RE, A 1302 Tuterbrock Beckumers: 1, both: heckmensis 68.3 63.3 43.5 74 45 3 5 135 0.9 29 RE, A 1304 Tuterbrock Beckumers: 1, both: heckmensis 1 1 1 1 1 1 1 1 1 20 RE, A 1304 Tuterbrock Beckumers: 1, both: heckmensis 1 1 1 1 1 1 1 1 1	
20 RE A 1294 Freibad Ahlen Volhelmeres 1, both. beckmenests 56 55 34.5 64 50 6 135 115 0.9	_
22 RE A 1956 "Flas" Seckumers S. Indit. Deckumensis S. Land Deckumensis S. Deckumers S. Delt. Deckumensis S. Deckumers S. Delt. Deckumensis Delt. De	
22 R. R. 1296 Elias* Beckumers Loub beckuments Loub	0.51
23 ER A 1297 Schlenkhoff Beckumers I, holl heckumensis T 17, F 3 66, 5 6 9 6 18 5 100 00 25 ER A 1299 Schlenkhoff Beckumers I, holl heckumensis T 17, F 3 58 57 35 64 48 5 100 00 27 ER A 1300 Tutenbrock Beckumers I, holl heckumensis T 17, F 3 58 57 35 64 48 5 100 00 27 ER A 1300 Tutenbrock Beckumers I, holl heckumensis G85 63 43 5 74 45 5 6 103 08 28 ER A 1304 Tutenbrock Beckumers I, holl heckumensis G85 63 43 5 74 45 5 6 103 08 29 ER A 1304 Tutenbrock Beckumers I, holl heckumensis G85 57 44 71, 5 45 6 103 08 29 ER A 1304 Tutenbrock Beckumers I, holl heckumensis T 17, F 1 72 67, 5 44 83 40 6 133 50 0.9 31 ER A 1305 Tutenbrock Beckumers I, holl heckumensis T 17, F 1 72 67, 5 44 83 40 6 133 50 0.9 32 ER A 1307 Tutenbrock Beckumers I, holl heckumensis T 17, F 5 76 71, 5 48 90 47 5 90 0.9 33 ER A 1308 Tutenbrock Beckumers I, holl heckumensis T 17, F 5 76 71, 5 48 90 47 5 90 0.9 34 ER A 1301 Tutenbrock Beckumers I, hall heckumensis G9 62 42 77 47 5 90 0.9 35 ER A 1312 Tutenbrock Beckumers I, hall heckumensis G9 62 42 77 47 5 90 0.9 35 ER A 1317 Tutenbrock Beckumers I, hall heckumensis G0 70 36 795 50 5 1.1 108 0.9 37 ER A 1314 Tutenbrock Beckumers I, hall heckumensis G0 70 36 795 50 5 1.1 108 0.9 0.9 0.9 0.0	_
24 R.F. A 1299 Schlenkhoff Beckurner-S, I. Dalt beckuments T. I. I. F. 3 66.5 69 36 78 50 6 102 1.00 0.0 26 R.F. A 1301 Tuterbrock Beckurner-S, I. Dalt beckuments T. I. I. F. 3 58 57 35 64 85 5 100 0.0 28 R.F. A 1301 Tuterbrock Beckurner-S, I. Dalt beckuments T. I. I. F. 3 66.5 57 54 61 55 5 0.0 28 R.F. A 1301 Hessling Beckurner-S, I. Dalt beckuments 65 57 44 71.5 45 6 103 0.8 29 R.F. A 1304 Tuterbrock Beckurner-S, I. Dalt beckuments T. I.	
Separate	3 0.46
166 R.E. A. 1300 Tutenbrook Beckumers I. holl heckumensis 68,5 63 43,5 7,4 45 5 0.9 28 R.E. A. 1300 Hessling Beckumers I. holl heckumensis 68,5 63 43,5 7,4 45 5 0.9 28 R.E. A. 1301 Hushing Beckumers I. holl heckumensis 68,5 63 44 71,5 45 6 103 0.8 30 R.E. A. 1305 Tutenbrook Beckumers I. holl heckumensis T. 17, F. 1 72 67,5 44 81 34 0.5 133 50 0.9 31 R.E. A. 1305 Tutenbrook Beckumers I. holl heckumensis T. 18, F. 5 77 60 28 67 55 5 102 10 32 R.E. A. 1307 Tutenbrook Beckumers I. holl heckumensis T. 18, F. 5 77 60 28 67 55 5 102 10 33 R.E. A. 1308 Tutenbrook Beckumers I. holl heckumensis T. 18, F. 5 77 71 75 75 75 77 78 79 79 79 79 79 79	
27 R.R. A 1302 Tutenbrock Beckumer-S.	
188 ER. A. 1300 Hessling Beckumer-S.	
30 RE A 1306 Tutenbrook Beckumer-S Lotal beckumensis T.17, E.1 72 67.5 44 83 40 5 135 90 0.9	8 0.62
30 RE A 1306 Tuenbrook Beckumer-S Lotal beckumensis T.17, F. 1 72 67.5 44 83 40 5 135 90 0.9 31 RE A 1307 Tuenbrook Beckumer-S Lotal beckumensis T.17, F. 5 76 71.5 48 90 47 5 90 0.9 32 RE A 1307 Tuenbrook Beckumer-S Lotal beckumensis T.17, F. 5 76 71.5 48 90 47 5 90 0.9 33 RE A 1308 Tuenbrook Beckumer-S Lotal beckumensis 60 62 42 71 47 5 90 0.9 34 RE A 1310 Tuenbrook Beckumer-S Lotal beckumensis 60 70 36 79 50 5 5 102 1.0 35 RE A 1312 "Anna" Beckumer-S Lotal beckumensis 60 70 36 79 50 5 5 5 1.0 37 RE A 1314 Tutenbrook Beckumer-S Lotal beckumensis 60 70 36 79 50 5 5 5 5 1.0 38 RE A 1315 Tutenbrook Beckumer-S Lotal beckumensis 61 58 51 20 69 5 45 5 5 118 90 39 RE A 1317 Tutenbrook Beckumer-S Lotal beckumensis 71 66 42 8 79 45 6 135 118 90 40 80 80 80 100 40 RE A 1319 Tutenbrook Beckumer-S Lotal beckumensis 71 68 43 80 50 7 7 9 9 9 40 80 80 80 100 41 RE A 1320 Anna" Beckumer-S Lotal beckumensis 71 70 70 70 70 9 9 9 9 9 9 9 9 9	1 0.53
32 RE. A 1307 Tutenbrook Beckumer-S. Lotal: beckumensis 17, F. 5 76 71.5 48 90 47 5 108 0.9 33 RE. A 1310 Tutenbrook Beckumer-S. Lotal: beckumensis 66 62 42 71 47 5 108 0.9 35 RE. A 1312 *Anna* Beckumer-S. Lotal: beckumensis 60 70 36 79.5 50 5 1.0 36 RE. A 1311 Tutenbrook Beckumer-S. Lotal: beckumensis 60 70 36 79.5 50 5 5 1.0 37 RE. A 1314 Tutenbrook Beckumer-S. Lotal: beckumensis 18, F. 6 71 66 42.8 79 45 6 102 39 RE. A 1315 Tutenbrook Beckumer-S. Lotal: beckumensis 49 49 28 55 48 6 102 40 RE. A 1319 Tutenbrook Beckumer-S. Lotal: beckumensis 49 49 28 55 48 6 102 41 RE. A 1319 Tutenbrook Beckumer-S. Lotal: beckumensis 49 49 28 55 48 6 102 41 RE. A 1319 Tutenbrook Beckumer-S. Lotal: beckumensis 49 49 28 55 48 6 102 41 RE. A 1319 Tutenbrook Beckumer-S. Lotal: beckumensis 49 49 28 55 48 6 102 41 RE. A 1319 Tutenbrook Beckumer-S. Lotal: beckumensis 16, F. 2 68 66 45 78 58 50 7 9.9 41 RE. A 1319 Preussen Beckumer-S. Lotal: beckumensis 58 54 31 60 50 6 120 110 10 43 RE. A 1312 Telsa* Beckumer-S. Lotal: beckumensis 58 54 31 60 55 6 125 105 0.9 44 RE. A 1323 Tutenbrook Beckumer-S. Lotal: beckumensis 15, F. 3 52 56 58 34 9 64 58 58 59 0 45 RE. A 1352 Bosenberg Beckumer-S. Lotal: heldmensis 18, F. 5 55 48 66 135 100 09 46 RE. A 1351 Tutenbrook Beckumer-S. Lotal: heldmensis 18, F. 5 55 48 66 135 100 09 47 RE. A 1361 Tutenbrook Beckumer-S. Lotal: heldmensis 18, F. 5 55 56 58 34 9 64 58 58 59 00 60 60 60 60 60 60 6	
33 RE A 1308 Tutenbrock Beckumer-S. Lotal: beckumensis 69 62 42 71 47 5 108 0. 34 RE A 1312 "Anna" Beckumer-S. Lotal: beckumensis 66 58 38 87 45 6 0. 35 RE A 1313 "Anna" Beckumer-S. Lotal: beckumensis 66 70 36 79.5 50 5 1. 36 RE A 1313 Tutenbrock Beckumer-S. Lotal: beckumensis 61 58 83 32 69.5 45 5 0. 9 37 RE: A 1314 Tutenbrock Beckumer-S. Lotal: beckumensis 71 66 42.8 79 45 6 135 118 0.9 38 RE: A 1315 Tutenbrock Beckumer-S. Lotal: beckumensis 1. 1. 1. 1. 1. 1. 1. 1	
14 RE A 1310	
15 R.E. A. 1312 Anna" Beckumers. I. ball. beckumensis 60 70 36 79 50 5 1 1 37 R.E. A. 1314 Tutenbrock Beckumers. I. ball. beckumensis 7. 18, F. 6 71 66 42.8 79 45 6 135 118 0.9 37 R.E. A. 1315 Tutenbrock Beckumers. I. ball. beckumensis T. 18, F. 6 71 66 42.8 79 45 6 135 118 0.9 38 R.E. A. 1315 Tutenbrock Beckumers. I. ball. beckumensis T. 16, F. 2 68 66 42.8 79 45 6 135 118 0.9 40 R.E. A. 1307 Tutenbrock Beckumers. I. ball. beckumensis T. 16, F. 2 68 66 45 78.3 42 6 135 90 0.9 41 R.E. A. 1307 "Anna" Beckumers. I. ball. beckumensis T. 16, F. 2 68 66 45 78.3 42 6 135 90 0.9 41 R.E. A. 1322 "Elsa" Beckumers. I. ball. beckumensis T. F. 2 58 5 4 31 60 45 6 135 100 0.9 44 R.E. A. 1322 "Elsa" Beckumers. I. ball. beckumensis T. F. 2 58 55 4 31 60 45 6 135 100 0.9 44 R.E. A. 1323 Tutenbrock Beckumers. I. ball. beckumensis T. F. 5 55 4 31 60 45 6 135 100 0.9 44 R.E. A. 1323 Tutenbrock Beckumers. I. ball. beckumensis T. F. 5 55 4 48 6 135 0.9 44 65 R.E. A. 1361 Tutenbrock Beckumers. I. ball. haldemensis T. R.F. 5 55 4 48 6 65.9 0.8 47 R.E. A. 1361 Tutenbrock Beckumers. I. ball. marchi T. R.F. 5 55 4 48 6 135 0.8 49 R.E. A. 1361 Tutenbrock Beckumers. I. ball. marchi T. R.F. 5 55 4 48 6 135 0.8 49 49 6 135 0.8 49 49 6 135 0.8 49 6 135 0.8 49 6 135 0.8 49 6 135 0.8 6 6 6 6 6 6 6 6 6	
36 RE A 1313 Tutenbrock Beckumer-S I. ball. beckumensis T. 18, F. 6 71 66 42.8 79 45 6 135 118 0.9 37 RE A 1314 Tutenbrock Beckumer-S I. ball. beckumensis 49 49 22 55 48 6 102 39 RE A 1317 Tutenbrock Beckumer-S I. ball. beckumensis 49 49 22 55 48 6 102 39 RE A 1317 Tutenbrock Beckumer-S I. ball. beckumensis 71 68 43 80 50 7 0 40 RE A 1319 Tutenbrock Beckumer-S I. ball. beckumensis 71 68 43 80 50 7 0 41 RE A 1320 "Anna" Beckumer-S I. ball. beckumensis 71 7, F. 2 51 53 32 60 50 6 120 110 10 42 RE A 1312 "Preussen Beckumer-S I. ball. beckumensis 7 17, F. 2 51 53 32 60 50 6 120 110 10 43 RE A 1322 "Elsa" Beckumer-S I. ball. beckumensis 58 53.5 54 81 60 45 6 135 100 10 44 RE A 1323 Tutenbrock Beckumer-S I. ball. beckumensis 58 53.5 54 81 60 45 6 135 100 10 45 RE A 1352 Bosenberg Beckumer-S I. ball. beckumensis 58 53.5 38 62.5 50 6 125 105 0.9 46 RE A 1353 Hoetmar Beckumer-S I. ball. beckumensis T. 15, F. 3 62 56.8 34.9 64.5 48 6 135 100 0.9 47 RE A 136 Tutenbrock Beckumer-S I. ball. beckumensis T. 18, F. 5 55.4 48 65.9 0.8 48 RE A 1398 Tutenbrock Beckumer-S I. ball. marchi T. 18, F. 4 70.4 59.4 44.6 77 40 6 135 0.8 49 RE A 1415 Tutenbrock Beckumer-S I. ball. marchi T. 18, F. 4 70.4 59.4 44.6 77 40 6 135 100 100 50 RE A 1417 "Anna" Beckumer-S I. ball. marchi T. 18, F. 4 70.4 59.4 44.6 77 40 6 135 103	
37 RE: A 1314 Tutenbrock Beckumer-S. I. balt. beckumensis T. 18, F. 6 71 66 42.8 79 45 6 135 118 102 39 RE: A 1317 Tutenbrock Beckumer-S. I. balt. beckumensis 49 49 28 55 48 6 102 39 RE: A 1317 Tutenbrock Beckumer-S. I. balt. beckumensis 71 68 43 80 50 7 5 0.9 40 RE: A 1317 Tutenbrock Beckumer-S. I. balt. beckumensis 71 68 43 80 50 7 5 0.9 41 RE: A 1320 *Anna* Beckumer-S. I. balt. beckumensis 71 7, F. 2 5 5 3 32 60 50 6 120 110 10 42 RE: A 1322 *Pteassen Beckumer-S. I. balt. beckumensis 71, F. 2 5 5 3 32 60 50 6 120 110 10 43 RE: A 1322 *Telsa* Beckumer-S. I. balt. beckumensis 7 58 53.5 53 8 62.5 50 6 125 105 09 44 RE: A 1323 Tutenbrock Beckumer-S. I. balt. beckumensis 7 5 5 5 5 5 5 5 45 RE: A 1332 Bosenberg Beckumer-S. I. balt. beckumensis 7 15, F. 3 62 56.8 34.9 64.5 48 6 135 0.9 46 RE: A 1339 Hoetmar Beckumer-S. I. balt. balt. beckumensis 7 18, F. 3 55.4 48 6 135 0.9 47 RE: A 1361 Tutenbrock Beckumer-S. I. balt. balt. beckumensis 7 18, F. 3 55.4 48 6 135 0.9 48 RE: A 1398 Tutenbrock Beckumer-S. I. balt. marcki T. 18, F. 4 70.4 59.4 44.6 77 40 6 135 0.8 49 RE: A 1415 Tutenbrock Beckumer-S. I. balt. marcki T. 18, F. 4 70.4 59.4 44.6 77 40 6 135 0.8 50 RE: A 1417 *Anna* Beckumer-S. I. balt. marcki T. 18, F. 4 70.4 59.4 44.6 77 40 6 135 125 0.8 51 RE: A 1566 Ruhr & Co Beckumer-S. I. balt. balt. betroides 64 51 39 42 5 0.9 52 RE: A 1588 Tutenbrock Beckumer-S. I. balt. betroides 65 55 45 68 47 0.0 0.0 53 RE: A 1624 Gruenberg Beckumer-S. I. balt. betroides 75 67 40 40 40 40 40 40 40 4	-
38 RE A 1315 Tutenbrock Beckumer-S. I. ball. beckumensis 49 49 28 55 48 6 102	
39 RE A 1317 Tutenbrock Beckumer-S Lotal: beckumensis T. 16, F. 2 68 66 45 78.5 42 6 135 90 0.9	
40 RE: A 1319 Tutenbrock Beckumer-S. I. balt. beckumensis T. 16, F. 2 68 66 45 78.5 42 6 135 90 09 09 41 RE: A 1320 Anna" Beckumer-S. I. balt. beckumensis S. 5 51 53 32 60 50 6 120 110 1.0 10 10 10 10 10	0.51
41 RE A 1320 "Anna" Beckumer-S. I. balt. beckumensis	
42 RE A 1321 Preussen Beckumer-S. I. balt. beckumensis 58.5 54 31 60 45 6 135 100 0.9 9 44 RE. A 1322 "Elsa" Beckumer-S. I. balt. beckumensis 5 58.5 54 31 60 45 6 135 105 0.9 44 RE. A 1323 Tutenbrock Beckumer-S. I. balt. beckumensis 7.15, F. 3 62 56.8 34.9 64.5 48 6 135 0.9 45 RE. A 1325 Bosenberg Beckumer-S. I. balt. belipticus 64 RE. A 1329 Hoteman Beckumer-S. I. balt. haldemensis 7.18, F. 5 55.4 48 65.9 0.8 47 RE. A 1361 Tutenbrock Beckumer-S. I. balt. haldemensis 7.18, F. 5 55.4 48 65.9 0.8 49 RE. A 1361 Tutenbrock Beckumer-S. I. balt. marcki 7.18, F. 5 55.4 48 65.9 0.8 49 RE. A 1361 Tutenbrock Beckumer-S. I. balt. marcki 7.18, F. 5 55.4 48 65.9 0.8 49 RE. A 1361 Tutenbrock Beckumer-S. I. balt. marcki 7.17, F. 4 82 71.3 51.4 89.4 45 6 135 125 0.8 50 RE. A 1415 Tutenbrock Beckumer-S. I. balt. marcki 80 73 51 RE. A 1566 Ruhr & Co Beckumer-S. I. balt. marcki 80 73 51 RE. A 1566 Ruhr & Co Beckumer-S. I. balt. balt. beckumer-S. I. balt. beckumer-S. I. balt. balt. beckumer-S. I. balt. balt. beckumer-S. I. balt. beroides 5 55 55 45 68 47 76 42 6 123 103 0.8 57 RE. A 1624 Gruenberg Beckumer-S. I. balt. beroides 5 75 674 45 80.4 39 6 130 114 0.8 50 RE. A 1625 Tutenbrock Beckumer-S. I. balt. beroides 5 75 674 46 62 47 76 42 6 123 103 0.8 50 RE. A 1668 Tutenbrock Beckumer-S. I. balt. benicostatus 5 60 RE. A 1678 Tutenbrock Beckumer-S. I. planus 61 Re. A 1678 Tutenbrock Beckumer-S. I. planus 61 Re. A 1678 Tutenbr	
43 RE. A 1322 "Elsa" Beckumer-S. I. balt. beckumensis T. 15, F. 3 62 56.8 34.9 64.5 48 6 135 0.9 44 RE. A 1323 Tutenbrock Beckumer-S. I. balt. beckumensis T. 15, F. 3 62 56.8 34.9 64.5 48 6 135 0.9 45 RE. A 1352 Bosenberg Beckumer-S. I. balt. baldemensis T. 18, F. 5 55.4 48 65.9 0.8 47 RE. A 1361 Tutenbrock Beckumer-S. I. balt. haldemensis T. 18, F. 5 55.4 48 65.9 0.8 48 RE. A 1398 Tutenbrock Beckumer-S. I. balt. marcki T. 18, F. 5 55.4 48 65.9 0.8 49 RE. A 1415 Tutenbrock Beckumer-S. I. balt. marcki T. 18, F. 4 70.4 59.4 44.6 77 40 6 135 0.8 49 RE. A 1415 Tutenbrock Beckumer-S. I. balt. marcki T. 17, F. 4 82 71.3 51.4 89.4 45 6 135 125 0.8 50 RE. A 1417 "Anna" Beckumer-S. I. balt. marcki T. 17, F. 4 82 71.3 51.4 89.4 45 6 135 125 0.8 51 RE. A 1566 Ruhr & Co Beckumer-S. I. balt. marcki T. 17, F. 4 82 71.3 51.4 89.4 45 6 135 125 0.8 52 RE. A 1599 Tutenbrock Beckumer-S. I. balt.cus pteroides 64 51 39 42 5 0.0 53 RE. A 1599 Tutenbrock Beckumer-S. I. balt.cus pteroides 64 51 39 42 5 0.0 53 RE. A 1599 Tutenbrock Beckumer-S. I. balt.cus pteroides 65 55 45 68 47 0.8 55 RE. A 1607 Tutenbrock Beckumer-S. I. balt.cus pteroides 75 67.4 45 80.4 43 90 6 130 114 0.8 56 RE. A 1624 Gruenberg Beckumer-S. I. balt.cus pteroides 75 67.4 45 80.4 47 76 42 6 123 103 0.8 58 RE. A 1624 Gruenberg Beckumer-S. I. balt.cus pteroides 65 55 45 68 47 60 60 80 100 40 40 40 40 40 40 40	
44 R.E. A 1323 Tutenbrock Beckumer-S. I. balt. beckumensis T. 15, F. 3 62 56.8 34.9 64.5 48 6 135 0.9 64 R.E. A 1325 Bosenberg Beckumer-S. I. balt. ellipticus 64 R.E. A 1329 Hoetmar Beckumer-S. I. balt. haldemensis T. 18, F. 5 55.4 48 65.9 0.8 64 R.E. A 1329 Hoetmar Beckumer-S. I. balt. haldemensis T. 18, F. 5 55.4 48 65.9 0.8 64 R.E. A 1398 Tutenbrock Beckumer-S. I. balt. haldemensis T. 18, F. 3 7 10 10 10 10 10 10 10 10 10 10 10 10 10	
45 RE: A 1352 Bosenberg Beckumer-S. I. ball. haldemensis T. 18, F. 5 55.4 48 65.9 0.8 46 RE: A 1359 Hoetmar Beckumer-S. I. ball. haldemensis T. 18, F. 3 7.1 48 RE: A 1398 Tutenbrock Beckumer-S. I. ball. haldemensis T. 18, F. 3 70.4 59.4 44.6 77 40 6 135 0.8 49 RE: A 1398 Tutenbrock Beckumer-S. I. ball. marcki T. 18, F. 4 70.4 59.4 44.6 77 40 6 135 125 0.8 50 RE: A 1417 "Anna" Beckumer-S. I. ball. marcki T. 17, F. 4 82 71.3 51.4 89.4 45 6 135 125 0.8 50 RE: A 1417 "Anna" Beckumer-S. I. ball. marcki R. 18, F. 1 70.4 59.4 44.6 77 40 6 135 125 0.8 51 RE: A 1566 Ruhr & Co Beckumer-S. I. ball. marcki R. 19, F.	_
46 RE: A 1359 Hoetmar Beckumer-S. I. balt. haldemensis T. 18, F. 5 55.4 48 65.9	0.54
47 RE: A 1361 Tutenbrock Beckumer-S. I. balt. marcki T. 18, F. 3 T. 18, F. 3 Tutenbrock Beckumer-S. I. balt. marcki T. 18, F. 4 70.4 59.4 44.6 77 40 6 135 0.8	7
48 RE: A 1398 Tutenbrock Beckumer-S. I. balt. marcki T. 18, F. 4 70.4 59.4 44.6 77 40 6 135 0.8 49 RE: A 1415 Tutenbrock Beckumer-S. I. balt. marcki T. 17, F. 4 82 71.3 51.4 89.4 45 6 135 125 0.8 50 RE: A 1566 Ruhr & Co Beckumer-S. I. balt. marcki 80 73 445 0.9 51 RE: A 1566 Ruhr & Co Beckumer-S. I. balticus pteroides 52 RE: A 1588 Tutenbrock Beckumer-S. I. balticus pteroides 53 RE: A 1607 Tutenbrock Beckumer-S. I. balticus pteroides 54 RE: A 1607 Tutenbrock Beckumer-S. I. balticus pteroides 55 RE: A 1609 "Anna" Beckumer-S. I. balticus pteroides 56 RE: A 1622 Tutenbrock Beckumer-S. I. balticus pteroides 57 RE: A 1624 Gruenberg Beckumer-S. I. balticus pteroides 58 RE: A 1625 Ruhr & Co Beckumer-S. I. balticus pteroides 59 RE: A 1661 Kreuzberg Vorhelmer-S. I. balticus pteroides 60 RE: A 1668 Tutenbrock Beckumer-S. I. balticus pteroides 61 RE: A 1678 Tutenbrock Beckumer-S. I. balticus pteroides 62 RE: A 1678 Tutenbrock Beckumer-S. I. balticus pteroides 63 RE: A 1668 Tutenbrock Beckumer-S. I. balticus pteroides 64 RE: A 1678 Tutenbrock Beckumer-S. I. balticus pteroides 65 RE: A 1668 Tutenbrock Beckumer-S. I. balticus pteroides 66 RE: A 1678 Tutenbrock Beckumer-S. I. balticus pteroides 67 RE: A 1678 Tutenbrock Beckumer-S. I. planus 68 RE: A 1678 Tutenbrock Beckumer-S. I. planus 69 RE: A 1678 Tutenbrock Beckumer-S. I. planus 60 RE: A 1678 Tutenbrock Beckumer-S. I. planus 61 RE: A 1678 Tutenbrock Beckumer-S. I. planus 62 Tutenbrock Beckumer-S. I. planus 63 Tutenbrock Beckumer-S. I. planus 64 Tutenbrock Beckumer-	1
49 RE: A 1415 Tutenbrock Beckumer-S. I. balt. marcki T. 17, F. 4 82 71.3 51.4 89.4 45 6 135 125 0.8 50 RE: A 1417 "Anna" Beckumer-S. I. balt. marcki 80 73 45 6 0.9 51 RE: A 1566 Ruhr & Co Beckumer-S. I. balticus pteroides 64 51 39 42 5 0.9 52 RE: A 1588 Tutenbrock Beckumer-S. I. balticus pteroides 73 RE: A 1585 Tutenbrock Beckumer-S. I. balticus pteroides 74 RE: A 1607 Tutenbrock Beckumer-S. I. balticus pteroides 75 RE: A 1609 "Anna" Beckumer-S. I. balticus pteroides 75 RE: A 1609 "Anna" Beckumer-S. I. balticus pteroides 75 RE: A 1622 Tutenbrock Beckumer-S. I. balticus pteroides 75 RE: A 1624 Gruenberg Beckumer-S. I. balticus pteroides 75 RE: A 1624 Gruenberg Beckumer-S. I. balticus pteroides 75 RE: A 1625 Ruhr & Co Beckumer-S. I. balticus pteroides 75 RE: A 1621 Ruhr & Co Beckumer-S. I. balticus pteroides 75 RE: A 1624 Gruenberg Beckumer-S. I. balticus pteroides 75 RE: A 1631 Ruhr & Co Beckumer-S. I. balticus pteroides 75 RE: A 1631 Ruhr & Co Beckumer-S. I. balticus pteroides 75 RE: A 1631 Ruhr & Co Beckumer-S. I. balticus pteroides 75 RE: A 1631 Ruhr & Co Beckumer-S. I. balticus pteroides 75 RE: A 1631 Ruhr & Co Beckumer-S. I. balticus pteroides 75 RE: A 1631 Ruhr & Co Beckumer-S. I. balticus pteroides 75 RE: A 1631 Ruhr & Co Beckumer-S. I. balticus pteroides 75 RE: A 1631 Ruhr & Co Beckumer-S. I. balticus pteroides 75 RE: A 1631 Ruhr & Co Beckumer-S. I. balticus pteroides 75 Ruhr & Co Beckumer-S. I. balticus	4 0.6
So RE: A 1417 "Anna" Beckumer-S. I. balt: marcki 80 73 45 0.9	_
S1 RE. A 1566	
S2 RE: A 1588 Tutenbrock Beckumer-S. I. balticus pteroides S3 RE: A 1595 Tutenbrock Beckumer-S. I. balticus pteroides S4 RE: A 1607 Tutenbrock Beckumer-S. I. balticus pteroides S5 RE: A 1607 Anna* Beckumer-S. I. balticus pteroides S6 S5	8
S4 RE: A 1607 Tutenbrock Beckumer-S. I. ballicus pieroides 65 55 45 68 47 0.8	
Signature Sign	
Second S	_
S7 RE: A 1624 Gruenberg Beckumer-S. I. balticus pteroides Cf.	
S8 RE: A 1625 Ruhr & Co Beckumer-S. I. balticus pieroides	4 0.62
S9 RE: A 1661 Kreuzberg Vorhelmer-S. I. balt. tenuicostatus	+
60 RE: A 1668 Tutenbrock Beckumer-S. I. planus 61 RE: A 1678 Tutenbrock Beckumer-S. I. regularis T. 15, F. 5 80 H/L Verhältnis bei Cataceramus beckumensis (GIERS) 80 S/L Verhältnis bei Cataceramus beckumensis (GIERS)	+
61 RE: A 1678 Tutenbrock Beckumer-S. I. regularis T. 15, F. 5 80 H/L Verhältnis bei Cataceramus beckumensis (GIERS) 70 60 50 40 50 80 100 8 30 20 40 60 80 100	+
H/L Verhältnis bei Cataceramus beckumensis (GIERS) 70 60 H 40 30 20 10 0 20 40 60 80 100 0 20 40 60 80 100	+
80	
80 50 H 40 30 20 10 0 20 40 60 80 100	1
60 50 H 40 30 20 10 0 20 40 60 80 100	
S 30 20 10 0 20 40 60 80 100 0 20 40 60 80 100	
S 30 20 10 0 20 40 60 80 100 0 20 40 60 80 100	
20 10 0 20 40 60 80 100	
20 10 10 0 20 40 60 80 100	L
20 10 10 0 20 40 60 80 100	L
10 10 10 10 10 10 10 10 10 10 10 10 10 1	L
0 20 40 60 80 100	
0 20 40 60 80 100 0 20 40 60 80 100	L
0 20 40 60 80 100 0 20 40 60 80 100	-
0 20 40 60 60 100	-
	-
	_ -

Abb. 8: Bemerkungen, Messungen und einfache Verhältnisse der Exemplare von Cataceramus beckumensis (GIERS).

V o r k o m m e n : Begrenzung von *C. beckumensis* (GIERS) fast ausschließlich auf das unterste Ober-Campan (conica/mucronata-Zone). Das untersuchte Material enthielt nur zwei Stücke (davon ein Stück mit offener Nomenklatur aus der stobaei/basiplana-Zone). Für die Funde der Art aus dem Kaukasus fehlen genaue feinstratigraphische Angaben. Die grobe Bezeichnung Unter-Campan kann im westeuropäischen Sinne auch das tiefere Ober-Campan beinhalten. Die Exemplare aus der *Nostoceras hyatti-*Zone von Tercis (Südfrankreich) - DHONDT (1993) gehören vermutlich einer anderen Art an. Das gilt ebenfalls für die von SEITZ (1967) zu *C. beckumensis* (GIERS) gerechneten Fornen.

Cataceramus dariensis (DOBROV & PAVLOVA, 1959)

Taf. 1, Fig. 3-4; Taf. 13; Taf. 14, Fig. 1-3, 5

- 1959 Inoceramus dariensis sp. nov.; DOBROV & PAVLOVA, S. 153, Taf. 14, Fig. 2.
- ? 1965 Inoceramus dariensis PAVL. subsp. copetdagensis ARZUMANOVA subsp. n.; ARZUMANOVA, S. 102, Taf. 1, Fig. 1.
 - 1965 Inoceramus atabekjani sp. nov.; ARZUMANOVA, S. 108, Taf. 4, Fig. 1.
- ? 1965 Inoceramus balticus subsp. raricostata subsp. n.; ARZUMANOVA, S. 109, Taf. 4, Fig. 2-3.
 - 1969 Inoceramus dariensis MOSKVIN; KHALAFOVA, S. 190, Taf. 18, Fig. 2-4.
- non 1974 Inoceramus dariensis DOBROV & PAVLOVA; KOTSUBINSKY & SAVTCHINSKA, S. 82, Taf. 19, Fig. 3.
- non 1981 Inoceramus (Inoceramus) dariensis DOBROV & PAVLOVA; TZANKOV, S. 86, Taf. 31, Fig. 2-3, Taf. 32, Fig. 3.

Holotypus: Exemplar No.1549/1 bei DOBROV & PAVLOVA (1959, Taf. 14, Fig. 2). Das Stück ist in den Sammlungen der Staatlichen Universität in Moskau (Rußland) hinterlegt.

Stratum typicum: Unteres Campan

Locus typicus: Daria-Profil (N-Kaukasus).

M a t e r i a I : Eine Übersicht über das Material einschließlich der durchgeführten Messungen ist auf Abb. 9 gegeben.

Beschreibung: Mittelgroß, ungleichseitig, ?gleichklappig mit einem subquadratischen Umriß. Wirbel mäßig bis stark gewölbt, größte Wölbung im dorsalen Teil. Hinterflügel im allgemeinen gut von der übrigen Schale abgesetzt, ohne Flügelfurche. Vorderrand lang, langestreckt konvex, steil zur Medianebene abfal-

ID	Exemplar	Lokalität	Stratigr.	Giers'	Name	Abb	ildung	L	H	S	Al	δ	D	γ	α	H/L	S/AI
1	RE: A 1284	"Anna"	Beckumer-S.	I. balt.	beckumensis												
2	RE: A 1311	Tutenbrock	Beckumer-S.	I. balt.	beckumensis			65	70.5	42	77	50				1.08	0.55
3	RE: A 1311/1	Tutenbrock	Beckumer-S.	I. balt.	beckumensis	T. 14	, F. 3										
4	RE: A 1395	Tutenbrock	Beckumer-S.	I. balt.	marcki												
5	RE: A 1571	Tutenbrock	Beckumer-S.	I. balt.	pteroides			56	45	35	56	48				0.8	0.62
6	RE: A 1586	Bosenberg	Beckumer-S.	I. balt.	pteroides							50					
7	RE: A 1600/1	Ruhr & Co	Beckumer-S.	I. balt.	pteroides			72	60	50	77	45	5	135		0.83	0.65
8	RE: A 1611	Tutenbrock	Beckumer-S.	I. balt.	pteroides	T. 14	l, F. 1										
9	RE: A 1616	"Anna"	Beckumer-S.		pteroides	T. 14	I, F. 2	84.7	64.5	52	84.5	45	_ 4			0.76	0.61
10	RE: A 1620	"Heessen"	Beckumer-S.	I. balt.	pteroides												
11	RE: A 1621	Tutenbrock	Beckumer-S.	I. balt.	pteroides			90.5	83	62	94.5	50			110	0.92	0.65
12	RE: A 1623	Tutenbrock	Beckumer-S.		pteroides		3, F. 4	72.5	66	43	78	49	3	137	98	0.91	0.55
13	RE: A 1627	Tutenbrock	Beckumer-S.	I. balt.	pteroides	T. 13	, F. 3										
	90 T 80 70 - 60 - 50 4 40 30 20 -	· PA	AVLOVA)	•			70 - 60 - 50 - 40 - 5 30 - 20 - 10 - 60 - 60 - 60 - 60 - 60 - 60 - 6				PAVI	.OVA)	•	•	•		
	0 2	0 40	L 60 8	0	100		0	2	20	40	AL	60		80	10	0	-

Abb. 9: Bemerkungen, Messungen und einfache Verhältnisse der Exemplare von Cataceramus dariensis (DOBROV & PAVLOVA).

lend. Vorderrand geht kontinuierlich in den Ventral- sowie Hinterrand über. Wirbel breit, überragt den Schloßrand.Wachstumsachse gerade bzw. leicht zum Vorderrand gebogen. Delta: 45-50°. Die Skulptur besteht aus unregelmäßigen konzentrisch verlaufenden, weit voneinander entfernten Rippen. 4 Rippen auf 20-50 mm Achsenlänge. Deutlich entwickelt sind die Rippen im Vorderteil der Klappen. Im Zentralteil der Klappen oder auch auf dem Hinterflügel sind sie undeutlich oder fehlen überhaupt. In den Zwischenräumen der Rippen befinden sich unregelmäßige konzentrische asymmetrische Anwachsringe. Anwachslinien wurden bei gut erhaltenen Exemplaren beobachtet.

Diskussion: Die hier untersuchten Exemplare entsprechen sehr gut dem Holotypus der Art. Das ist auch erkennbar, obwohl der Holotypus schlecht erhalten ist. Ein Synonym zu C. dariensis (DOBROV & PAVLOVA) ist Inoceramus atabekiani (ARZUMANOVA, 1965) aus dem Unter-Campan des Kopet Dag. Der Vergleich mit dem kaukasischen Material gestaltet sich auf Grund der schlechten Erhaltung des Holotypus etwas schwierig. In Bezug auf den Wirbel-Charakter, den Charakter des Hinterflügels und die Skulptur bestehen bei dem von ARZUMANOVA abgebildete Exemplar Übereinstimmungen mit dem westfälischen Material z.B. Exemplar RE A 1385 (GIERS, Taf.13, Fig. 5). Die hier mitgeteilte Variationsbreite von C. dariensis (DOBROV & PAVLOVA) bedingt auch eine Eingliederung von I. balticus var. raricostatus ARZUMANOVA (1965) in diese Art. Das trifft auch auf zwei unbenannte Formen bei ARZUMANOVA (1965) zu. Inoceramus balticus var. raricostatus ARZUMANOVA hat eine Stellung zwischen C. dariensis (DOBROV & PAVLOVA) und C. beckumensis (GIERS) tendiert aber mehr zu C. dariensis (DOBROV & PAVLOVA). Das bei ARZUMANOVA (1965, Taf. 1, Fig. 1) abgebildete relativ große Exemplar von Inoceramus dariensis copetdagensis (ARZUMA-NOVA) ähnelt großen Exemplaren von C. dariensis (DOBROV & PAVLOVA). Allerdings spricht der Charakter des Hinterflügels, des Vorderrandes und der Skulptur hier für eine selbständige Form (siehe auch das hier abgebildete Exemplar - Taf. 1, Fig. 3-4). Es handelt sich um ein Glied der phyletischen/?phylogenetischen Reihe: C. copetdagensis - C. dariensis - C. beckumensis - C. vorhelmensis. Es tritt in der Reihe die folgende Merkmalsentwicklung auf: Größenabnahme und Zunahme der Engständigkeit und Regelmäßigkeit der konzentrischen Rippe.

V o r k o m m e n : Ob. Unter-Campan und unterstes Ober-Campan von Europa und möglicherweise auch von Nordamerika (KAUFFMAN et al.1993).

Cataceramus marcki (GIERS, 1964)

Taf. 3, Fig. 1; Taf. 4-5; Taf. 6, Fig. 1-5; Taf. 7, Fig. 1, 3, 5; Taf. 8

```
part 1909
            Inoceramus balticus nov. sp.; BÖHM, S. 47, Taf. 12, Fig. 1.
            Inoceramus balticus marcki n. subsp.; GIERS, S. 239, Taf. 1, Fig. 5.
     1964
?
     1967
            Inoceramus balticus cf. marcki GIERS; SEITZ, S. 72, Taf. 9, Fig. 1-3.
           Inoceramus balticus BÖHM; TRÖGER, S. 7, Taf. 1, Fig. 1.
part 1968
            Inoceramus (Endocostea) balticus marcki GIERS; LUPU & SORNAY, S. 75, Taf. 1, Fig. 2.
?
     1978
?
           Inoceramus balticus cf. marcki GIERS; ATABEKIAN, S. 58, Taf. 4, Fig. 5.
     1979
            Inoceramus (Endocostea) balticus cf. marcki GIERS; LOPEZ, S. 75, Taf. 8, Fig. 1.
non 1986
```

Holotypus: Original zu Taf. 12, Fig. 1 bei BÖHM (1909). Neu abgebildet durch GIERS (1964, Taf. 1, Fig. 5) und TRÖGER (1968, Taf. 12, Fig. 1). Hinterlegt in den Sammlungen der Bundesanstalt für Geologie und Rohstoffe, Berlin.

Locus typicus: Dülmen (Westfalen).

Stratum typicum: Dülmener Schichten, unteres Unter-Campan, granulataquadrata-lingua/quadrata-Zonen (nach KENNEDY & KAPLAN 1995).

M at erial: Umfang und Meßwerte sind auf Abb. 10 dargestellt.

B e s c h r e i b u n g : Groß bis mittelgroß. Gleichklappig, ungleichseitig. 2 unterscheidbare Abschnitte mit verschiedenen Skulpturen. Vorderrand gerundet, konvex, geht deutlich in den konvexen Hinterrand über. Hinterrand abgerundet und deutlich nach hinten gebogen. Schloßrand gerade und relativ lang. Wirbel klein, nur wenig über den Schloßrand ragend. Hinterflügel sub-dreieckig, und nur im Jugendstadium deutlich von der übrigen Schale abgesetzt. Wachstumsachse in Richtung zum Vorderrand konvex gebogen. Delta: 40-50° Jugendstadium), 25° (Altersabschnitt). Ein deutlicher Wachstumsknick fehlt. Die Skulptur besteht aus konzentrischen Anwachsschnittreifen. Die Abstände zwischen den Rippen sind flachbogig ausgebildet und deutlich breiter als die Rippen selbst. Der Altersabschnitt ist glatt bzw. trägt schwache irregulär konzentrische Rippen.

ID	Exemplar	Lokalität	Stratigr.	Giers' Name	Abb.	L	Н	S	Al	δ	D	γ	α	H/L	S/AI
1	RE: A 1203/2	Tutenbrock	Beckumer-S.	E. impressa	T. 8. F. 1	118	104	60	131					0.88	0.46
2	RE: A 1362	Tutenbrock	Beckumer-S.	I. balticus marcki											
3	RE: A 1364	Tutenbrock	Beckumer-S.	I. balticus marcki		81	64.7	45.7	77.5	47	5	130	128	0.8	0.59
4	RE: A 1366	Ruhr & Co.	Beckumer-S.	I. balticus marcki											
5	RE: A 1367	Tutenbrock	Beckumer-S.	I. balt. marcki	T. 6, F. 3	69	61	45	70	45	5	133	120	0.88	0.64
6	RE: A 1368	"Anna"	Beckumer-S.	I. balticus marcki		55	50	33		50				0.9	
7	RE: A 1369	Tutenbrock	Beckumer-S.	I. balticus marcki	T. 6, F. 6	86	77	53	90.3	45	5		130	0.89	0.58
. 8	RE: A 1370	"Anna"	Beckumer-S.	I. balticus marcki	T. 6, F. 1	65	59.2	38.4	68	48	5	130	130	0.91	0.55
9	RE: A 1371	Tutenbrock	Beckumer-S.	I. balticus marcki		74	70	50		47				0.94	
10	RE: A 1378	Tutenbrock	Beckumer-S.	I. balticus marcki	T. 8, F. 2	82	55	45	74	38				0.67	0.6
11	RE: A 1379	Tutenbrock	Beckumer-S.	I. balticus marcki											
12	RE: A 1382	Schlenkhoff	Beckumer-S.	I. balt. marcki	T. 7, F. 1	89	73,5	50	88	41	5	133	120	0.83	0.57
13	RE: A 1383	Bosenberg	Vorhelmer-S.	I. balticus marcki	T. 4, F. 1	87	67.8	51	81.4	44	5	140	115	0.78	0.63
14	RE: A 1390	Kreuzberg	Vorhelmer-S.	I. balticus marcki											
15	RE: A 1396	Tutenbrock	Beckumer-S.	I. balt. marcki	T. 4, F. 2	83	63.4	48.6	78.5	45	5	135	123	0.76	0.62
16	RE: A 1399	Tutenbrock	Beckumer-S.	I. balt. marcki	T. 7, F. 3	77	68	47	78	43	5	133		0.88	0.6
17	RE: A 1401	Tutenbrock	Beckumer-S.	I. balt. marcki	T. 7, F. 5	76	62	45	70	42	4	135	120	0.82	0.64
18	RE: A 1405	Kreuzberg	Vorhelmer-S.	I. balticus marcki											
19	RE: A 1412	Tutenbrock	Beckumer-S.	I. balticus marcki	T. 5, F. 1										
20	RE: A 1577	Bosenberg	Vorhelmer-S.	I. balt. pteroides		69	57	40	69	45	4			0.83	0.58
21	RE: A 1597	Kreuzberg	Vorhelmer-S.	I. balt. pteroides											
22	RE: A 1619	"Аппа"	Beckumer-S.	I. balt. pteroides	T. 8, F. 3										
23	RE: A 1666	Muehlenbruch	Stromberger-S.	I. planus Munst.	T. 5, F. 2										
	120 H/L V	erhältnis bei Ca	taceramus march	ii (GIERS)			S/A	l Verh		bei <i>Ca</i> GIER		mus n	arcki		
	80 -			•		60 T			•		•	•	•		
_ H	60 -	•			s	30 -			•	•					
	20					10									
	0 20	40 60	80 100	120		0			50	ΑI	100		15	0	

Abb. 10: Bemerkungen, Messungen und einfache Verhältnisse der Exemplare von Cataceramus marcki (GIERS).

D i s k u s s i o n : Die obige Beschreibung entspricht der durch GIERS (1964) gegebenen Original-Beschreibung. Ein großer Teil der in dieser Arbeit angeführten Exemplare (Abb. 8) lagen auch GIERS vor. Es handelt sich bei diesen Formen um große bis mittelgroße Inoceramen von mäßiger Wölbung im Jugendabschnitt. Die Skulptur ist regulär und kräftig. Gewisse Probleme bestehen beim Vergleich mit dem Holotypus, der in Berlin hinterlegt ist ("Berliner Exemplar"). Hier ist der Jugendabschnitt noch stärker gewölbt und der untere Vorderrand ist mehr nach hinten verlängert. Die westfälischen Exemplare der Sammlung Giers aber auch die Exemplare von Lägerdorf sind weniger gewölbt und besitzen einen regelmäßigen Vorderrand. Hier kann allerdings auch eine unterschiedliche Deformation (Plättung) eine Rolle spielen.

C. marcki (GIERS) ist ein Vorläufer zu C. pteroides (GIERS). Übergangsformen (siehe Taf. 9, Fig. 1 und 4-5) treten auf. Im Vergleich zu den typischen Exemplaren von C. marcki (GIERS) sind diese Übergangsformen durch einen stärker gewölbten und nach vorn ragenden Jugendabschnitt gekennzeichnet. Außerdem tritt die sonst für den Jugendabschnitt typische Skulptur nur sehr untergeordnet auf. Bei C. pteroides (GIERS) ist der Verlauf der Wachstumsachse außerdem etwas schiefer als bei C. marcki (GIERS).

V o r k o m m e n: Unteres Unter-Campan (*granulatataquadrata* bis *lingua/quadrata*-Zone, siehe auch KAPLAN & KENNEDY 1995). *C. marcki* (GIERS) tritt gelegentlich noch bis in das untere Ober-Campan auf. Verschiedene anders bestimmte Inoceramen aus dem Mittel-Campan von Madagaskar sind u.U. hier einzuordnen.

Cataceramus pteroides (GIERS, 1964)

Taf. 9, Fig. 1, 4-5; Taf. 10, Fig. 1-5)

1932 Cataceramus haldemensis n. sp.; HEINZ, S. 15.

1964 Inoceramus balticus pteroides n. subsp.; GIERS, S. 240, Taf. 1, Fig. 6.

1976 Inoceramus balticus pteroides GIERS; SORNAY, S. 6, Taf. 3, Fig. 1-2.

non 1986 Inoceramus (Endocostea) ?pteroides pterioides (sic) GIERS; LOPEZ, S. 80, Taf. 8, Fig. 2.

non 1986 Inoceramus (Endocostea) ? cf. pterioides (sic) GIERS; LOPEZ, S. 81, Taf. 8, Fig. 3.

non 1991 Inoceramus (Endocostea) balticus pteroides GIERS; TRÖGER & RÖHLICH, S. 1365, Taf. 1, Fig. 7.

Holotypus: Exemplar No. Kr 1025 abgebildet durch GIERS (1964, Taf. 1, Fig. 6). Das Stück ist im Niedersächsischen Landesamt für Bodenforschung in Hannover hinterlegt.

Locus typicus: Haldem (Westfalen)

?

Stratum typicum: Haldemer Schichten, B. polyplocum-Zone des Ober-Campan

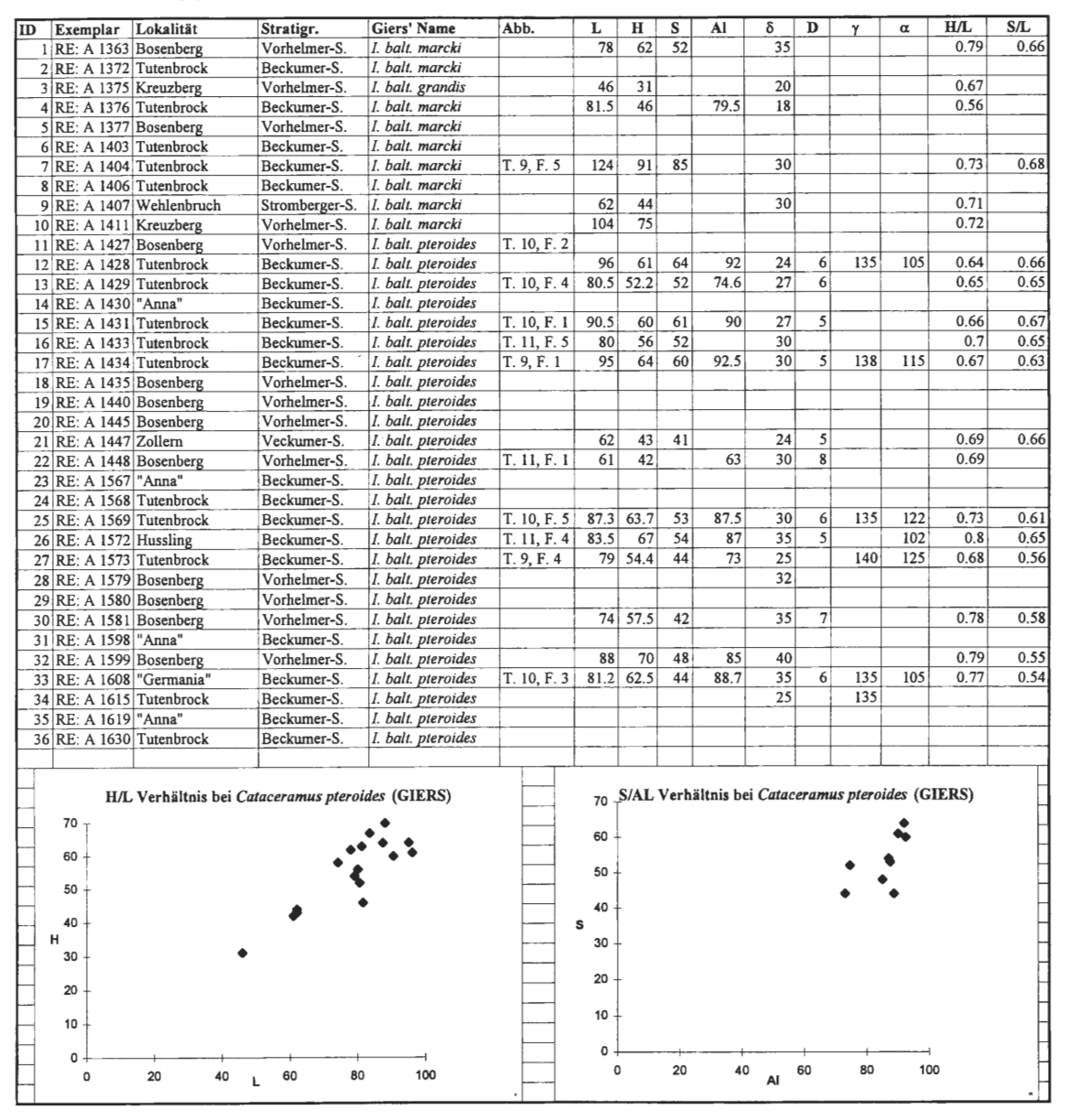


Abb. 11: Bemerkungen, Messungen und einfache Verhältnisse der Exemplare von Cataceramus pteroides (GIERS).

M a t e r i a l : Eine Übersicht über die Zahl der untersuchten Exemplare und die erzielten Meß-Werte gibt Abb. 11.

B e s c h r e i b u n g : Mittelgroß bis groß. Ungleichseitig, gleichklappig. Wirbel spitz zulaufend, ragt weit über den Schloßrand. Vorderrand und vordere Teile des Unterrandes eng gerundet. Ventralrand lang und leicht konvex, geht kontinuierlich in den gerundeten Hinterrand über. Schloßrand gerade und lang. Seine Länge beträgt 60 bis 70% der dazu gehörenden Achsenlänge. Wachstumsachse gerade bis leicht zum Vorderrand gekrümmt. Delta etwa 30°. Hinterflügel im Jugendstadium deutlich von der übrigen Schale abgesetzt; im Altersabschnitt keine deutliche Abgrenzung. Umriß balticus - ähnlich. Zwischen dem Jugendabschnitt und dem Altersabschnitt treten Veränderungen der Skulpturen auf, die nicht mit Wachstumsknicken in Verbindung stehen.

Im Jugendabschnitt besteht die Skultur aus subregulären eng stehenden Anwachsringen, die am Hinterflügel nur sehr schwach ausgebildet sind. Der Altersabschnitt ist durch irreguläre, flache und weit voneinander entfernte Undulationen gekennzeichnet. Fast glatte Abschnitte, mit auf dem Steinkern schlecht sichtbaren Anwachslinien, treten auf.

D i s k u s s i o n : Unvollständige Exemplare (ohne Altersstadium) mit hohen Delta-Werten sind sehr schwer von *C. beckumensis* (GIERS) zu unterscheiden. Das betrifft u.a. auch deformierte Exemplare von *C. marcki* (GIERS) oder *C. balticus* (BÖHM). Übergangsformen verbinden *C. marcki* (GIERS) mit *C. pteroides* (GIERS).

Der Holotyp von GIERS war von HEINZ (in sched, siehe auch HEINZ 1932) als Holotyp für seine Art Cataceramus haldemensis n. sp. ausgewählt. Da eine genauere Beschreibung in allen Arbeiten von HEINZ fehlt, handelt es sich um ein nomen nudum. Damit war der Artname "haldemensis" weiter verfügbar.

Die Exemplare aus dem Ober-Campan von Spanien, die LOPEZ (1986) zu *C. pteroides* gestellt hat, unterscheiden sich von den typischen Vertretern durch andere Skulpturen und Umrisse vor allem des Jugendabschnittes. Sie sollten zu einer anderen Art gestellt werden. Abweichend ist auch ein Exemplar aus dem Ober-Campan von Libyen, das von TRÖGER & RÖHLICH (1991) beschrieben wurde. Das genannte Exemplar hat Wachstumsknicke, die in der Form denen gleichen, die bei *I. bosenbergensis* n. sp. oder auch *I.* aff. borilensis JOLKIČEV beobachtet wurden. Letzterer ist durch zwei Wachstumsknicke gekennzeichnet. Dabei liegen Jugend- und Altersabschnitt in der gleichen Ebene. Sehr ähnlich im Vergleich zu *C. pteroides* (GIERS) sind auch zwei Exemplare, die SORNAY (1976, Taf. 3, Fig. 1-2) aus dem obersten Campan von Dau (SW-Frankreich) beschrieben hat. Aber auch diese Exemplare unterscheiden sich vom Originalmaterial durch scharfeckige Anwachskämme (bei den westfälischen Exemplaren deutlich gerundet) und durch höhere Delta-Werte. Zusammenfassend kann gesagt werden, daß gerade im Ober-Campan viele Formen auftreten, die besonders im Hinblick auf die Wirbel-Ausbildung *C. pteroides* ähnlich sind. Diese Formen wie z.B. *Inoceramus convexus* MEEK, *Inoceramus tauricus* DOBROV & PAVLOVA oder auch *Inoceramus inkermanensis* DOBROV & PAVLOVA sind nur ungenügend bekannt auch im Hinblick auf mögliche genetische Beziehungen zu *Cataceramus pteroides* (GIERS).

V o r k o m m e n: Holotypus: polyplocum-Zone des Ober-Campan. Weitere Belegstücke aus dem untersten Ober-Campan (conica/mucronata und stobaei/basiplana-Zone) von SO-Westfalen. Die Angaben über das Vorkommen von Cataceramus pteroides (GIERS) aus dem obersten Campan von N-Spanien oder auch SW Frankreich können hier nicht bestätigt werden.

Cataceramus sornayi (DHONDT, 1993) Taf. 32, Fig. 1-3

1847	Inoceramus regularis d'ORBIGNY; d'ORBIGNY, S. 516, Pl. 410, Fig. 1-2.
non 1912	Inoceramus regularis d'ORBIGNY; PERVINQUIÈRE, S. 117, Taf. 8, Fig. 3-9.
non 1939	Inoceramus regularis d'ORBIGNY; ALIEV, S. 222, Taf. 1, Fig. 3-4; Taf. 2, Fig. 3, Pl. 3, Fig. 1.
?part 1958	Inoceramus regularis d'ORBIGNY; KOTSUBINSKY, S. 19, Taf. 9, Fig. 34, ?35.
1958	Inoceramus impressus d'ORBIGNY; KOTSUBINSKY, S. 20, Taf. 9, Fig. 36
1958	Inoceramus balticus BÖHM; KOTSUBINSKY, S. 20, Taf. 8, Fig. 33.
1962	Inoceramus regularis d'ORBIGNY; SORNAY, S. 120, Abb. 1C, Taf. 7, Fig. 3.
part 1962	Inoceramus regularis d'ORBIGNY; JOLKIČEV, S. 137, Taf. 3, Fig. 2 (non Taf. 3, Fig. 1).
part 1964	Inoceramus cf. regularis d'ORBIGNY; GIERS, S. 247, Taf. 3, Fig. 3-4.
?part 1968	Inoceramus regularis d'ORBIGNY; KOTSUBINSKY, S. 143, Taf. 29, Fig. 1, ?2.

```
Inoceramus impressus d'ORBIGNY; KOTSUBINSKY, S. 144, Taf. 28, Fig. 1 (non Taf. 29, Fig. 4-5).
part 1968
            Inoceramus regularis regularis d'ORBIGNY; KHALAFOVA, S. 223, Taf. 26, Fig. 1-2.
     1969
     1974
            Inoceramus impressus d'ORBIGNY; KOTSUBINSKY & SAVTCHINSKA, s 84, Taf. 21, Fig. 1.
            Inoceramus regularis d'ORBIGNY; SORNAY, S. 7, Taf. 2, Fig. 3, Taf. 3, Fig. 3-4.
     1976
non 1978b Inoceramus regularis d'ORBIGNY; NODA & KANIE, S. 65, Taf. 2, Fig. 3, Taf. 7, Fig. 1.
non 1979
            Inoceramus regularis d'ORBIGNY; IVANNIKOV, S. 71, Taf. 22, Fig. 2-3.
            Inoceramus regularis d'ORBIGNY; TZANKOV, S. 94; Taf. 36, Fig. 1-2.
     1981
            Inoceramus regularis d'ORBIGNY; MASSLENNIKOVA, S. 80, Taf. 9, Fig. 2.
?non 1982
     1991
            Inoceramus regularis d'ORBIGNY; TRÖGER & RÖHLICH, S. 1372, Taf. 2, Fig. 7.
     1993
            Selenoceramus sornayi nomen novum; DHONDT, S. 236, Taf. 6, Fig. 3; Taf. 7, Fig. 2, 5).
```

L e c t o t y p u s: Durch SORNAY (1962) wurde aus der Sammlung von d'ORBIGNY der Lectotyp ausgewählt (= No. R 6788, hinterlegt im Museum d'Histoire Naturelle Paris). Nach SHERBORNE (in DHON-DT 1993) war der Name *I. regularis* bereits vergeben, als er von d'ORBIGNY (1847) genutzt wurde. DHONDT hat demzufolge für das von d'ORBIGNY als *I. regularis* bestimmte Stück den Namen *Selenoceramus sornayi* nom. nov. vorgeschlagen.

Locus typicus: Royan (Charante Maritime, Frankreich).

Stratum typicum: Sénonien supérieur" was oberem Campan als auch unterem Maastricht entsprechen kann.

B e m e r k u n g e n : Eine genauere Beschreibung und eine Diskussion der Art ist aus SORNAY (1962, 1976) und DHONDT (1993) zu entnehmen. GIERS stellte nur ein einzelnes Exemplar zu der genannten Art (unvollständiger Steinkern). Trotz des fehlenden Hinterflügels kann das Exemplar (siehe Taf. 15, Fig. 5) zu Cataceramus beckumensis (GIERS) gestellt werden. Alle anderen Exemplare, die im Text von GIERS (1964) vermerkt sind, stellte er zu Inoceramus cf. regularis d'ORBIGNY. Das nicht abgebildete Exemplar RE A 1677 ist ein unvollständig erhaltener Steinkern einer linken Klappe, dem große Teile des Wirbel fehlen. Es ist unbestimmbar. Die zwei anderen von GIERS abgebildeten Exemplare (No. RE A 1675 und RE A 1676) (Taf. 7, Fig. 4 und 6) gleichen mehr dem Inoceramus planus MÜNSTER (siehe auch Diskussion bei der Beschreibung). Es ist folglich nicht möglich eines der Exemplare aus der Sammlung GIERS oder auch von Lägerdorf mit der von d'ORBIGNY abgebildeten Form zu vergleichen. Vergleichbar mit C. sornayi (DHONDT) (= Inoceramus regularis d'ORBIGNY) und vermutlich auch konspezifisch sind einige Inoceramen, die von SOR-NAY zu Inoceramus artigesi SORNAY gestellt wurden. Das betrifft besonders ein Exemplar von Dau (SOR-NAY 1976, Taf. 1, Fig. 1). Daneben handelt es sich um einige von SORNAY nicht abgebildete Stücke (in dieser Arbeit Taf. 32, Fig. 4-5) in den Sammlungen des Museums des Institut d'Histoire Naturelle, die von SORNAY ebenfalls zu Inoceramus artigesi SORNAY gezählt wurden. Ein weiteres Stück aus der polyplocum-Zone von Haldem (Westfalen), das in den Sammlungen des NLBF in Hannover hinterlegt ist, wurde von HEINZ (in sched.) zu I. regularis gezählt und später von SORNAY (1976) als Inoceramus artigesi angesprochen. Alle diese Exemplare unterscheiden sich vom Holotyp von Inoceramus artigesi SORNAY (SORNAY 1976, Taf. 1, Fig. 1). Der Typus ähnelt mehr der Art Inoceramus planus MÜNSTER oder Inoceramus ex gr. cycloides WEGNER.

Bemerkenswerte Übereinstimmungen bestehen zwischen Cataceramus sornayi (DHONDT) und den untercampanen Vertretern von Cataceramus balticus (BÖHM). Unterschiede bestehen nur in der Ausbildung des Vorderrandes und im Jugendabschnitt. Alle anderen Merkmale stimmen überein. Möglicherweise überschneiden sich die Variationsbreiten der Populationen beider Arten. Eine endgültige Entscheidung kann nicht getroffen werden, da beide Arten aus ganz unterschiedlichen stratigraphischen Niveaus stammen (C. balticus unteres Campan; C. sornayi -oberes Campan). Feinstratigraphische neue Aufsammlungen sind notwendig, um die Zusammenhänge zwischen beiden Formen zu prüfen und ihre stratigraphische Verwendbarkeit für die Campan-Gliederung zu eichen.

V o r k o m m e n : Ober-Campan. Das erste Auftreten liegt möglicherweise in der *B. polyplocum-*Zone. Europa. Weitere regionale Untersuchungen sind notwendig.

Cataceramus vorhelmensis sp. n. Taf. 19, Taf. 20, Fig. 5-6, ?7

Holotypus: Exemplar RE A 1419 (siehe Taf. 19, Fig. 4) aus der Sammlung GIERS, hinterlegt im Ruhrland Museum in Essen.

Paratypen: Die Exemplare RE A 1590 (Taf. 19, Fig. 1), RE A 1423 (Taf. 19, Fig. 2), RE A 1618 (Taf. 19, Fig. 3), RE A 1422 (Taf. 19, Fig. 5), RE A 1587 (Taf. 19, Fig. 6), RE A 1388 (Taf. 20, Fig. 5); alle im Ruhrland Museum der Stadt Essen hinterlgt.

Derivatio nominis: Lokalität Vorhelm in SE Westfalen.

Locus typicus: Bosenberg beim Vorhelm, Westfalen.

Stratum Typicum: Vorhelmer Schichten des unteren Ober-Campan (stobaei/basiplana-Zone). Lediglich das Exemplar RE A 1618 stammt aus den Beckumer Schichten.

Material: Bemerkungen, Messungen und einfache Verhältnisse über die hier untersuchten Exemplare sind in der Abb. 12 dargestellt.

B e s c h r e i b u n g : Mittelgroß, ungleichseitig, ?gleichklappig. Vorderrand lang und konvex, geht in den abgerundeten Ventralrand über. Im weiteren Verlauf Übergang in den geraden oder schwach konvexen Hinterrand. Schloßrand gerade, mittlere Länge. Wirbel spitz zulaufend und deutlich über den Schloßrand ragend. Klappen mäßig bis schwach gewölbt. Hinterflügel deutlich von der übrigen Schale abgesetzt. Die Skulptur besteht aus regelmäßigen eng stehenden Rippen. Charakter: Lamellat. Einige Exemplare zeigen eine schwache Furche im Bereich der Wachstumsachse (Taf. 19, Fig. 3 und 5; Taf. 20, Fig. 5 und 7). Diese Furche erinnert an Vertreter der Gruppe *I. tausiensis* ALIEV - *I. azerbaydjanensis* ALIEV. Größere Abstände treten bei den konzentrischen Rippen nur selten auf (siehe Taf. 12, Fig. 6).

ID	Exemplar	Lokalität	Stratigr.	Giers' Name	Abb.	L	Н	S	Al	δ	D	γ	α	H/L	S/A1
1	RE: A 1205	Bosenberg	Vorhelmer-S.	E. impressa								-			
	RE: A 1228/			I. balt. cf grandis											
	RE: A 1229/			I. balticus juvenile											
4	RE: A 1258	Bosenberg	Vorhelmer-S.	I. balticus balticus		63.4	51.3	30.4	68	43	6	120	135	0.8	0.45
	RE: A 1384	Bosenberg	Vorhelmer-S.	I. balticus marcki											
	RE: A 1388	Bosenberg	Vorhelmer-S.	I. balt. marcki	T. 20, F. 5	74	61	41	79	31	5	135		0.82	0.52
		Bosenberg	Vorhelmer-S.	I. balticus marcki	,										
		Bosenberg		I. balt. marcki											
	RE: A 1419	Bosenberg		I. balt. marcki	T. 19, F. 4	76.5	76	49	89	47	7	120		0.99	0.55
10	RE: A 1422	Bosenberg	Vorhelmer-S.	I. balt. marcki	T. 19, F. 5										
	RE: A 1423	Bosenberg	Vorhelmer-S.	I. balt. tenuicostatus	T. 19, F. 2										
	RE: A 1426	Bosenberg		I. balticus marcki											
		Bosenberg	Vorheimer-S.	I. balticus pteroides		50	45.	26	55	50	9			0.9	0.47
	RE: A 1442	Bosenberg		I. balt. pteroides	T. 20, F. 2										
		Bosenberg		I. balt. pteroides	T. 20, F. 7										
		Bosenberg		I. balticus pteroides	1 1	74	59	37		40			90	0.8	
	RE: A 1582	Bosenberg		I. balticus pteroides		61.2	59.3	28	73	45	5	135	115	0.97	0.38
	RE: A 1583			I. balticus pteroides		62	52	38	70	37	6			0.84	0.54
		Bosenberg		I. balt. pteroides	T. 19, F. 6	70	54	37.5	79	31	7	135	107	0.77	0.48
		Bosenberg		I. balt. pteroides	T. 19, F. 1										
		Bosenberg		I. balticus pteroides	,	63.5	41	39	65	28				0.65	0.6
		Tutenbrock		I. balticus pteroides	T. 19, F. 3	48	42	28.5	48	40				0.87	0.6
		Bosenberg	Vorhelmer-S.		1,	55	49.5	29.2	57.3	40	9	120	140	0.9	0.5
	RE: A 1647			I. balt. tenuicostatus											
	H/L \	erhältnis bei	Cataceramus v	orhelmensis sp.n.		50 - 45 -	S/Al Ve	erhältni	s bei Ca	atacera	imus vo	orhelme	ensis sp	.n.	
	60 +					40					• ••	•			
\dashv	50 -					35						•			-
				•		30 +			•	•	•				
_ H	1 40 +		•	•		S 25 +				•					
	30 -					20									
-	20 +					15									-
	10					10 +									
-	0					0			-+						
\dashv	0	20	40 L	60 80		0	2	20	40	60 Al)	80	100		-

Abb. 12: Bemerkungen, Messungen und einfache Verhältnisse der Exemplare von Cataceramus vorhelmensis sp. n.

Diskussion: Durch ihren Umriß und die Skulptur läßt sich die Art sehr gut von anderen Arten aus dem unteren Ober-Campan unterscheiden. Fein skulpturierte Vertreter von *C. beckumensis* (GIERS) können *C. vorhelmensis* n.sp. sehr ähnlich werden. Allerdings sind die Rippen der zuerst genannten Art im allgemeinen mehr symmetrisch. Es handelt sich um das Glied einer Entwicklungsreihe *C. dariensis* (DOBROV & PAVLOVA) - *C. beckumensis* (GIERS) - *C. vorhelmensis* n. sp., die wenigstens in Europa für das obere Unter-Campan sowie das tiefere Unter-Campan charakteristisch ist. Von dieser Reihe ausgehend entwikkelte sich vermutlich die Gruppe *I. tausiensis* - *I. azerbaydjanensis* mit einer radialen Furche im Ober-Campan.

In der GIERSschen Sammlung entsprechen z.T. folgende Formen der neuen Art (siehe Abb. 22): Cataceramus marcki (GIERS), Cataceramus balticus (BÖHM) sowie Cataceramus pteroides (GIERS). Die Variabilität der drei Arten wurde von GIERS wesentlich größer gesehen, als es durch diese Arbeit belegt werden konnte.

Wenn Plättungen vorliegen, kann die Unterscheidung von *C. vorhelmensis* n.sp. und *C. pteroides* (GIERS) schwierig werden. Allerdings ist *C. pteroides* (GIERS) im allgemeinen schiefer gewachsen. Auch ist die Skulptur bei dieser Form auf den Jugendteil beschränkt. Von *I. tausiensis* unterscheidet sich *C. vorhelmensis* durch die fehlende Achsenfurche. Einige der von NODA (1983, Taf. 1, Fig. 2-3, 5-6, 9) zu *Inoceramus* sp. aff. *proximus* TOUMEY gezählten Formen unterscheiden sich nur durch einen wenig herausragenden Wirbel und mehr symmetrische Rippen von *C. vorhelmensis* n. sp.

V o r k o m m e n : Vorhelmer Schichten (basiplana/stobaei-Zone) sowie untergeordnet Beckumer Schichten (conica/mucronata-Zone). Außerhalb Westeuropas bisher unbekannt.

Gattung Endocostea WHITFIELD, 1877

SEITZ (1967) hat das Typus-Material der Gattung Endocostea mit der Typus-Gattung Endocostea typica WHITFIELD neu untersucht. Dabei stellt er eine große Variabilität fest. Nach seiner Ansicht entsprechen von dem vorliegenden Material nur zwei stärker gewölbte Exemplare der Vorstellung von WHITFIELD von E. typica WHITFIELD. Die übrigen Stücke der Sammlung WHITFIELD sollten nach SEITZ anderen Arten oder auch Gattungen zugeordnet werden. Das von SEITZ neu definierte Konzept von Endocostea typica WHIT-FIELD stimmt sehr gut mit dem Konzept der Inoceramus balticus-Gruppe überein. So stellte SEITZ die Vertreter dieser Gruppe zur Gattung Endocostea. Auf Grund dieser Tatsache bezog er die von HEINZ (1932) aufgestellte Gattung Cataceramus, die sich ebenfalls auf die Inoceramus balticus-Gruppe beruft, in die Synonymie der Gattung Endocostea WHITFIELD ein. Die zwei kleinen stärker gewölbten Exemplare von WHITFIELD (siehe oben und WHITFIELD 1880, Taf. 9, Fig. 3 und 9 sowie SEITZ 1967, Taf. 2, Fig. 4-5) stellen allerdings einen Morphotyp dar, der von Inoceramus balticus deutlich abweicht (Diskussion auch bei MOR-RIS 1995). In der stratigraphischen Verbreitung ergibt sich ebenfalls ein deutlicher Unterschied. Endocostea typica WHITFIELD als Anfangsglied der phylogenetischen/?phyletischen Reihe E. typica - E. impressa ist ab dem obersten Campan (hyatti-Zone) verbreitet, wie aus den Untersuchungen im Steinbruch Piotrawin (Zentral-Polen) hervorgeht. Häufiger sind die Vertreter der Reihe im Unter-Maastricht (WALASZCZYK et al. 1996). Die Glieder der E. typica - E. impressa -Reihe sind durch deutlich über den Schloßrand ragende und gekrümmte Wirbel gekennzeichnet. Sie besitzen außerdem einen dreieckigen Wirbelkörper und einen von der ganzen übrigen Schale abgesetzten Hinterflügel. Die Glieder dieser Reihe sind im allgemeinen klein in Ausnahmefällen mittelgroß.

Zur Gattung Endostea gehören außer den 2 bereits genannten Arten noch E. coxi (REYMENT, 1955) (siehe MORRIS 1995) und möglicherweise Inoceramus ghadamesensis (TRÖGER & RÖHLICH 1981, 1991) Die Arten C. pteroides (GIERS) sowie I. borilensis JOLKIČEV, die MORRIS (1995) zur Gattung Endocostea gestellt hat, sollten in andere Gattungen eingeordnet werden. Das folgt bei C. pteroides (GIERS) durch die Einbindung in eine definierte phylogenetische/?phyletische Reihe. Inoceramus borilensis JOLKIČEV stellt dagegen einen völlig verschiedenen Morphotyp dar. Das Vorhandensein der Endocostea-Marke – ungeachtet ihrer Interpretation als parasitär verursachtes Merkmal (TOOTS 1964, SEITZ 1966,1967) oder als echtes morphologisches Merkmal (MORRIS 1955) - ist im vorgelegten Konzept nicht berücksichtigt worden.

Endocostea impressa (d'ORBIGNY, 1845) Taf. 2, Fig. 6-7

```
1845
           Inoceramus impressus; d'ORBIGNY, S. 515, Taf. 409.
     1957 Inoceramus impressus d'ORBIGNY; SORNAY, S. 1, Abb. 1-5.
     1964. ?Endocostea impressa (d'ORBIGNY); GIERS, S. 248.
non
     1962. Inoceramus impressus d'ORBIGNY; JOLKICEV, S. 139, Taf. 3, Fig. 3-4.
non
     1958. Inoceramus impressus d'ORBIGNY; KOTSUBINSKY, S. 20, Taf. 9, Fig. 36.
non
           Inoceramus impressus d'ORBIGNY; KOTSUBINSKY, S. 144, Taf. 28. Fig. 1, Taf. 29, Fig. 4-5.
     1968.
non
     1974.
           Inoceraus impressus d'ORBIGNY; KOTSUBINSKY & SAVTVHINSKA, S. 84-85, Taf. 21, Fig. 1.
            Inoceramus (Endocostea) impressus d'ORBIGNY; TZANKOV, S. 97, Taf. 42, Fig. 2.
non
    1981
     1991
            Inoceramus sp. aff. impressus d'ORBIGNY; TRÖGER & RÖHLICH, S. 1376, Taf. 5, Fig. 5-6.
```

Lectotypus: Durch SORNAY (1957) festgelegt: Exemplar Nr. 7592 der Sammlung von d'ORBIGNY, hinterlegt im Museum des Institut d'Histoire Naturelle in Paris.

Locus typicus: Royan, SW-Frankreich.

Beschreibung des Lectotypus: Klein bis mittelgroß. Ungleichseitig, gleichklappig. Schmaler Wirbel über den Schloßrand ragend und oft deutlich gekrümmt. Vorderrand steil zur Medianebene ansteigend, konvex, geht kontinuierlich in den Hinterrand über. Schloßrand gerade, relativ lang. Hinterflügel sehr deutlich vom Schalenkörper abgesetzt. Deutliche Flügelfurche. Schalenkörper gewölbt, subdreieckig. Beim Lectotypus ist die Skulptur nur schwach erhalten. Andere Exemplare tragen regulär bis subregulär verlaufende eng stehende Anwachsringe, die besonders im Mittel- und Ventralteil der Schale gut entwickelt sind. Wirbelregion nur schwach skulpturiert oder glatt.

ID	Exemplar	Lokalität	Stratigr.	Giers' Name	Revid. Name	Abb.	L	Н	S	Al	δ	D	γ	α	H/L	S/L
	RE: A 1200	Bosenberg	Vorhelmer-S.	E. impressa	Pl. ex gr. cycloides	T. 6, F. 5					36					
	RE: A 1201	Zgl. Austermann	Stromberger-S	E. impressa	I. sp.	T. 11, F. 6	61.5	50	35.5	66	28					
	RE: A 1202	Bosenberg	Vorhelmer-S.	E. impressa	I. ellipticus	T. 23, F. 2	65.2	41	41	60.9	27	6	138	150	0.63	0.63
4	RE: A 1203/1	Tutenbrock	Beckumer-S.	E. impressa	C. beckumensis											
	RE: A 1203/2	Tutenbrock	Beckumer-S.	E. impressa	C. marcki	T. 8, F. 1										
	RE: A 1204	Bosenberg	Vorhelmer-S.	E. impressa	I. agdjakendsis	T. 10, F. 6										
	RE: A 1205	Bosenberg	Beckumer-S.	E. impressa	I. sp.	T. 7, F. 2										

Abb. 13: Bemerkungen und Neubestimmungen der GIERSschen Exemplare der Endocostea impressa (d'ORBIGNY).

D i s k u s s i o n : Durch die Festlegung von SORNAY bedingt, steht auch das stratum typicum mit dem Campan/Maastricht - Grenzbereich fest. Soweit erkennbar stammen alle Exemplare der Art aus diesem Bereich oder dem Unter-Maastricht. *Endocostea typica* WHITFIELD als Vorläufer tritt im obersten Campan (*hyatti-*Zone) auf. Die Eignung der Formen für biostratigraphische Zwecke steht außer Frage.

Relativ oft wurden in der Literatur Formen der I. balticus-Gruppe mit der Endocostea-Marke ohne Berücksichtigung der anderen Merkmale zu E. impressa (d'ORBIGNY) gestellt (siehe bei GIERS, 1964). Von den 7 Exemplaren, die GIERS zu E. impressa (d'ORBIGNY) gestellt hat ist keine mit dem Typus konspezifisch. Abb. 13 gibt eine Übersicht über die neue Zuordnung dieser Formen. Insgesamt gesehen sind sie sehr variabel und stellen verschiedene Arten dar. Gemeinsam ist allen nur die mehr oder minder gut entwickelte Endocostea-Marke, die allerdings mitunter kaum zu erkennen ist (Taf. 9, Fig. 6; Taf. 23, Fig. 2). Das Exemplar Nr. RE A 1200 (Taf. 6, Fig. 5) besitzt zwei unterschiedlich skulpturierte Schalenabschnitte. Der Jugendabschnitt ist nach Skuptur und Umriß Platyceramus cycloides-ähnlich. Die Endocostea-Narbe ist sehr schwach. Auch kann sie durch die Zerstörung der Schalenoberfläche vorgetäuscht sein - Anbohrungen. Noch undeutlicher ist die Narbe beim Exemplar Nr. RE A 1202 (Taf. 23, Fig. 2) oder bei dem relativ großen Exemplar No. RE A 1203/2 (Taf. 8, Fig. 1). Das zuerst genannte Exemplar ähnelt auf Grund seines Schalenumrisses und deutlich abgegrenzter Wachstumsabschnitte der Art I. ellipticus GIERS. Das zweite Exemplar entspricht nach Umriß und Skulptur C. marcki (GIERS). Exemplar RE A 1204 (Taf. 10, Fig. 6) gehört nach Entwicklung der Schalenskulptur und dem Schalenumriß zu Inoceramus agdjakendsis ALIEV. Bei der Endocostea-Narbe dieses Exemplares handelt es sich augenscheinlich um Anbohrungen. Die Exemplare No. RE A 1205 (Taf. 9, Fig. 2) und RE A 1201 (Taf. 11, Fig. 6) sind unbestimmbar.

V o r k o m m e n : Oberstes Campan, Unter-Maastricht und unterstes? Ober-Maastricht. Europa, Nordafrika.

Gattung Sphaeroceramus Heinz, 1932

T y p u s - A r t : *Inoceramus subsarumensis* RENNGARTEN 1926 (= *Inoceramus pila* HEINZ). Abgebildet bei WOODS (1911, Abb. 48 = *Inoceramus inconstans* WOODS). Die genauere Lage des Stratum typicum (?Unter-Campan) und des Locus typicus (angegeben England) ist nicht bekannt.

Zu der Gattung gehören ungleichseitige, gleichklappige und fast kugelförmige d.h. stark gewölbte Inoceramen. Glatt bis schwach skulpturiert. Hinterflügel deutlich vom Schalenkörper abgegrenzt. Wirbel nicht oder nur sehr wenig über den Schloßrand ragend. Im hinteren teil des Schalenkörpers verläuft eine vor allem im Zentral- und Ventralteil der Schale gut sichtbare Furche. Zum von mir untersuchten Material gehören Sphaeroceramus subsarumensis (RENNGARTEN) und Sphaeroceramus sarumensis (WOODS).

Vorkommen: Unter-Campan (? siehe Bemerkungen unter Typus-Art). Es kann nicht ausgeschlossen werden, daß es sich um Unter-Coniac handelt. Das von mir untersuchte Exemplar aus der *conica/mucronata*-Zone würde allerdings mehr die erste Angabe bestätigen. Bekannt aus Europa: Unter-Campan und unterstes Ober-Campan.

Sphaeroceramus sarumensis (WOODS, 1912)

Taf. 1, Fig. 1-2, 5; Taf. 21-22

- ? 1880 Endocostea sulcata ROEMER; WHITFIELD, S. 404, Taf. 10, Fig. 6.
 - 1911 Inoceramus inconstans var. sarumensis, var. nov.; WOODS, S. 293, Taf. 52, Fig. 2-3.
 - 1928 Inoceramus sarumensis WOODS; HEINZ, Taf. 3.
- ? 1959 Inoceramus convexus HALL & MEEK; DOBROV & PAVLOVA, S. 155, Taf. 21, Fig. 1.
- ? 1969 Inoceramus sarumensis WOODS; KHALAFOVA, Taf. 23, Fig. 10-11.
- ? 1969 Inoceramus convexus HALL & MEEK; KHALAFOVA, Taf. 29, Fig. 2-3.
 - 1974 Inoceramus subsarumensis RENNGARTEN; ATABEKIAN & BOBKOVA, S. 216, Taf. 107, Fig. 2.
- non 1976 Inoceramus (Cremnoceramus) inconstans sarumensis WOODS; CHIPLONKAR & BADVE, S. 200, Taf. 2, Fig. 7.
 - 1982 Inoceramus sarumensis WOODS, 1912; SORNAY, S. 5, Taf. 1, Fig. 3, Taf. 2, Fig. 2-3.
- ?non 1993 Cremnoceramus sp. ex gr. Cr. sarumensis (WOODS); DHONDT, S 220, Taf. 7, Fig. 1

Lectotyp wird vorgeschlagen: BMNH Exemplar der Sammlung BLACKMORE abgebildet in WOODS (1912, Taf. 52, Fig 2 a-b).

Locus typicus: East Harnham, Salisbury, Wiltshire (England).

Stratum typicum: Unter-Campan, Basis quadrata-Zone (im Englischen Sinne).

Material: Einen Überblick über das untersuchte Material gibt Abb. 14.

ID	Exemplar	Lokalität	Stratigr.	Giers' Name	Revid. Name	Abbildung
1	RE: A 1596	Bosenberg	Vorhelmer-S.	I. balticus pteroides	S. sarumensis	
2	RE: A 1605/1-2	Tutenbrock	Beckumer-S.	I. balticus pteroides	S. sarumensis	
3	RA: A 1334	Bosenberg	Vorhelmer-S.	I. balt. beckumensis	S. sarumensis	
4	RE: A 1600/2	Ruhr & CO	Beckumer-S.	I. balt. pteroides	S. sarumensis	
5	RE: A 1324	Tutenbrock	Beckumer-S.	I. balt. beckumensis	S. sarumensis	
6	RE: A 1329	Tutenbrock	Beckumer-S.	I. balt. beckumensis	S. sarumensis	T. 21, F. 1
7	RE: A 1330	Tutenbrock	Beckumer-S.	I. balt. beckumensis	S. sarumensis	T. 22, F. 4
8	RE: A 1331	Bosenberg	Vorhelmer-S.	I. balt. beckumensis	S. sarumensis	T. 22, F. 5
9	RE: A 1328	Tutenbrock	Beckumer-S.	I. balt. beckumensis	S. sarumensis	T. 22, F. 3
10	RE: A 1333	Kreuzberg	Vorhelmer-S.	I. balt. beckumensis	S. sarumensis	T. 22, F. 2
11	RE: A 1325	Tutenbrock	Beckumer-S.	I. balt. beckumensis	S. sarumensis	T. 22, F. 1
12	RE: A 1335	Bosenberg	Vorhelmer-S.	I. balt. beckumensis	S. sarumensis	T. 21, F. 2
13	RE: A 1449	Bosenberg	Vorhelmer-S.	I. balt. pteroides	S. sarumensis	T. 21, F. 3
14	RE: A 1267	Tutenbrock	Beckumer-S.	I. balt. balticus	S. sarumensis	T. 21, F. 6
15	RE: A 1332	Bosenberg	Vorhelmer-S.	I. balt. beckumensis	S. sarumensis	T. 22, F. 6
16	RE: A 1326	Tutenbrock	Beckumer-S.	I. balt. beckumensis	S. sarumensis	T. 21, F. 5
17	RE: A 1570	"Anna"	Beckumer-S.	I. balt. pteroidus	S. sarumensis	
18	RE: A 1584	"Elsa"	Beckumer-S.	I. balt. pteroides	S. sarumensis	T. 21, F. 4

Abb. 14: Bemerkungen, Messungen und einfache Verhältnisse der Exemplare von *Sphaeroceramus sarumensis* (WOODS).

Beschreibung: Klein bis mittelgroß, Schwach ungleichseitig, gleichklappig. Klappen mäßig bis stark gewölbt. Größte Wölbung im ventralen Dorsalteil. Vorderrand breit regelmäßig konvex gerundet, kontinuierlich in den Ventral- und Hinterrand übergehend. Schloßrand gerade, mittlere Länge. Hinterflügel deutlich vom Schalenkörper abgesetzt. Gut erhaltene Exemplare z.B. aus Lägerdorf (Taf. 1, Fig. 1-2 und 5) besitzen einen kleines aber gut entwickeltes vorderes Ohr. Wirbelregion mäßig gewölbt. Wirbel ragt nicht über den Schloßrand. Bei größeren Schalen ist eine schwache radiale Furche im hinteren Teil des Schalenkörpers sichtbar (Taf. 1, Fig. 1; Taf. 21, Fig. 2; Taf. 22, Fig. 4-5).

Die Skulptur besteht aus sehr schwachen irregulär konzentrischen Rippen. Glatte Abschnitte treten auf (Taf. 1, Fig. 1). Möglicherweise sind diese Abschnitte auch durch Plättungen und damit Verwischung der Skulptur verursacht. Da das Material aus Westfalen etwas jünger ist, können hier aber auch phylogenetische Ursachen vorliegen. Die Steinkerne tragen schwache radiale Striemungen (Taf. 21, Fig. 2-6, Taf. 22, Fig. 4-6). Sie sind auf der Schale nicht sichtbar.

Diskussion: Bei guter Erhaltung ist *Sphaeroceramus sarumensis* (WOODS) im europäischen Gebiet eine sehr bezeichnende Form des ob. Unter-Campan bis tiefsten Ober-Campan. Geplättete Exemplare sind dagegen schwer erkennbar. In diesem Falle kann *Sphaeroceramus sarumensis* (WOODS) mit Ober-Campan Formen z. B. *I. tauricus* DOBROV & PAVLOVA, *I. convexus* HALL & MEEK oder *I. tenuilineatus* HALL & MEEK verwechselt werden. Bei allen diesen genannten Formen handelt es sich ebenfalls um schwach skulpturierte Arten.

Ähnlichkeiten mit Sphaeroceramus sarumensis (WOODS) zeigt ein von WHITFIELD (1880, Taf. 10, Fig. 6) zu Endocostea sulcata (ROEMER) gestelltes Exemplar aus dem Western Interior Becken. Die Übereinstimmung vorausgesetzt, wäre damit die Verbreitung von Sphaeroceramus sarumensis (WOODS) in Nordamerika gesichert. Das von WHITFIELD beschriebene Exemplar unterscheidet sich sehr deutlich vom ROEMERschen Typ der Art E. sulcata (ROEMER 1852).

WOODS (1911) stellte die Form ursprünglich zu *Inoceramus inconstans* WOODS. Wenige Jahre später wurden durch ANDERT (1913), RENNGARTEN (1926), und HEINZ (1928) alle aus dem Campan stammenden Formen von den unterconiacischen Formen abgegrenzt. Letztere wurden der Gattung *Cremnoceramus* COX (non HEINZ) zugeordnet. *Cremnoceramus* unterscheidet sich von *Sphaeroceramus* durch zwei deutliche abgrenzbare Wachstumsabschnitte und andere Skulpturen. Außerdem scheint *Cremnoceramus* nur bis zum untersten Mittel-Coniac verbreitet zu sein. Die unterschiedliche stratigraphische Position war für SEITZ Grund genug, um ähnlich aussehende abgeknickte Formen aus dem Santon/Campan-Grenzbereich zum Taxon *Selenoceramus* zu stellen. Die Abtrennung von *Sphaeroceramus sarumensis* WOODS von den Vertretern der *I. inconstans*-Gruppe auf Grund stratigraphischer Aussagen wurde auch von SORNAY (1982) befürwortet.

Sphaeroceramus sarumensis und Sphaeroceramus subsarumensis unterscheiden sich von Selenoceramus durch das Fehlen eines Wachstumsknickes und des mit diesem verbundenen Skulpturwechsel.

HEINZ (1932a) sah als Genotyp von *Sphaeroceramus* das Original zu WOODS (1911, Abb. 48 = Typus von *Sphaeroceramus subsarumensis* (RENNGARTEN)) an. Er sah als stratigraphische Verbreitung das Turon-Coniac (heutige Fassung Unter-Coniac) auch für das von WOODS abgebildete Exemplar an. Allerdings gleicht gerade dieses Exemplar mehr den campanen Formen als den typischen Vertretern von *Cremnoceramus* aus dem älteren Niveau. Die aus Westfalen bekannte Form (Taf. 15, Fig. 1) ist bezüglich ihrer Größe, ihres Schalenumrisses, der Skulptur und der Anwesenheit der radialen Furche mit dem von WOODS (1911) abgebildeten Exemplar identisch.

V o r k o m m e n : Untersuchtes Material aus Westfalen und Lägerdorf: Unteres Campan bis basales Ober-Campan (basiplana/stobaei -Zone). Im höheren Ober-Campan tritt die Art sowohl in Westfalen (Sammlung Haldem-Universität Göttingen) als auch im Weichsel-Profil nicht mehr auf. Unbekannt bleibt allerdings die genaue stratigraphische Lage der Exemplare aus dem Kaukasus (KHALAFOVA, 1969, DOBROV & PAVLOVA, 1959, ATABEKIAN & BOBKOVA, 1974) sowie Zentralasien (KUZNETZOV, 1968). KUZNETZOV (1968) beschreibt Sphaeroceramus sarumensis (WOODS) zusammen mit C. dariensis (DOBROV & PAVLOVA), Inoceramus agdjakendsis ALIEV sowie I. tausiensis ALIEV. Verglichen mit Europa ist damit eine Einstufung in das tiefere Ober-Campan gegeben. Auf das mögliche Vorkommen von Sphaeroceramus sarumensis (WOODS) in Nordamerika wurde bereits hingewiesen.

Sphaeroceramus subsarumenis (RENNGARTEN, 1926) Taf. 15, Fig. 1

- part 1911 Inoceramus inconstans sp.n.; WOODS, S. 285, Abb. 48 (non Abb. 39, 42-47, 29, Taf. 51, Fig. 1-4).
 - 1926 Inoceramus inconstans WOODS var. subsarumensis var. n.; RENNGARTEN, S. 50.
 - 1932 Sphaeroceramus pila nov. spec.; HEINZ, S. 16.
- non 1974 Inoceramus subsarumensis RENNGARTEN; ATABEKIAN & BOBKOVA, S. 216-217, Taf. 107, Fig. 2.

Lectotypus = Original zu Inoceramus inconstans WOODS (WOODS 1911: Abb. 48) = No. BMNH 30882

Locus typicus: England (genauere Lokalität unbekannt)

Stratum typicum: Unter-Campan (? Unter-Coniac)

M a t e r i a l : Das Exemplar Nr. RE: A 1327 (siehe Taf. 15, Fig. 6) aus dem Steinbruch Tutenbrock, durch GIERS als *Inoceramus balticus beckumensis* bestimmt.

B e s c h r e i b u n g : Untersucht wurde nur ein Exemplar. Es handelt sich um einen unvollständig erhaltenen Steinkern. Deformationsbedingt ist der untere Vorderrand deutlich nach hintengezogen. Sichtbar ist die typische Skulptur mit regulären, eng stehenden, konzentrischen und asymmetrischen Rippen und weit stehenden flachen Rippen. Jeder Rippe trägt 4-5 Anwachsringe. Auf dem hinteren Teil der Klappe befindet sich eine radiale Furche. Wirbelregion stark aufgewölbt und nicht über den Schloßrand ragend. Deutlich vom Schalenkörper getrennter Hinterflügel, der nur z.T. sichtbar ist.

Diskussion: RENNGARTEN (1926) stellte zwei "Senon"-Formen aus der Kollektion des *Inoceramus inconstans* WOODS von WOODS (1911, Text-fig. 48-49) zu seiner neuen Art *Inoceramus subsarumensis* n. sp. Offensichtlich gehören allerdings beide Exemplare unterschiedlichen Arten an. Sie wurden von HEINZ (1932a) zu *Sphaeroceramus pila* n. sp. (WOODS, 1911, Text-fig. 48) und zu *Haenleinia inordinata* n. sp. (WOODS, 1911, Text-fig. 49) gestellt. Erläuterungen von HEINZ zur Arbeit von RENNGARTEN (1926) fehlen. Nach den Regeln der Priorität besitzen die Angaben von RENNGARTEN alleinige Gültigkeit. RENNGARTEN fußt mit seinen kurzen Art-Beschreibung auf den Angaben auf WOODS und einem zweiten Exemplar aus dem Kaukasus, das nicht abgebildet aber in den Sammlungen des VSEGEI in St. Petersburg hinterlegt ist. *Sphaeroceramus pila* n.sp. fällt somit in die Synonymie von *Sphaeroceramus subsarumensis* (RENNGARTEN).

V o r k o m m e n : Das untersuchte Exemplar stammt aus dem untersten Ober-Campan (conica/mucronata-Zone) = Beckumer Schichten. Die stratigraphische Position sowohl des Exemplares aus England als auch des Exemplares aus dem Kaukasus erscheint nicht gesichert.

Inoceramen mit Einordnung in die Sammelgattung Inoceramus

Inoceramus agdjakendsis ALIEV, 1952

Taf. 10, Fig. 6; Taf. 25, Fig. 2-3; Taf. 26; Taf. 29, Fig. 2

- 1952 Inoceramus agdjakendsis n.sp.; ALIEV, S. 601; Fig.
- 1959 Inoceramus adgjakendsis (sic) ALIEV; DOBROV & PAVLOVA, S. 139, Taf. 16, Fig. 1-2.
- 1964 Inoceramus balticus sublevigatus n. subsp.; GIERS, S. 245, Taf. 3, Fig. 1.
- part 1964 Inoceramus balticus ellipticus n. subsp.; GIERS, S. 244.
- non 1982. Inoceramus agdjakendsis ALIEV; MASSLENNIKOVA,
 - 1994. Inoceramus (Cataceramus) balticus BÖHM; HAUSCHKE, Pl. 20, Fig. 2.

Holotypus (Monotyp): Original zu ALIEV (1952-nicht nummerierte Abbildung). Hinterlegt nach ALIEV (1952) im Museum des Geologischen Institutes der Aserbeidschanischen Akademie der Wissenschaften.

Locus typicus: Ober Agdjakend (Karatchay-Profil) Kaukasus.

ID	Exempl.	Lokalität	Stratigr.	Giers' Name	Abb.	L	Н	S	Al	δ	D	γ	α	H/L	S/Al
1	RE: A 1204	Bosenberg	Vo-S.	E. impressa											
2	RE: A 1340	Bosenberg	Vo-S.	I. balt. ellipticus	T. 12, F.	3 105	64	98					120	0.61	
3	RE: A 1348	Bosenberg	Vo-S.	I. balt. ellipticus		98	70	54	100	30		145	119	0.71	0.3
4	RE: A 1367	Bosenberg	Vo-S.	I. balt. marcki											
5	RE: A 1633	Bosenberg	Vo-S.	I. balt. sublevigatus		120	84	79	118	33		135	135	0.7	0.28
6	RE: A 1634	Bosenberg	Vo-S.	I. balt. levigatus	T. 10, F.	6	83	76	122	31			135		0.25
7	RE: A 1635	Bosenberg	Vo-S.	I. balt. sublevigatus	T. 13, F.	3 75	50	50	77	30		127	125	0.66	0.38
8	RE: A 1637	Bosenberg	Vo-S.	I. balt. sublevigatus		83	59.5	52	83.5	28		140		0.72	0.33
9	RE: A 1680	Bosenberg	Vo-S.	I. balt. levigatus		65	51	40	71	33				0.78	0.46
10	RE: A 1682	Bosenberg	Vo-S.	I. balt. sublevigatus	T. 12, F.	1									
11	RE: A 1684	Bosenberg	Vo-S.	I. balt. sublevigatus		147	103	92	143	30				0.7	0.21
	H 120 —	H/L Verhält	nis bei I. aş	gdjakendsis ALIEV		\$ 100 90	S/L V	erhä.	ltnis b	ei I. agdj	akena •	lsis AI	JEV •		
	100			•		80 70					•	•			
F	80 -		•	•		60				. •					
	60 +		• •	•		50 40 			•	• •					
	40 -					30 -									
	20					20 - 10 +									
	0	50	10	0 150 L		0			50	10	00			L	

Abb. 15: Bemerkungen, Messungen und einfache Verhältnisse der Exemplare von Inoceramus agdjakendsis ALIEV.

Stratum typicum: Campan.

Material: Verzeichnis und durchgeführte Messungen auf Abb. 15

B e s c h r e i b u n g : Mittelgroß bis groß. Ungleichseitig, gleichklappig. Schwach bis mäßig gewölbt, größte Wölbung im Dorsalteil. Wachstumsachse konvex nach vorn gebogen. Delta-Werte zwischen 25-33°. Die Schale ist stark nach hinten verlängert. Gerundeter Vorderrand geht allmählich in den Ventralrand über. Hinterer Teil des Ventralrandes und Hinterrand ebenfalls gerundet. Schloßrand lang und gerade 50-66 % der zugehörigen Achsenlänge. Gut entwickelter Hinterflügel, der im allgemeinen nur schwach von dem Schalenkörper abgesetzt ist. Skulptur irregular, weit stehende und flache Undulationen, deutlicher entwickelt im jugendlichen und mittleren Teil der Schale. Hier treten auch stellenweise gut entwickelte, regelmäßige sowie eng stehende konzentrische Rippen auf. Auf dem Ventralteil sind sie selten oder fehlen.

D i s k u s s i o n : Nach Umriß und Form gehört *I. agdjakendsis* ALIEV zu den bezeichnendsten Formen des unt. Ober-Campans. Konspezifisch ist die Unterart *Inoceramus balticus sublaevigatus* GIERS aus SE Westfalen. Der Vergleich der untersuchten Exemplare wurde sowohl mit dem Material von ALIEV als auch DOBROVA durchgeführt.

V o r k o m m e n : Westfalen - obere Vorhelmer Schichten (stobaei/basiplana - vulgaris/basiplana-Zonen des unteren Ober-Campan). Ein in London (Natural History Museum) hinterlegtes Exemplar von Haldem belegte eine vertikale Verbreitung bis in die *B. polyplocum*-Zone. In Osteuropa (Kaukasus - ALIEV, 1952; DOBROV & PAVLOVA, 1959; ALIEV & KHARITONOV, 1981) und in Zentralasien (Tuarkyr - KUZNETZOV, 1968; ALIEV, 1988) ist sie in der *I. azerbaydjanensis*-Zone (unt. Ober-Campan - siehe strat. Teil. dieser Arbeit) verbreitet. Aus der *B. polyplocum*-Zone des Kopet Dag gibt ATABEKIAN (1979) *Inoceramus balticus sublaevigatus* (GIERS) an. Nach KAUFFMAN et al. (1993) tritt *I. agdjakendsis* im Mittleren-Campan (*Baculites obtusus* und *B. mclearni* Zonen) auf. Sie kann zur Definierung der Unter-/Mittel-Campan Grenze genutzt werden.

Inoceramus algeriensis (HEINZ, 1932)

Taf. 29, Fig. 3, 6; Taf. 31, Fig. 3, 5-6

- 1932 Oncoceramus algeriensis nov. spec.; HEINZ, S. 15.
- part 1912 Inoceramus regularis d'ORBIGNY; PERVINQUIÈRE, S. 117, Taf. 8, Fig. 8-9 (non Taf. 8, Fig. 5-7).
 - 1951 Inoceramus algeriensis HEINZ; VOÛTE, S. 205, Taf. 5b, Fig. 2.

L e c t o t y p u s : Als Lectotyp wird das Original zu VOÛTE (1951, Taf. 5b, Fig. 2, und neu abgebildet in dieser Arbeit auf Taf. 31, Fig. 3 und 5) vorgeschlagen. Das Stück ist hinterlegt im Institut d'Histoire Naturelle in Paris.

Locus typicus: Maafa, Les Tamarains, Aures (Algerien).

Stratum typicum: Mittel-Campan

M a t e r i a l: Zusammenstellung des Materials und der Messungen auf Abb. 16.

ID	Exempl.	Lokalität	Strat.	Giers' Name	Abbildung	L	Н	S	Al	δ	D	γ	α	H/L	S/AI
_1	RE: A 1249	Kreuzberg	Vorhelmer-S.	I. balt. tenuicostatus	T. 9, F. 6										
2	RE: A 1352	Bosenberg	Vorhelmer-S.	I. balt, ellipticus	T. 12, F. 2	65	52	40	64					0.8	0.61
3	RE: A 1443	Bosenberg	Vorhelmer-S.	I. balt. pteroides	T. 11, F. 4										

Abb. 16: Bemerkungen über die Exemplare der Inoceramus algeriensis HEINZ.

B e s c h r e i b u n g : Mittelgroß, gleichklappig, ungleichseitig. Wirbel klein und spitz zulaufend. Vorder-, Ventral- und Hinterrand gerundet und lang. Schloßrand lang und gerade. Hinter- und Vorderrand fast parallel. Zwei gut getrennte Wachstumsabschnitte mit Skulpturwechsel. Schwach entwickelter Wachstumsknick. Im Jugendabschnitt besteht die Skulptur aus regulären eng stehenden konzentrischen Rippen mit regelmäßig verteilten Anwachslinien. Der Altersabschnitt trägt nur Anwachslinien.

D i s k u s s i o n : Durch den elliptischen Jugendabschnitt, das Vorhandensein zweier Wachstumsabschnitte, fehlende oder nur angedeutete Wachstumsknicke und die Skulptur unterscheidet sich diese Art von anderen relativ häufig auftretenden Formen des Ober-Campans. Allerdings sind deformierte Exemplare nur schwer von *Inoceramus bosenberensis* n. sp. , *Inoceramus ellipticus* GIERS, *Inoceramus* aff. *borilensis* JOLKI»EV oder auch *Inoceramus haldemensis* GIERS zu trennen. Konspezifisch mit *Inoceramus algeriensis* HEINZ sind ohne Zweifel die von PERVINQUIÈRE (1912, Taf. 8, Fig. 8-9) zu *Inoceramus regularis* d'ORBIGNY gerechneten Formen. Nach VOÛTE (1951) ist ebenfalls das unvollständige und von RIEDEL (1932, Taf. 8, Fig. 2) abgebildete Exemplar zu rechnen, das R. HEINZ als *Rhachidoceramus* (*Oncoceramus*) *niger* HEINZ bezeichnet hat. Gleichfalls bestimmte VOÛTE das Exemplar von *Rhachidoceramus hispanicus* HEINZ (HEINZ 1936, Taf. 13, Fig. 1) als *Inoceramus algeriensis* HEINZ. Nach den Umrißformen und der Skulptur-Entwicklung gehören diese 2 Exemplare nicht zu *Inoceramus algeriensis* HEINZ. Eine weitere Aussage für diese Formen ist im Augenblick nicht möglich.

V o r k o m m e n: Von der Typus-Lokalität ist *Hemiaster medjesensis* PERON & GAUTHIER beschrieben. Dieser Echinide ist nach VOÛTE (1951) typisch für das Mittleres-Campan. Das widerspricht älteren Ansichten, die oberstes Santon bis Unter-Campan für diese Lokalität annehmen. Das untersuchte Material stammt sämtlich aus dem unteren Ober-Campan.

Inoceramus cf. azerbaydjanensis ALIEV, 1939 Taf. 9, Fig. 3; Taf. 29, Fig. 3

- part 1939 Inoceramus cordiformis SOWERBY var. azerbaydjanensis var. nov.; ALIEV, S. 228, Taf. 2, Fig. 2 (non Taf. 3, Fig. 3).
 - 1954 Inoceramus azerbaidjanensis sp. n.; ALIEV, S. 96, Taf., Fig. 1-4.
- ? 1959 Inoceramus azerbaydjanensis ALIEV; DOBROV & PAVLOVA, S. 148, Taf. 15, Fig. 2-3.
- non 1963 Inoceramus aff. azerbaidjanensis ALIEV; TSAGARELLI, S. 97, Taf. 5, Fig. 1

part 1969 Inoceramus azerbaidjanensis azerbaidjanensis ALIEV; KHALAFOVA, S. 208, Taf. 23, Fig. 4, ?5.

part 1974 Inoceramus azerbaydjanensis ALIEV; KOTSUBINSKY & SAVTCHINSKA, S. 82, Taf. 17, Fig. 3-4 (non Taf. 17, Fig. 5-6).

1979 Inoceramus azerbaydjanensis ALIEV; IVANNIKOV, S. 41, Taf. 4, Fig. 1.

non 1981 Inoceramus (Inoceramus) azerbaydjanensis ALIEV; TZANKOV, S. 87, Taf. 37, Fig. 2.

? 1982 Inoceramus (Haenleinia) azerbaydjanensis ALIEV, 1939; MASSLENNIKOVA, S. 96, Pl. 10, Fig. 7.

part 1993 Inoceramus (Cordiceramus) azerbaidjanensis ALIEV, 1939; COBBAN & KENNEDY, p. 79, Fig. 8.1-8.2 und 8.4-8.13 (non Fig. 8.3).

Lectotyp von *Inoceramus azerbaydjanensis* ALIEV wird das Original zu ALIEV (1939, Taf. 2, Fig. 2 und durch ALIEV, 1954 auf Taf. Fig. 1 neu abgebildet) bestimmt. Das Stück ist hinterlegt im Museum des Geologischen Institutes Gubkin in Baku.

Locus typicus: Tauzaberg im Gebiet von Tauza (Aserbaidschan)

Stratum typicum: Unt.-Campan

M a t e r i a I: Übersicht und Messungen auf Abbildung 17.

ID	Exempl.	Lokalität	Stratigr.	Giers' Name	Abbildung	L	H	S	Al	δ	D	g	α	H/L	S/Al
1	RE: A 1386	Bosenberg	Vorhelmer-S.	I. balticus marcki	T. 29, F. 5	48	36.5	27.5		30				0.8	
2	RE: A 1585	Bosenberg	Vorhelmer-S.	I. balt. pteroides	T. 9, F. 3										

Abb. 17: Bemerkungen, Messungen und einfache Verhältnisse der Exemplare von *Inoceramus* cf. *azer-baydjanensis* ALIEV.

Bemerkungen zur Nomenklatur: ALIEV (1939) beschrieb die Form zunächst als Variante der *Inoceramus cordiformis* SOWERBY und mit y. 1954 erhob er die Variante zur selbständigen Art und wechselte die Schreibweise zu *I. azerbaidjanensis* ALIEV. Nach den Regeln der zoologischen Nomenklatur sollte die erste Schreibweise genutzt werden.

Beschreibung: Klein bis mittelgroß. Ungleichseitig, ungleichklappig. Wirbelkörper gewölbt, maximale Wölbung im dorsalen Teil. Hinterflügel subdreieckig, deutlich von der übrigen Schale abgesetzt. Vorderrand gerade bis leicht konvex. Wirbelkörper bedeckt mit scharfkantigen, engständigen subregularen konzentrischen Rippen. Die nachgewiesenen 2 Exemplare besitzen eine deutliche axiale Furche. Die Furche am Unterrand, die für die Art typisch ist, bei den nachgewiesenen Exemplaren nur sehr schwach entwickelt.

D i s k u s s i o n : Die hier beschriebenen Exemplare unterscheiden sich vom Typus durch die fehlende vordere Furche, die für die Art sehr typisch ist (ALIEV 1939, Taf. 2; ALIEV, 1954, Taf. Fig. 1; siehe auch COBBAN & KENNEDY, 1993, Fig. 8.1-8.13). Folglich zeigt sie enge Beziehungen zu Inoceramus tausiensis ALIEV. Andererseits sind die Klappen deutlich gewölbt und die Skulpturen sind kräftiger entwickelt als bei der zuletzt genannten Art. ALIEV (1954) hat eines der Exemplare, die er 1939 als Inoceramus cordiformis var. azerbaydjanensis ALLIEV bezeichnete zu seiner neuen Art Inoceramus tausiensis ALIEV gerechnet. Diese neue Art unterscheidet sich von I. azerbaydjanensis ALIEV vor allem durch die fehlende Vorderfurche. DO-BROV & PAVLOVA (1959) sowie auch COBBAN & KENNEDY (1993) sahen beide Arten als synonym an. Anoder Abwesenheit der Vorderfurche betrachteten sie als innerhalb einer intraspezifischen Variabilität liegend, wie sie auch durch zahlreiche Abbildungen zu veranschaulichen versuchten. Der überwiegende Teil der abgebildeten Exemplare zeichnet sich durch die Anwesenheit der Vorderfurche aus. Das einzige Stück (No. 449464 USNM) ohne Vorderfurche, das ihre Ansicht bekräftigen könnte, gehört einer anderen Art an. Es besitzt einen längeren Schloßrand und die Furche entspricht einer Endocostea-Narbe. Es sollte zu C. ex gr. balticus (BÖHM) gestellt werden. I. azerbaydjanensis ALIEV wird in dieser Arbeit als phyletischer Nachfolger von I. tausiensis ALIEV angesehen. Die Arten I. tausiensis ALIEV und I. azerbaydjanensis ALIEV werden phylogenetisch von der Reihe C. dariensis (DOBROV & PAVLOVA) - C. beckumensis (GIERS) - C. vorhelmensis n.sp. abgeleitet. Taxononomisch bedingt das die folgenden Folgerungen: Die beiden zuerst genannten Formen wurden bisher zur Gattung Cordiceramus gestellt. Ihre Ableitung von der genannten phyletischen/?phylogenetischen Reihe läßt auf eine Homöomorphie im Auftreten der Radialfurche schließen, die bisher als charaktisches Merkmal für die Gattung Cordiceramus angesehen wurde.

V o r k o m m e n : Untersuchtes Material: Ober-Campan (basiplana/stobaei-vulgaris/basiplana-Zonen). Weiteres gut datiertes Material von *I. azerbaydjanensis* stammt aus der Baculites mclearni-Zone (Mittleres-Campan der nordamerikanischen Gliederung) Nordamerikas (COBBAN & KENNEDY, 1993). KAUFF-MAN et al. (1993) geben *I. azerbaydjanensis* ALIEV weiterhin aus dem untersten Mittel-Campan an. In Europa tritt die Art häufiger nur in Osteuropa auf. Hier wird als stratigraphische Position das Unter-Campan angenommen (DOBROV & PAVLOVA, 1959; PERGAMENT & SMIRNOV, 1972; ALIEV, 1979; ALIEV et al., 1981; ATABEKIAN, 1979). Die Differenz ergibt sich aus der falschen Korrelation zwichen Ost- und Westeuropa. Es ist in diesem Zusammenhang auch interessant, daß KUZNETZOV (1968) die Art *I. azerbaydjanensis* ALIEV als bezeichnende Art der *B. polyplocum*-Zone von Tuarkyr (E Ufer des Kaspi) ansieht.

Inoceramus aff. borilensis JOLKIČEV, 1962 Taf. 28, Fig. 1-5

Vergleich:

1962 Inoceramus borilensis nov. sp.; JOLKIČEV, S. 145, Taf. 7, Fig. 1.

part 1982 Inoceramus borilensis JOLKIČEV; SORNAY, S. 7, Taf. 2, Fig. 1 (non Taf. 3, Fig. 3).

non 1993 "Inoceramus" borilensis JOLKIČEV; DHONDT, S. 215, Taf. 1, Fig. 1, Taf. 3, Fig. 2.

Material und die Messungen gibt Abb. 18

ID	Exemplar	Lokalität	Stratigraphie	Giers' Name	Revid. Name	Abbildung
1	RE: A 1679	Bosenberg	Vorhelmer Schichten	I. balt. sublevigatus	I. aff. borilensis	
2	RE: A 1248	Bosenberg	Vorhelmer Schichten	I. sp.	I. aff. borilensis	T. 28, F. 1
3	RE: A 3304	Bosenberg	Vorhelmer Schichten	I. sp.	I. aff. borilensis	T. 28, F. 4
4	RE: A 1685	Bosenberg	Vorhelmer Schichten	I. balt. sublevigatus	I. aff. borilensis	T. 28, F. 5
5	RE: A 3306	unbekannt	unbekannt	I. sp.	I. aff. borilensis	T. 28, F. 2
6	RE: A 1681	Bosenberg	Vorhelmer Schichten	I. balt. sublevigatus	I. aff. borilensis	T. 28, F. 3

Abb. 18: Bemerkungen, Messungen und einfache Verhältnisse der Exemplare von *Inoceramus* aff. borilensis JOLKIČEV.

B e s c h r e i b u n g : Groß bis sehr groß. Ungleichseitig, gleichklappig mit zwei deutlich ausgebildeten Wachstumsknicken (positive und negative Geniculation). Relativ kleiner Jugendabschnitt mit regulärer Skulptur, die aus eng stehenden konzentrischen Rippen besteht. *Balticus*-ähnlicher Umriß. Außerhalb des ersten Wachstumsknickes ist die Schale glatt oder nur sehr undeutlich skulpturiert (schwache und flache Undulationen und Anwachsringe).

Diskussion: Die Exemplare aus den Vorhelmer Schichten, die zu *Inoceramus* aff. *borilensis* JOLKIČEV gestellt werden, lassen sich relativ gut mit der bulgarischen Art vergleichen. Sie werden durch kleine Jugendabschnitte und einen sehr erweiterten Altersabschnitt gekennzeichnet. Lediglich bezüglich der Skulptur des Jugendabschnittes und des Umrisses bestehen Unterschiede. Altersabschnitte, die nach den zwei Wachstumsknicken in derselben Ebene liegen, wie die gewölbten Jugendteile – wie das bei dem vorliegenden Fall sichtbar wird – wurden neben *I. borilensis* JOLKIČEV bei verschiedenen anderen Arten ebenso beobachtet z.B.: *Platyceramus mantelli subrhenanus* (SEITZ) – Coniac; *Cordiceramus cordiinitialis spickernageli* (SEITZ) und *Cordiceramus bueltenensis arnoldi* (SEITZ) – beide Santon; *Inoceramus crippsi* – Unterund Mittel-Cenoman. Für die Taxonomie aller dieser Formen scheint der Jugendabschnitt sehr wesentlich zu sein. Vergleichbar ist diese Situation mit den Cremnoceramen des Unter-Coniac. Auch bei ihnen sind die Altersabschnitte verschiedener Arten nahezu identisch. Eine Unterscheidung ist nur über die Kenntnis der Jugendabschnitte möglich.

Die Bezeichnung Inoceramus borilensis JOLKIČEV wurde in der Literatur für verschiedene aus dem Campan und Maastricht stammende Formen genutzt, die alle durch einen kleine Jugendabschnitt und deutliche Wachstumsknicke gekennzeichnet sind. Umriß und Skulptur lassen sich bei diesen Formen nur für den Jugendabschnitt merklich unterscheiden. Insgesamt kann gesagt werden, daß für Formen mit Wachstums-

knicken augenscheinlich die Ausbildung des Jugendabschnittes eines der wesentlichen taxonomischen Merkmale ist. Das wird auch durch die gut untersuchte Gruppe der unterconiacischen Cremnoceramen bestätigt.

1976 beschrieb SORNAY die Unterart I. borilensis dauensis SORNAY, die in der Folgezeit von ihm selbst (SORNAY 1982) als Synonym mit der Nominalart beachtet wurde. Diese Unterart unterscheidet sich im Jugendabschnitt aber doch wesentlich von der Nominalart und sollte folgerichtig als eigenständige Art beibehalten werden. Ähnlich zu der bulgarischen Art ist ein auch von SORNAY (1976, Abb. 4) beschriebenes Exemplar. Allerdings ist der Jugendabschnitt nicht klar erkennbar, so daß eine Stellungnahme entfallen muß.

Die von DHONDT (1993) aus dem obersten Campan (Nostoceras hyatti-Zone) beschriebenen Formen sind nicht konspezifisch mit *I. borilensis* JOLKIČEV. Ihre Jugendabschnitte weichen im Umriß von den bulgarischen Exemplaren ab. Eine Entscheidung kann hier allerdings noch nicht getroffen werden.

V o r k o m m e n : Das untersuchte Material stammt aus den Vorhelmer Schichten (stobaei/basiplana - vulgaris/basiplana-Zonen). Das bulgarische Original stammt aus dem Maastricht (ohne weitere Angaben, JOLKIČEV, 1962).

Inoceramus bosenbergensis sp. n.

Taf. 27

Holotypus: Original zu Exemplar No. RE A 1438 (Taf.27, Fig.1) hinterlegt im Ruhrland Museum in Essen.

Locus typicus: Bosenberg bei Vorhelm (SE-Westfalen)

Stratum typicum: Basiplana/stobaei-Zone der Vorhelmer Schichten (unt. Ober-Campan).

Paratypen: Exemplare RE A 1413 (Taf. 27, Fig. 2), RE A 1654 (Taf. 27, Fig. 3), RE A 1664 (Taf. 27, Fig. 4), RE A 1658 (Taf. 27, Fig. 5), RE A 1341 (Taf. 27, Fig. 6). Alle Stücke sind im Ruhrland Museum in Essen hinterlegt.

Derevatio nominis: Stadt Bosenberg (Westfalen)

M a t e r i a l : Eine Übersicht über das Material und die durchgeführten Messungen gibt Abb. 19.

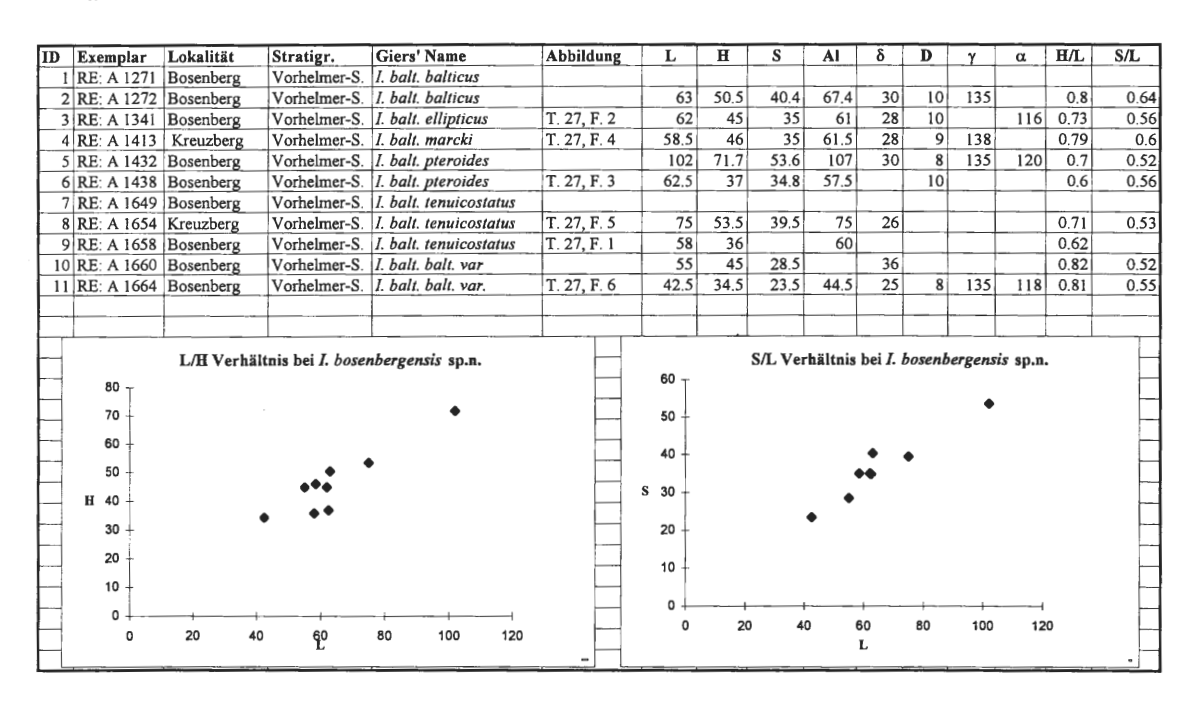


Abb. 19: Bemerkungen, Messungen und einfache Verhältnisse der Exemplare von *Inoceramus bosenbergensis* sp.n.

B e s c h r e i b u n g : Mittelgroß bis groß. Gleichklappig mit zwei deutlichen Wachstumsknicken (positiver Wachstumsknick am Rande des Jugendstadiums; negativer Wachstumsknick in Richtung auf den Ventralrand -Abb. 6). Mit dem ersten Wachstumsknick ist eine Veränderung der Skulptur verbunden. Am Ventralrand ist die Schale nahezu glatt. Form subquadratisch, schwach konvex gerundeter Vorderrand. Ventralrand abgerundet, bei einigen Exemplaren im Bereich des Zentralteiles gerade oder schwach konkav. Hinterflügel gut vom Schalenkörper abgesetzt. Deutliche Flügelfurche. Unterschiede der Skulptur im Jugendund Altersabschnitt: Jugendabschnitt-subreguläre bis reguläre, eng stehende und scharfkantige konzentrische Rippen. Altersabschnitt ventral vom Wachstumsknick - irreguläre flache und subreguläre asymmetrische Rippen. Umriß balticus-ähnlich. Hinterflügel fast glatt oder nur sehr schwach skulpturiert.

Diskussion: Die Inoceramen aus der Sammlung GIERS, die hier zu *Inoceramus bosenbergensis* n.sp. gerechnet werden, waren sehr unterschiedlich bestimmt. Einige Formen waren von GIERS als die neue Form *Inoceramus tenuicostatus* bezeichnet worden (siehe Abb. 19). Allerdings Ist dieser Name ein nomen nudum. Andere Exemplare, die von GIERS zu dieser Form gezählt wurden, müssen zu *I. ellipticus, I. algeriensis, C. balticus, I.* aff *tausiensis* gestellt werden.

Vorkommen: Vorhelmer Schichten (stobaei/basiplana - vulgaris/basiplana - Zonen des Ober-Campan). Die Art wurde bisher außerhalb Europas nicht nachgewiesen.

Inoceramus ellipticus GIERS, 1964 Taf. 23, Fig. 1-7 , Taf. 24, Fig. 1-5, Taf. 25, Fig. 1, 4

?part 1939	Inoceramus balticus BÖHM; ALIEV, S. 219, Taf. 1, Fig. 2 (non Taf. 1, Fig. 1).					
part 1964	Inoceramus balticus ellipticus n. subsp.; GIERS, S. 244, Taf. 2, Fig. 3-4.					
non 1968	Inoceramus ellipticus sp.n.; PAULIUC,					
1982	Inoceramus (Cataceramus) decipiens ZITTEL; MASSLENNIKOVA, S. 92, Taf. 9, Fig. 5.					
? 1986	Inoceramus (Endocostea) balticus cf. balticus BÖHM; LOPEZ, S. 73, Taf. 7, Fig. 2.					
?non 1993	Endocostea baltica elliptica (GIERS); DHONDT, S. 223, Taf. 6, Fig. 1.					
1994	Inoceramus (Cataceramus) balticus BÖHM; HAUSCHKE, Taf. 20, Fig. 2.					

H o I o t y p u s : Original zu RE A 1339 abgebildet durch GIERS (1964, Taf. 2, Fig. 3). Das Original ist im Ruhrland-Museum in Essen hinterlegt.

Locus typicus: Steinbruch Kreuzberg bei Beckum, Westfalen.

Stratum typicum: Vorhelmer Schichten (stobaei/basiplana - vulgaris/basiplana-Zonen, unterstes Ober-Campan)

M a t e r i a l : Eine Übersicht über das genutzte Material und die durchgeführten Messungen sind auf Abb. 20 gegeben.

B e s c h r e i b u n g : Mittelgroß bis groß. Ungleichseitig, gleichklappig mit gut entwickelten Wachstumsknicken. Jugendabschnitt flach, in Richtung der Achse verlängert, nach hinten verlängerter ellipsoidaler Umriß. H/L Verhältnis etwa 0.7. Schloßrand lang und gerade. Seine Länge beträgt 50-65 % der zugehörenden Achsenlänge. Im Achsenteil im allgemeinen keine Veränderung der Wachstumsrichtung. Wachstumsknicke sind nur im Vorderteil gut entwickelt.

Die Skulptur besteht im Jugendabschnitt aus feinen und eng stehenden, subregulären konzentrischen Rippen. Im Altersabschnitt erfolgt ein Übergang zu irregulären konzentrischen Rippen. Der Umschwung kann sehr plötzlich erfolgen. Oft besteht die Skulptur im Altersteil aus schlecht entwickelten, weit auseinander stehenden konzentrischen Undulationen und Anwachslinien.

D i s k u s s i o n : Die von GIERS (1964, Taf. 2, Fig. 3-4) abgebildeten zwei Exemplare sind unvollständig erhalten. Es fehlen die Altersabschnitte und große Teile der Jugendabschnitte. Allerdings sind in Sammlung GIERS andere Exemplare mit gut erhaltenen Altersabschnitten häufig zu finden. Der Altersabschnitt ist nahezu glatt mit sehr schwachen irregulären Skulpturen. Das verändert das ursprüngliche Konzept der Definition bei GIERS und macht andere phylogenetische Beziehungen sichtbar.

Durch die mit Skulptur-Veränderungen verbundenen Wachstumsknicke wird ein Zusammenhang der nachfolgenden Arten in Form einer Gruppe angezeigt: Inoceramus algeriensis HEINZ, I. haldemensis GIERS, und

l. niger HEINZ. Die beiden zuletzt genannten Arten sind leider so schlecht erhalten, daß eine Ableitung genauerer Beziehungen zwischen den verschiedenen Vertretern der Gruppe nicht möglich ist. Aus dieser Gruppe ist nur *l. haldemensis* GIERS durch die Untersuchungen von TRÖGER & RÖHLICH (1982, 1991) genauer bekannt.

ID	Exemplar	Lokalität	Strat.	Giers' Name	Abb.	L	H	S	Al	δ	D	γ	α	H/L	S/L
	RE: A 1200	Bosenberg	Vorhelmer-S.	E. impressa						36					
2	RE: A 1202	Bosenberg	Vorhelmer-S.	E. impressa	T. 23, F. 2	65.2	41	41	60.9	27	6	138	150	0.63	0.63
3	RE: A 1253	Ruhr & Co	Vorhelmer-S.	I. balt. balticus	T. 23, F. 1	60	49	35	60	38			120	0.82	0.58
4	RE: A 1338	Bosenberg	Vorhelmer-S.	I. balt. ellipticus	T. 23, F. 3	78	51	45	81	35	10	145	127	0.65	0.58
5	RE: A 1339	Kreuzberg	Vorhelmer-S.	I. balt. ellipticus	T. 23, F. 7	83	53.5	52	77.3	29	9	140	130	0.64	0.62
6	RE: A 1342/1	Tutenbrock	Vorhelmer-S.	I. balt. beckumensis	T. 24, F. 2	76.5	50	53.5	71	30	11	135	118	0.65	0.7
7	RE: A 1342/2	Bosenberg	Vorhelmer-S.	I. balt. ellipticus	T. 24, F. 1	92	57	55	82	25	11	140	128	0.63	0.6
8	RE: A 1344	Bosenberg	Vorhelmer-S.	I. balt. ellipticus	T. 23, F. 5	66.5	47	35	66.5	35	12	142	120	0.71	0.53
9	RE: A 1345/1	Kreuzberg	Vorhelmer-S.	I. balt. ellipticus		56	40	34	54	28				0.71	0.61
10	RE: A 1347	Bosenberg	Vorhelmer-S.	I. balt, ellipticus	T. 24, F. 4	97	61	60	97	28			118	0.63	0.62
11	RE: A 1349	Bosenberg	Vorhelmer-S.	I. balt. ellipticus		94	65.5	54	90	33		135	123	0.7	0.58
12	RE: A 1350	Bosenberg	Vorhelmer-S.	I. balt. ellipticus											
13	RE: A 1351	Kreuzberg	Vorhelmer-S.	I. balt. ellipticus		84	59	50	83	30	11	135	105	0.7	0.6
14	RE: A 1353	Kreuzberg	Vorhelmer-S.	I. balt. ellipticus	T. 24, F. 6	62	44	39	55.8	35	10	135	124	0.71	0.63
15	RE: A 1355	Bosenberg	Vorhelmer-S.	I. balt. ellipticus		70	47	40	72	30				0.67	0.57
16	RE: A 1356	Bosenberg	Vorhelmer-S.	I. balt. ellipticus	T. 24, F. 3	56	42	35	58	32		140	130	0.75	0.62
17	RE: A 1358	Kreuzberg	Vorhelmer-S.	I. balt. ellipticus		. 51	34.5	31	52	28				0.68	0.6
18	RE: A 1360	Bosenberg	Vorhelmer-S.	I. balt. haldernensis		62.5	42	37	64.5	37				0.67	0.59
19	RE: A 1421/1	Bosenberg	Vorhelmer-S.	I. balt. ellipticus											
20	RE: A 1631	Bosenberg	Vorhelmer-S.	I. balt. sublevigatus	T. 23, F. 6	95.5	60	52.4	92	29			128	0.63	0.55
21	RE: A 1636	Bosenberg	Vorhelmer-S.	I. balt. sublevigatus		65	51	40	71	33				0.78	0.61
22	RE: A 1656	Bosenberg	Vorhelmer-S.	I. balt. balt. var.	T. 23, F. 4										
23	RE: A 1665	Bosenberg	Vorhelmer-S.	I. balt. tenuicostatus		72	49	42	68					0.68	0.58
24	RE: A 1683	Bosenberg	Vorhelmer-S.	I. balt, sublevigatus											
25	RE: A 3305	Bosenberg	Vorhelmer-S.	I. sp.											
								-							
	70 60 -		60 -	S/L	Verhäl	tnis bei	Inocera	mus el	lipticus	GIER	s				
					L	1						•			
	50 +		• •	• •		40 -	-			•	• • •				<u> </u>
	40		2 %			4					•				
	н		•			S 30 -	-			•					
	30 +					J									
H	20				-	20 -									\vdash
	10					10 -	-								
H	o 	-+			-	0 -		-	-	+		+			-
H	0	20 40	0 60	80 100		- ()	20	40	60		80	100		-
\vdash			L		-	1				L					-
ш															

Abb. 20: Bemerkungen, Messungen und einfache Verhältnisse der Exemplare von *Inoceramus ellipticus* GIERS.

Das von DHONDT abgebildete Exemplar (1993, Taf. 6, Fig. 1) zeigt den für *I. ellipticus* GIERS typischen Umriß, unterscheidet sich aber durch die Ausbildung der Skulptur. Sie besteht aus Hauptrippen mit dazwischen liegenden Anwachsringen. Diese Rippen-Entwicklung wurde bei den untersuchten Exemplaren nicht beobachtet. Leider fehlen auch hier feinstratigraphische Untersuchungen für weitere gesicherte Aussagen.

V o r k o m m e n : Die 8 bekannten Exemplare der Art stammen sämtlich aus dem Interval stobaei/basiplana-Zone bis vulgaris/basiplana-Zone des unt. Ober-Campans von Westfalen.

Inoceramus haldemensis GIERS, 1964 Taf, Fig. 1, 3, 5

non 1932 Cataceramus haldemensis nov. spec.; HEINZ, S. 15.

1964 Inoceramus balticus haldemensis n. subsp.; GIERS, S. 243, Taf. 2, Fig. 2.

non 1967 Inoceramus (Endocostea) balticus cf. haldemensis GIERS; SEITZ, S. 75, Taf. 12, Fig. 3.

?part 1982 Inoceramus balticus haldemensis GIERS; TRÖGER & RÖHLICH, S. 1 104; Taf. 1, Fig. 1-4, 6, 8, ?5, ?7.

?part 1991 Inoceramus (Endocostea) balticus haldemensis; TRÖGER & RÖHLICH, S. 1361, Taf. 1, Fig. 1-4, ?5.

non 1991 Inoceramus (Endocostea) balticus cf. haldemensis; TRÖGER & RÖHLICH, S. 1361, Taf. 1, Fig. 6.

? 1995 Inoceramus (Endocostea) balticus haldemensis; NIEBUHR, Taf. 12, Fig. 11.

H o l o t y p u s: Original zu GIERS (1964, Taf. 2, Fig. 2), hinterlegt im Paläontologischen Museum der Universität Göttingen unter der Nr. MUG 60/92.

Locus typicus: Lemförde-Steinbruch bei Haldem (Westfalen).

Stratum typicum: Ober-Campan (Bostrychoceras polyplocum-Zone)

Material: Holotypus. Die anderen in der Sammlung in Göttingen zu *I. haldemensis* GIERS gestellten Exemplare sind nicht mit der Art konspezifisch. Zwei Exemplare von GIERS im Niedersächsischen Landesamt für Bodenforschung konnten nicht eindeutig identifiziert werden.

Beschreibung des Holotypus kann hier bestätigt werden. Die Untersuchung einer größeren Aufsammlung dieser Art aus Libyen erfolgte durch TRÖGER & RÖHLICH (1981, 1991). Die Arbeit enthält eine Neuabbildung des Typus. Die linke Klappe des Typus ist gut erhalten, die rechte dagegen weitgehend deformiert.

D i s k u s s s i o n : Das durch SEITZ (1967, Taf. 12, Fig. 3) zu *I.* (*E.*) balticus cf. haldemensis GIERS gestellte Exemplar ist durch weit stehende konzentrische Undulationen gekennzeichnet und unterscheidet sich dadurch sehr deutlich vom Holotypus. Eine genauere Einordnung wird durch die sehr starke Verdrükkung unmöglich gemacht. Da es aus dem Grenzbereich Santon/Campan stammt, ist auch die Zugehörigkeit zur *I. haldemensis* -Gruppe im weiteren Sinne fraglich. *Inoceramus haldemensis* GIERS ähnelt sehr stark Formen aus dem untersten Ober-Campan wie *Inoceramus ellipticus* GIERS und *I. bosenbergensis* sp.n. Möglicherweise liegt hier eine ?phyletische/phylogenetische Reihe vor. Bei stärkeren Deformationen ist eine Trennung der 3 Arten nicht möglich.

Vorkommen: Holotypus - Bostrychoceras polyplocum-Zone des Ober-Campan.

Inoceramus planus MÜNSTER, 1836 Taf. 30, Fig. 2, 4

	1834-40 1958	Inoceramus planus MÜNSTER; GOLDFUSS, S. 117, Taf. 113, Fig. 1b (non Taf. 113, Fig. 1a). Inoceramus planus MÜNSTER; KOTSUBINSKY, S. 22, Taf. 7, fig. 30.
?part 1958		Inoceramus regularis d'ORBIGNY; KOTSUBINSKY, S. 19, Taf. 9, Fig. ?34 und 35.
.	1964	Inoceramus planus MÜNSTER; GIERS, S. 246, Taf. 3, Fig. 2.
non	1968	Inoceramus planus MÜNSTER; KOTSUBINSKY, S. 147, Taf. 29, Fig. 7.
?part 1968		Inoceramus regularis d'ORBIGNY; KOTSUBINSKY, S. 143, Taf. 29, Fig. ?1, 2.
	1974	Inoceramus regularis ORBIGNY; KOTSUBINSKY & SAVTCHINSKA, p. 85, Taf. 21, Fig. 2 und Taf. ?23, Fig. 1.
?	1978	Inoceramus cf. planus MÜNSTER; SORNAY & BILOTTE, S. 5, Taf. 3, Fig.1.
?	1979	Inoceramus planus MÜNSTER; IVANNIKOV, S. 71, Taf. 22, Fig. 1.
non	1993	Inoceramus aff. planus MÜNSTER; DHONDT, S. 217, Taf. 3, Fig. 1.

L e c t o t y p u s : Nach der Festlegung von GIERS (1964) Original zu GOLDFUSS (1834-1840, Taf. 113, Fig. 1b).

Locus typicus: Haldem (Westfalen)

Stratum typicum: Bostrychoceras polyplocum-Zone des Ober-Campan

M a t e r i a I: Das Original zu GIERS (1964, Taf. 3, Fig. 2, und hier abgebildet Taf. 30, Fig. 4) aus der Sammlung der Universität Göttingen, *B. polyplocum-*Zone von Haldem, Westfalen, und ein kleines Exemplar RE: A 1672 (Taf. 30, Fig. 2) aus den Vorhelmer Schichten, *stobaei/basiplana* und *vulgaris/basiplana*-Zonen, Bosenberg, Westfalen.

B e s c h r e i b u n g : Klein bis mittelgroß, ungleichseitig, gleichklappig. Abgerundeter nach hinten verlängerter Umriß. Vorder-, Ventral- und Hinterrand abgerundet konvex. Schloßrand gerade mittellang. Die Klappen sind fast flach mit einer sehr schwachen Wölbung in der Wirbelregion. Wirbel leicht über den Schloßrand ragend. Die Skulptur besteht im Jugendabschnitt aus eng stehenden regulären Anwachsringen. Der Altersabschnitt ist glatt oder trägt irreguläre flache konzentrische Undulationen.

D i s k u s s i o n : Bereits GIERS (1964) führte aus, das die Diagnose von *Inoceramus planus* MÜNSTER nur für das größere der von GOLDFUSS abgebildeten Exemplare (Taf. 113, Abb. 1b) zutrifft. Diese Art wurde mehrfach in der Literatur abgebildet – aber unter dem Namen *Inoceramus regularis* d'ORBIGNY (z.B. KOTSUBINSKY, 1958, 1968; KOTSUBINSKY & SAVTCHINSKA 1974). *Inoceramus regularis* d'ORBIGNY unterscheidet sich von *Inoceramus planus* MÜNSTER deutlich durch die nach hinten verlängerte Schale. Das erinnert an Vertreter der Gattung *Cataceramus*. *Inoceramus planus* MÜNSTER selbst besitzt hohe ∂ -Werte und andere Skulpturen, die mehr an *Platyceramus* ex gr. *cycloides* (siehe Bemerkungen in SORNAY & BILLOT 1978 sowie GIERS 1964) erinnert. Neben dem Typus enthält das untersuchte Material einzelne Exemplare (No. RE A 1672 - Taf. 30, Fig.2), die dem Typus entsprechen. Aus den Beckumer Schichten stammen außerdem drei untersuchte Exemplare (Nr. RE A 1262, RE A 1675 und RE A 1676 - sehe Taf. 7, Fig. 2, 4, 6), die dem Typus nahestehen und zu *Inoceramus* aff. *planus* MÜNSTER gezählt wurden.

V o r k o m m e n : Genau datierte Exemplare sind nur aus Westfalen bekannt. Sie sind auf das Intervall vom unteren Ober-Campan (*stobaei/basiplana*-Zone) bis zur *B. polyplocum*-Zone beschränkt. Aus Osteuropa sind die Formen aus dem Ober-Campan beschrieben.

Inoceramus tausiensis ALIEV, 1954

Taf. 19, Fig. 1, 4, 8

part 1939 Inoceramus cordiformis SOWERBY var. azerbaydjanensis var. nov.; ALIEV, S. 228, Taf. 3, Fig. 3 (non Taf. 2, Fig. 2).

1954 Inoceramus tausiensis sp. n.; ALIEV, S. 97, nicht nummerierte Taf, Fig. 5.

1969 Inoceramus tausensis ALIEV; KHALAFOVA, S. 202, Taf. 23, Fig. 1.

1969 Inoceramus azerbaidjanensis subvastus subsp. nov.; KHALAFOVA, S. 209, Taf. 23, Fig. 6.

Holotypus (Monotyp): Original zu ALIEV (1954, Fig 5 der nicht nummerierten Tafel). Das Original ist im Geologischen Institut Gubkin in der Aserbaidschanischen Akademie der Wissenschaften hinterlegt.

Locus typicus: Tauza-Berg im Tauza-Gebiet (Aserbaidschan).

Stratum typicum: ?Unt. Campan

Material : Eine Übersicht über das Material und die durchgeführten Messungen gibt Abb. 21.

ID	Exemplar	Lokalität	Stratigr.	Giers' Name	Abbildung	L	H	S	Al	δ	D	γ	α	H/L	S/Al
	RE: A 1420	Bosenberg	Vorhelmer-S.	I. balt. marcki	T. 20, F. 8	58	47.5	40	62.5	35	8	140		0.82	0.64
	RE: A 1441	Bosenberg	Vorhelmer-S.	1. balt. pteroides	T. 20, F. 4										
	RE: A 1646	Bosenberg	Vorhelmer-S.	I. balt. tenuicostatus	T. 20, F. 1										

Abb. 21: Bemerkungen, Messungen und einfache Verhältnisse der Exemplare von *Inoceramus tausiensis* ALIEV.

Beschreibung: Klein bis mittelgroß, gleichklappig, ungleichseitig. Gut entwickelte Achsenfurche. Im Gegensatz zu *I. azerbaydjanensis* ALIEV fehlt die Vorderfurche. Vorderrand konvex gerundet. Wirbel spitz zulaufend, schmal und über den Schloßrand ragend. Hinterflügel mittelgroß, subdreieckig, gut vom Schalenkörper abgesetzt. Mehr oder minder deutlich ausgebildete Flügelfurche. Die Skulptur besteht aus eng stehenden, scharfkantigen Anwachsringen, konkav im Achsenteil, gut entwickelt in den mittleren und ventralen Teilen.

D i s k u s s i o n : Unterschiede zu I. azerbaydjanansis ALIEV - siehe bei der Beschreibung dieser Art.

V o r k o m m e n: Im Untersuchungsgebiet lediglich in der stobaei/basiplana - vulgaris/basiplana-Zonen des unteren Ober-Campan. Für die Exemplare aus Osteuropa fehlen genauere stratigraphische Angaben. Sie kommen allerdings hier im Hangenden der vertikalen Verbreitung von *C. dariensis* (DOBROV & PAVLOVA) vor. Das entspricht den Verhältnissen in Mitteleuropa.

Inoceramus sp.

Taf. 24, Fig. 6

1974 Inoceramus sagensis OWEN; KOTSUBINSKY & SAVTCHINSKA, S. 85, Taf. 24, Fig. 2.

M a t e r i a I: Einzelne doppelklappige Steinkerne aus der *B. polyplocum-*Zone von Haldem (hinterlegt in der Sammlung der Universität Göttingen).

Beschreibung: Mittelgroß, ungleichseitig, ?gleichklappig. Schwach gewölbt mit einem gerundeten Umriß. Vorderrand lang und konvex, geht kontinuierlich in den Ventralrand über. Hinterflügel nicht vollständig erhalten, scheint schwach von dem Schalenkörper abgesetzt zu sein. Wirbel zentral, spitz zulaufend und über den Schloßrand ragend. Die Skulptur besteht aus subregulär konzentrischen Rippen mit regelmäßig zunehmenden Abständen zwischen den Rippen. Im Ventralteil sehr schwache Skulptur bzw. glatte Schale. Kein mit Skulpturwechsel verbundener Wachstumsknick.

D i s k u s s i o n : Das untersuchte Stück unterscheidet sich von allen übrigen Inoceramen-Arten, die aus dem Unter-Campan und basalen Ober-Campan Mitteleuropas bekannt sind. GIERS (in sched.) stellte das Exemplar zu *Inoceramus planus* MÜNSTER. Durch den geraden Umriß, die schnell zunehmenden Abstände zwischen den Rippen sowie die irreguläre Skulptur im Ventralteil unterscheidet es sich aber deutlich von *Inoceramus planus* MÜNSTER. Gleiche Formen im gleichen stratigraphischen Horizont (*B. polyplocum-*Zone) habe ich im Weichsel-Profil nachgewiesen. Vermutlich gehört zu dieser Art auch das Exemplar aus dem Ober-Campan der Ukraine, das durch KOTSUBINSKY & SAVTCHINSKA (1974, Taf. 4, Fig. 3) nachgewiesen wurde.

V o r k o m m e n : Mittel-Polen und Westfalen: *B. polyplocum*-Zone. Das Exemplar aus der Ukraine ist nicht genau datiert (Ober-Campan).

6. Schriftenverzeichnis

- ALIEV, M.M. (1939): Inoceramidae of the Cretaceous deposits in the northern part of the Minor Caucasus. Trudy Geol. Inst. Akad. Nauk SSSR, Azerb. Fil., **12**/63: 213-259, 3 Abb., 1 Tab., 4 Taf.; Baku. (in russisch)
- (1952): New species of *Inoceramus* from the Campanian of the NE part of the Small Caucasus. Dokl. Acad. Nauk Azerbaydjanskoy SSR, **8** (11): 601-603, 1 tAF.; Baku (In Russisch).
- (1954): New data on *Inoceramus azerbaidjanensis* Aliev. Dokl. Akad. Nauk Azerb. SSR, **10** (2): 95-98, 1 Taf.; Baku (in Russisch).
- (1978): The stratigraphic importance and the distribution of *Inoceramus agdjakendensis* Alijev M. and *Inoceramus gandjaensis* Alijev M. Izv. Akad. Nauk Azerb. SSR, 5 (1978): 1-8, 1 Abb.; Baku (in Russisch).
- (1979): Stratigraphical position and geographical distribution of *Inoceramus azerbaidjanensis* Aliev M. Izv. Akad. Nauk SSSR, Ser. Geol., 1 (1979): 76-82, 1 Abb.; Baku (in Russisch).
- & KHARITONOV, V.M. (1981): Stratigraphic distribution of *Inoceramus* in the Upper Cretaceous deposits of Azerbaijan.
 Izv. Akad. Nauk Azerb. SSR, 2 (1981): 3-13, 2 Tab.; Baku (in Russisch).
- , PAVLOVA, M.M. & KHARITONOV, V.M. (1981): Stratigraphic distribution of the Upper Cretaceous deposits of Daghestan as based on inoceramids.
 Izv. Akad. Nauk Azerb. SSR, 4(1982): 4-11; Baku (in Russisch).
- ANTUNES, M.T. & SORNAY, J. (1969): Contribution a la connaissance du Crétacé supérieur de Barra do Dande, Angola. Revista Faculd. Ciênc. Universid. Lisboa, 2ac, Ser. C, 16 (1): 65-103, 1 Tab., 10 Taf.; Lisboa.
- ARZUMANOVA, E.M. (1965): New representatives of the faimily Inoceramidae in the Lower Campanian deposits of the eastern Kopet-Dag. Izv Akad. Nayk, Turkmesnkoy SSR, Ser. Fizyk.-Tekhn. i Geol. Nauk, 1 (1965): 100-110. 4 Taf.; Ashabad (in Russisch).
- ATABEKIAN, A.A. (1979a): Correlation of the Campanian stage in Kopetdag and Western Europe. Aspekte der Kreide Europas. IUGS Series A, 6: 511-526, 7 Tab.; Stuttgart.
- (1979b): Inoceramids of the Santonian/Campanian boundary beds of the Aktiubinsk region.
 In: PAPULOV, G.N. & NAIDIN, D.P. (Eds): The Santonian/Campanian boundary on the Easteuropean Platform. 42-65, 4 Taf.; Sverdlovsk (in Russisch).
- & BOBKOVA, N.N. (1974): Cretaceous System. Bivalves. In: Atlas of fossils of the Armenian SSR. 211-218, Taf. 102-112. Erevan (in Russisch).
- BLASZKIEWICZ, A. (1980): Campanian and Maastrichtian ammonites of the Middle Vistula River Valley, Poland: a stratigraphic-paleontological study. Prace Inst. Geol., 92: 1-63, 2 Abb., 32 Tab., 56 Taf.; Warszawa.
- BÖHM, J. (1909): Inoceramus Cripsi auct. Abhandl. König. Preuss. Geol. Landesanst., N.F., 56: 41-58, Taf. 9-14; Berlin.

- CHIPLONKAR, G.W. & BADVE, R.M. (1976): On some inoceramid species occurring in the Bagh Beds of Narmada Valley. J. Univ. Poona, Sci. Tech., **48**: 195-209, 2 Taf.; Poona.
- CHRISTENSEN, W.K., ERNST, G., SCHMID, F., SCHULZ, M.-G. & WOOD, C.J. (1975): *Belemnitella mucronata mucronata* (Schlotheim, 1813) from the Upper Campanian: neotype, biometry, comparisons and biostratigraphy. Geol. Jb., **A28**: 27-57, 5 Abb., 5 Tab., 3 Taf.; Hannover.
- COBBAN, W.A. & KENNEDY, W.J. (1993): Middle Campanian ammonites and inoceramids from the Wolf City Sands in northeastern Texas. J. Paleont., 67 (1): 71-82, 8 Abb.; Lawrence.
- DHONDT, A.V. (1993): Upper Cretaceous bivalves from Tercis, Landes, SW France. Bull. Inst. Roy. Sci. Nat. Belgique, Sci. Terre, 63: 211-259, 16 Abb., 2 Tab., 7 Taf.; Bruxelles.
- DOBROV, S.A. & PAVLOVA, M.M. (1959): Inoceramidae. In: MOSKVIN, M.M. (Ed.): Atlas of the Upper Cretaceous fauna of northern Caucasus and Crimea. 130-165, 23 Taf.; Moscow (in Russisch).
- GIERS, R. (1958): Die Mukronatenkreide im östlichen Münsterland. Beih. Geol. Jb., 34: 1-148, 12 Abb., 39 Prof., 4 Taf.; Hannover.
- (1964): Die Großfauna der Mukronatenkreide (unteres Obercampan) im östlichen Münsterland. Fortschr. Geol. Rheinld.
 u. Westf., 7: 213-294, 10 Abb., 3 Tab., 8 Taf.; Krefeld.
- ERNST, G. (1963): Stratigraphische und gesteinschemische Untersuchungen im Santon und Campan von Lägerdorf (SW-Holstein). Mitt. Geol. Staatsinst. Hamburg, 32: 71-127, 8 Abb., Taf. 13-14; Hamburg.
- (1964): Ontogenie, Phylogenie und Stratigraphie der Belemnitengattung Gonioteuthis Bayle aus dem nordwestdeutschen Santon/Campan. Fortschr. Geol. Rheinl. Westfal., 7: 113-174, 24 Abb., 4 Tab., 4 Taf.; Krefeld.
- (1968): Die Oberkreide-Aufschlüsse im Raume Braunschweig-Hannover und ihre stratigraphische Gliederung mit Echinodermen und Belemniten.
 1. Teil: Die jüngere Oberkreide (Santon Maastricht).
 Beih. Ber. Naturhist. Ges., 5: 235-284, 7 Abb., 1 Tab.; Hannover.
- , SCHMID, F & KLISCHES, G. (1979): Multistratigraphische Untersuchungen in der Oberkreide des Raumes Braunschweig-Hannover. Aspekte der Kreide Europas. IUGS Series A, 6: 11-46, 15 Abb.; Stuttgart.
- GOLDFUSS, A. (1833-1841): Petrefacta Germaniae. 1-312. Arnz & Co., D12:51 Düsseldorf.
- HARRIES, P.J., KAUFFMAN, E.G. & CRAMPTON, J.S. (Redactors) (1996): Lower Turonian Euramerican Inoceramidae: a morphologic, taxonomic, and biostratigraphic overview. Mitt. Geol.-Paläont. Inst. Univ. Hamburg, 77: 641-671, 8 Abb.; Hamburg.
- HAUSCHKE, N. (1994): Temporäre Aufschlüsse im Campan des nordwestlichen Münsterlandes in den Jahren 1990-1992, unter besonderer Berücksichtigung der Fossilfunde. Geol. Paläont. Westf., 32: 41-111, 6 Abb., 24 Taf.; Münster.
- HEINZ, R. (1928): Über die bisher wenig beachtete Skulptur der Inoceramen-Schale und ihre stratigraphische Bedeutung. Beiträge zur Kenntnis der oberkretazischen Inoceramen IV. Mitt. Miner.-Geol. Staatinst., 10: 5-39, 5 Abb., 3 Taf.; Hamburg.
- (1932a): Zur Gliederung der sächsisch-schlesisch-böhmischen Kreide unter Zugrundelegung der norddeutschen Stratigraphie. Jahrber. Nieders. Geol. Vereins Hannover. 24: 24-53; Hannover.
- (1932b): Aus der neuen Systematik der Inoceramen. Beiträge zur Kenntnis der Inoceramen XIV. Mitt. Miner.-Geol. Staatinst. in Hamburg, 13: 1-26; Hamburg.
- (1933): Inoceramideos de Alicante, Valencia y Baleares. Contribuciones al conocimiento de los Inoceramidos XV. Bol. Soc. Espanola, Hist. Nat., 36 (13): 91-98, Taf. 13.; Madrid.
- IVANNIKOV, A.V. (1979): Inoceramids of the Upper Cretaceous deposits of SW part of the Easteuropean Platform. 1-102, 6 Abb., 32 Taf.; Naukova Dumka; Kiev (in Russisch).
- JOLKI»EV, N. (1962): Inoceramen aus dem Maastricht Bulgariens. Travaux sur la Géologie de Bulgarie, Série Paléontologie, **4**: 133-169, 2 Abb., 8 Taf.; Sofia (in Bulgarisch mit deutschen Kurzfassung).
- KAPLAN, U., KENNEDY, W.J. & ERNST, G. (1996): Stratigraphie und Ammonitenfauna des Campan im südöstlichen Münsterland. Geol. Paläont. Westf., **43**: 1-133, 3 Abb., 41 Taf.; Münster.
- KAUFFMAN, E.G., SAGEMAN, B.B., KIRKLAND, J.I., ELDER, W.P., HARRIES, P.J. & VILLAMIL, T. (1993): Molluscan biostratigraphy of the Cretaceous Western Interior Basin, North America. - In: CALDWELL, W.G.E. & KAUFFMAN, E.G. (Eds): Evolution of the Western Interior Basin. - Geological Association of Canada, Special Paper, 39: 397-434; Ottawa.
- KENNEDY, W.J. & KAPLAN, U. (1995): Parapuzosia (Parapzosia) seppenradensis (LANDOIS) und die Ammonitenfauna der Dülmener Schichten, unteres Unter-Campan, Westfalen. Geol. Paläont. Westf., 33: 1-127, 7 Abb., 43 Taf.; Münster.
- KHALAFOVA, R.A. (1966): New inoceramid species from the Senonian deposits of Daghestan. Dokl. Akad. Nauk Azerb. SSR, **22** (2): 52-56, 29 Taf.; Baku (in Russisch).
- KHARITONOV, V.M. (1974): Bivalves of the Upper Cretaceous deposits of Daghestan and their biostratigraphical importance. Unpublished Ph.D. thesis, Geological-Research Faculty of the Oil Institute, Baku; Baku (in Russisch).
- KOTSUBINSKY, S.P. (1958): Inoceramids of the Cretaceous deposits of the Volhynian-Podolian Region. 1-49, 3 Abb., 9 Taf.; Lvivskij Naukovo-Prirodoznavtchij Muzei, Academy of Sciences of the Ukrainian SSR; Lvov (in Ukrainisch).

- (1968): Inoceramus. In: PASTERNAK, S.I., GAVRILISHIN, V.I., GINDA, V.A., KOTSUBINSKY, S.P. & SENKOVSKIJ, Y.M: Stratigraphy and fauna of the Cretaceous strata of western Ukraine (without the Carpathians). 117-148, Taf. 16-29; Naukova dumka; Kiev (in Ukrainisch).
- & SAVTCHINSKA, O.V. (1974): Class Bivalvia.
 In: KRIMHOLTZ, G.I., BLANK, M.I., NAIDIN, D.P. & SAVTCHINSKA, O.V. (Eds): Atlas of the Upper Cretaceous fauna of the Donbass. 67-118, Tab. 5, Taf. 11-40; Nedra; Moscow (in Russisch).
- KUZNETZOV, V.I. (1968): Stratigraphy and inoceramids of the Upper Cretaceous deposits of Tuarkyr. Unpublished summary of Ph.D. Thesis. 1-18; Leningrad.
- LOPEZ, G. (1986): Inoceramidos del Cretacico superior de los alrededores de St. Corneli (Prov. Lleida). Univ. Autonoma de Barcelona, Publicaciones de Geologia, 22: 1-106, 32 Abb., 8 Taf.; Barcelona.
- LUPU, D. & SORNAY, J. (1978): Noi date biostratigrafice asupra senonianului din regiunea Vidra (Munti Metaliferi). St. Cerc. Geol., Geofiz., Geogr., Geologie, 23 (1): 73-82, 2 Abb., 5 Taf.; Bucuresti.
- MASSLENNIKOVA, L.H. (1982): Inoceramids. In: Atlas of the Invertebrates of the Late Cretaceous seas of the Prikaspian syneclise. 82-96, Taf. 7-10; Nauka; Moscow (in Russisch).
- MEEK, F.B. (1876): A report on the Invertebrate Cretaceous and Tertiary Fossils of the Missouri Country. Report of the U.S. Geological Survey of the Territories (Hayden), 9: 1-629; Washington.
- MORRIS, N.J. (1995): Maastrichtian Inoceramide from the United Arab Emirates-Oman border region. Bull. Nat. Hist. Mus. Lond. (Geol.), **51** (2): 257-265, 2 Abb., 2 Taf.; London.
- NIEBUHR, B. (1995): Fazies-Differenzierungen und ihre Steuerungsfaktoren in der höheren Oberkreide von S-Niedersachsen/Sachsen-Anhalt (N-Deutschland). Berliner Geowiss. Abh., (A), **174**: 1-131, 43 Abb., 6 Tab., 12 Taf.; Berlin.
- (1996): Die Scaphiten (Ammonoidea, Ancyloceratina) des höheren Obercampan der Lehrter Westmulde östlich Hannover (N-Deutschland). Berliner Geowiss. Abh., **E18**: 267-287, 4 Abb., 4 Tab., 4 Taf.; Berlin.
- & ERNST, G. (1991): Faziesgeschichte und Entwicklungsdynamik von Campan, Maastricht und Eoz12:51 PMn im Beienroder Becken (E-Niedersachsen). Z. Dt. Geol. Ges., **142**: 251-283, 9 Abb., 4 Taf.; Hannover.
- NODA, M. (1980): Some inoceramid species (Cretaceous Bivalvia) from the Sukumo-Nakamura area, Shikoku. In: TAl-RA, A. & TASHIRO, M. (Eds): Geology and Paleontology of the Shimanto Belt selected papers in honor of Prof. Jiro KATTO. 265-282, 5 Abb., 9 Tab., Taf. 42-44; Rinyakosaikai Press; Kochi (in Japanisch).
- (1983): Some Cretaceous Inoceramids (Bivalvia) from the Ominega-dai Hills of Matsuyama, Shikoku. In: Memorial Papers of Late Prof. Michtoshi Miyahisa, Earth Sci., Ehime. 103-117, 10 Abb., 4 Tab., 5 Taf.; Shikoku (in Japanisch).
- & KANIE, Y. (1978a): Campanian *Inoceramus* from the Menabe Area, Southwestern Madagascar. Part I. Bull. Nat. Sci. Museum, Ser. C (Geol. & Paleont.), **4** (1): 11-32, 20 Abb., 10 Tab., 4 Taf.; Tokyo.
- & (1978b): Campanian *Inoceramus* from the Menabe Area, Southwestern Madagascar. Part II. Bull. Nat. Sci. Museum, Ser. C (Geol. & Paleont.), 4 (2): 63-72, Abb. 21-28, Tab. 11-14, Taf. 5-8; Tokyo.
- D'ORBIGNY, A. de (1845): Paléontologie Française. Terrains Crétacés. Lamellibranches. 1-807. Paris.
- PAULIUC, S. (1968): Studiul geologic al Persanilor centrali cu privire speciala la Cretacicul superior. Studii Techn. Econ., Ser. J, Stratigrafie, 4: 1-112, 23 Abb., 1 Tab., 42 Taf.; Bucuresti.
- PERGAMENT, M.A. (1968): Stages of the Inoceramid evolution in light of the geochronology. Paleont. Zh, 1 (1967): 32-40, 3 Tab.; Moscow (in Russisch).
- & SMIRNOV, J.P. (1972): Vertical distribution and stratigraphic importance of Inocerams in the Upper Cretaceous section of Daghestan. - In: PERGAMENT, M.A. (Ed.): Transactions of the All-Union colloquium on Inocerams. 94-113, 7 Abb.; Moscow (in Russisch).
- PERVINQUIÈRE, L. (1912): Ètudes de Paléontologie Tunisienne. II. Gastropodes et lamellibranches des Terrains Crétacés. Carte Géol. Tunisie. 1-352 S. Paris.
- PETRASCHECK, W. (1906): Ueber Inoceramen aus der Gosau und dem Flysch der Nordalpen. Jahrb. Geol. Reichsanst., **56**: 155-168, 3 Abb, Taf. 6; Wien.
- QUAAS, A. (1902): Beitrag zur Kenntnis der Fauna der obersten Kreidebildungen in der libyschen Wüste (Overwegschichten und Blätterthone). Palaeontographica, **30** (2): 153-336. Stuttgart.
- RENNGARTEN, V. (1926): La faune des dépôts cretacés de la region d'Assa-Kambiléevka, Caucase du Nord. Mém. Comite Géol., N.S., 147: 1-132, 1 Tab., 9 Taf.; Leningrad.
- REYMENT, R.A. (1955): Upper Cretaceous Mollusca (Lamellibranchia and Gastropoda) from Nigeria. Colon. Geol. Min. Res., 5 (2): 127-155, 2 Abb., 4 Taf.; London.
- RIEGRAF, W. (1995): Radiolarien, Diatomeen, Cephalopoden und Stratigraphie im pelagischen Campanium Westfalens (Oberkreide, NW-Deutschland). N. Jb. Geol. Paläont. Abh., **197** (2): 129-200, 22 Abb., 2 Tab.; Stuttgart.
- ROEMER, F. (1852): Die Kreidebildungen von Texas und ihre organischen Einschlüsse. 1-100 S.; Bonn.
- SEITZ, O. (1961): Die Inoceramen des Santon von Nordwestdeutschland. I. Teil (Die Untergattungen *Platyceramus, Cladoceramus* und *Cordiceramus*). Beih. Geol. Jb., **46**: 1-186, 39 Abb., 15 Taf.; Hannover.
- (1965): Die Inoceramen des Santon und Unter-Campan von Nordwestdeutschland. II Teil (Biometrie, Dimorphismus und Stratigraphie der Untergattung Sphenoceramus J. BÖHM).
 - Beih. Geol. Jb., 69: 1-194, 11 Abb., 49 Tab., 20 Taf.; Hannover.

- (1966): Die Hohlkehle bei Inoceramen des Santon und Unter-Campan, ein Pseudo-Skulptur-Element. Geol. Jb., 84: 189-192, 6 Abb., 4 Taf.; Hannover.
- (1967): Die Inoceramen des Santon und Unter-Campan von Nordwestdeutschland. III Teil (Taxonomie und Stratigraphie der Untergattungen Endocostea, Haenleinia, Platyceramus, Cladoceramus, Selenoceramus und Cordiceramus mit besonderer Berücksichtigung bei diesen Untergattungen). Beih. Geol. Jb., 75: 1-171, 27 Abb., 8 Tab., 27 Taf.; Hannover.
- SORNAY, J. (1957): Inoceramus goldfussi dORBIGNY. Palaeontologia Universalis, N.S., 57, 3 Abb.; Paris.
- (1957): Inoceramus impressus d'ORBIGNY. Palaeontologia Universalis, N.S., 129, 5 Abb.; Paris.
- (1962): Étude d'une faune d'Inocérames du Sénonien supérieur des Charentes et descrip tion d'une espéce nouvelle du Sénonien de Madagascar. - Bull. Soc. Geol. France, Sér. 7, 4: 118-122, 1 Abb., Taf. 7; Paris.
- (1968): Inocérames sénoniens du sud-ouest de Madagascar.
 Annal. Paléont. (Invertébrés), 54 (1): 25-47, 11 Abb., 8
 Taf.; Paris.
- (1975): Trois especes nouvelles dinocérames du Sénonien en Madagascar. Annal. Paléontologie (Invertébrés), 61 (1): 19-29, 6 Abb., 6 Taf.; Paris.
- (1976): La faune d'Inocérames de Dau (Région de Royan, Charante-Maritime) et remarques sur deux especes de dOrbigny: I. regularis et I. goldfussi. Annal. - Paléontologie (Invertébrés), 62 (1): 1-18, 5 Abb., 5 Taf.; Paris.
- (1982): Sur la faune d'Inocerames de la Smectite de Herve (Campanien) et sur quelques Inocerames du Campanien et du Maastrichtiene de la Belgique. Bull. Inst. Roy. Sci. Nat. Belgique, **54** (4): 1-15, 3 Abb., 4 Taf.; Bruxelles.
- & BILLOTE, M. (1978): Faunes d'Inocérames du Campanien et du Maastrichtien des Pyrénées. Annal. Paléontologie (Invertébrés), **64** (1): 27-45, 4 Abb., 6 Taf.; Paris.
- SCHULZ, M.-G., ERNST, H. & Schmid, F. (1984): Coniacian to Maastrichtian stage boundaries in the standard section for the Upper Cretaceous white chalk of NW Germany (Lägerdorf Kronsmoor-Hemmoor): Definitions and proposals. Bull. geo. Soc. Denmark, 33: 203-216; Kopenhagen.
- TRÖGER, K.-A. 1968. Bemerkungen zur Variabilität von *Inoceramus balticus* Böhm aus der subherzynen Kreide. Freiberger Forschungshefte, **C213**: 7-21, 9 Abb., 2 Taf.; Leipzig.
- (1989): Problems of Upper Cretaceous Inoceramid Biostratigraphy and Paleobiogeography in Europe and Western Asia. - In: WIEDMANN, J. (Ed.): Cretaceous of the Western Tethys. 911-930, 8 Abb.; E. Schweizerbartsche Verlagsbuchhandlung; (Nägele u. Obermiller). Stuttgart.
- & RÖHLICH, P. (1981): Inoceramus (Selenoceramus) ghadamensis n. sp. from the Upper Cretaceous of NW Libya. -Věstn. Ústřed. Úst. Geol., 56 (3): 169-175, 5 Abb., 2 Taf.; Praha.
- & (1982): Zur Variabilität von *Inoceramus balticus haldemensis* GIERS aus dem Campan von Libyen. Freiberger Forschungshefte, **C375**, 101-111, 8 Abb., 3 Tab., 1 Taf.; Leipzig.
- & (1983): Inoceramus taninensis sp. n. from the Campanian of NW Libya. Věstn. Ústřed. Úst. Geol., 58 (3): 179-184,
 5 Abb., 2 Taf.; Praha.
- & (1991): Campanian Maastrichtian inoceramid (Bivalvia) assemblages from NW Libya. In: SALEM, M.J., HAMMU-DA, O.S. & ELIAGOUBI, B.A. (Eds): The Geology of Libya, Vol. 5. 1357-1381, 19 Abb., 1 Tab., 5 Taf.; Elsevier; Amsterdam London New York Tokyo.
- TZANKOV, V. (1981): Bivalvia I. In: TZANKOV, V. (Ed.): Les fossiles de Bulgarie, V. Crétacé Supérieur, Grandes foraminiferes, Anthozoaires, Gastéropodes, Bivalvia. 73-151, Taf. 22-44; Sofia.
- VOIGT, S. (1996): Paläobiogeographie oberkretazischer Inoceramen und Rudisten Ozeanographische und klimatologische Konsequenzen einer neuen Paläogeographie. Münchener Geowiss. Abh., (A) 31: 1-101, 55 Abb., 2 Anl.; München.
- VOÛTE, C. (1951): Inoceramus algeriensis HEINZ, une espéce mal connue d'Algérie; avec quelques observation sur le mode de vie des Inocérames. Bull. Soc. Geol. France, Ser. 6, 1: 205-211, Taf. 5; Paris.
- WALASZCZYK, I. (1992): Turonian through Santonian deposits of the Central Polish Uplands; their facies development, inoceramid paleontology and stratigraphy. Acta Geol. Polon., 42 (1-2): 1-122, 32 Abb., 18 Tab., 48 Taf.; Warszawa.
- SMIRNOV, J.P. & TRÖGER, K.-A. (1996): Trochoceramid bivalves (Inoceramidae) from the Lower Maastrichtian of Daghestan (Aimaki section, NE Caucasus) and south-central Poland. - Acta Geol. Polon., 46 (1-2): 141-164, 12 Abb., 6 Taf.; Warszawa.
- WHITEAVES, J.F. (1879): On the fossils of the Cretaceous rocks of Vancouver and adjacent islands in the Strait of Georgia. Mesozoic Fossils, Vol. 1, Part. II, Taf. 11-20; Geol. Surv. Canada, Montreal.
- WHITFIELD, R.P. (1880): Paleontology of the Black Hills of Dakota. U.S. Geogr. Geol. Surv. Rocky Mount. Region. In: NEWTON, H. & JENNY, W.P. Report on the geology and resources of the Black Hills of Dakota. 329-470.
- WIPPICH, M.G.E. (1995): Ammoniten aus dem oberen Untercampan des nordwestlichen Münsterlandes (Nordwestdeutschland). Geol. Paläont. Westf., **38**: 43-87, 8 Abb., 11 Taf.; Münster.
- WOODS, H. (1910-1912): A monograph of the Cretaceous Lamellibranchiata of England. Monogr. Palaeontogr. Soc., 2: 261-340, Taf. 45-54; London.

- ZEKELLI, L.F. (1852): Das Genus *Inoceramus* und seine Verbreitung in den Gosaugebilden der östlichen Alpen. Jahresber. Naturwiss. Vereins Halle, **4**: 79-105, 1 Taf.; Halle.
- ZITTEL, K.A. (1866): Die Bivalven der Gosaugebilde in den noröstlichen Alpen (Teil II). Denkschriften der kaiserlichen Akademie der Wissenschaften, Mathematisch-Naturwissenschaftlische Classe, **25**: 1-198, 27 Taf.; Wien.

Fig. 1-2, 5: Sphaeroceramus sarumensis (WOODS, 1911)

Fig. 1-2: Lägerdorf, Sammlung MOSBACH, "G. quadrata-Zone", BGR x 3754; Fig. 1: Seitenan-

sicht, Fig. 2: Dorsalansicht.

Fig. 5: Lägerdorf, Sammlung MOSBACH, "G. quadrata Zone", BGR. x 3755.

x 1.

Figs 3-4: Cataceramus copetdagensis (ARZUMANOVA, 1965)

Beide Exemplare aus Lägerdorf, Sammlung MOSBACH, Fig. 2: BGR x 3756, Fig. 4:

BGR x 3757; ?O. pilula- Zone; Seitenansicht.

x 1.



Cataceramus cf. simpsoni (MEEK, 1876) Lägerdorf, ?O. pilula-Zone, Sammlung MOSBACH, BGR x 3758; Seitenansicht.



Fig. 1: Cataceramus marcki (GIERS, 1964)

Lägerdorf, conica/senior-Zone, Sammlung G. ERNST, FU, unregistriert.

Fig. 2: Cataceramus cf. balticus (BÖHM, 1909)

Lägerdorf, ?O. pilula-Zone, BGR x 3759.

Fig. 3: Cataceramus dariensis (DOBROV & PAVLOVA, 1959)

Lägerdorf, conica/senior-Zone, Sammlung G. ERNST, FU, unregistriert.

Fig. 4: Cordiceramus sp.

Lägerdorf, ?O. pilula-Zone, BGR x 3760.



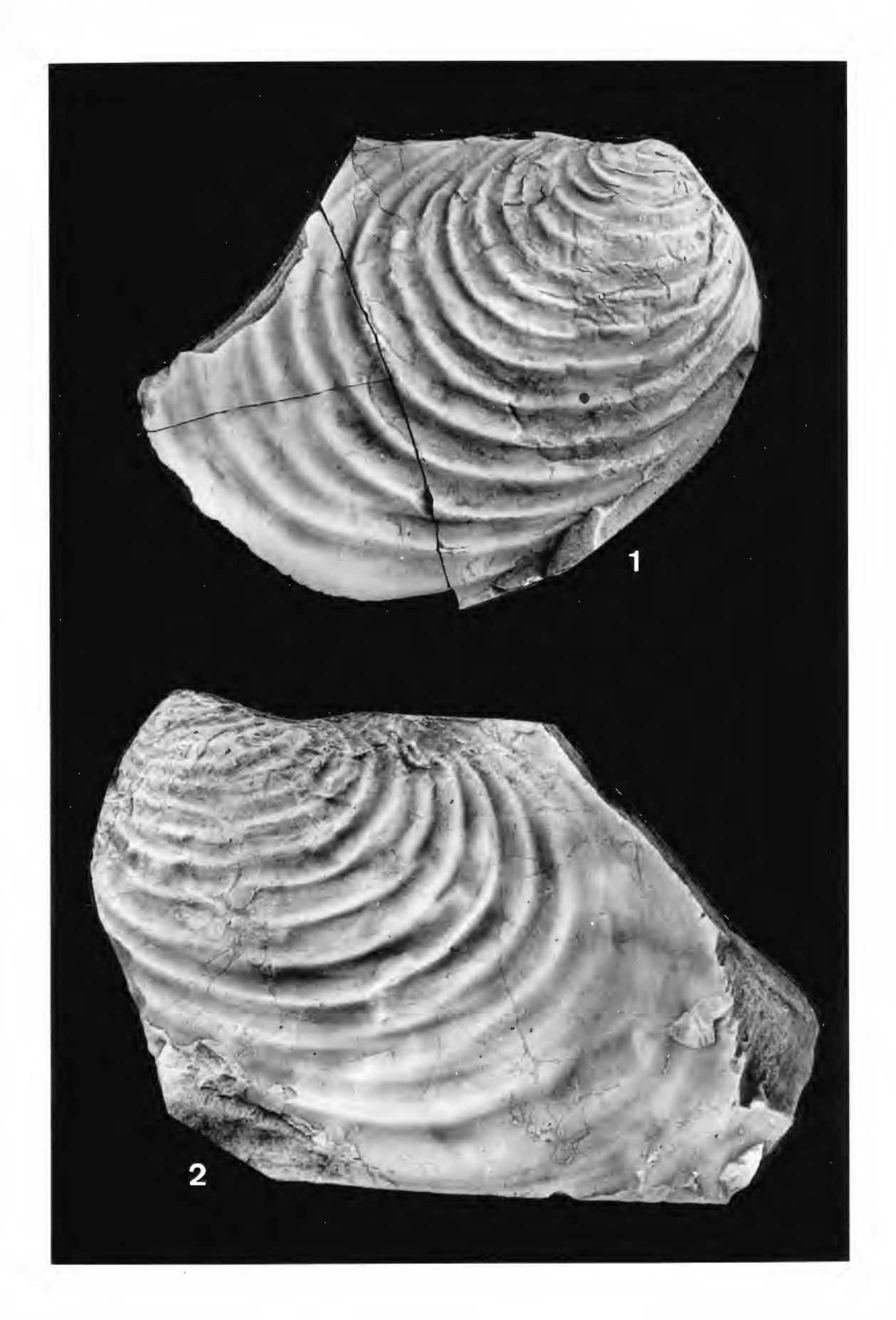
Cataceramus marcki (GIERS, 1964)

Ober-Campan, stobaei/basiplana - vulgaris/basiplana-Zonen, Vorhelmer Schichten, Stein-Fig. 1:

bruch Bosenberg, RE A 1383.

Ober-Campan (conica/mucronata-Zone), Beckumer Schichten, Steinbruch Tutenbrock, Fig. 2:

RE A 1396.



Cataceramus marcki (GIERS, 1964)

Fig. 1: Ober-Campan (conica/mucronata-Zone), Beckumer Schichten, Steinbruch Tutenbrock,

RE A 1412.

Fig. 2: Unter-Campan, Stromberger Schichten, Steinbruch Mühlen, RE A 1666.



Figs 1-4, 6: Cataceramus marcki (GIERS, 1964)

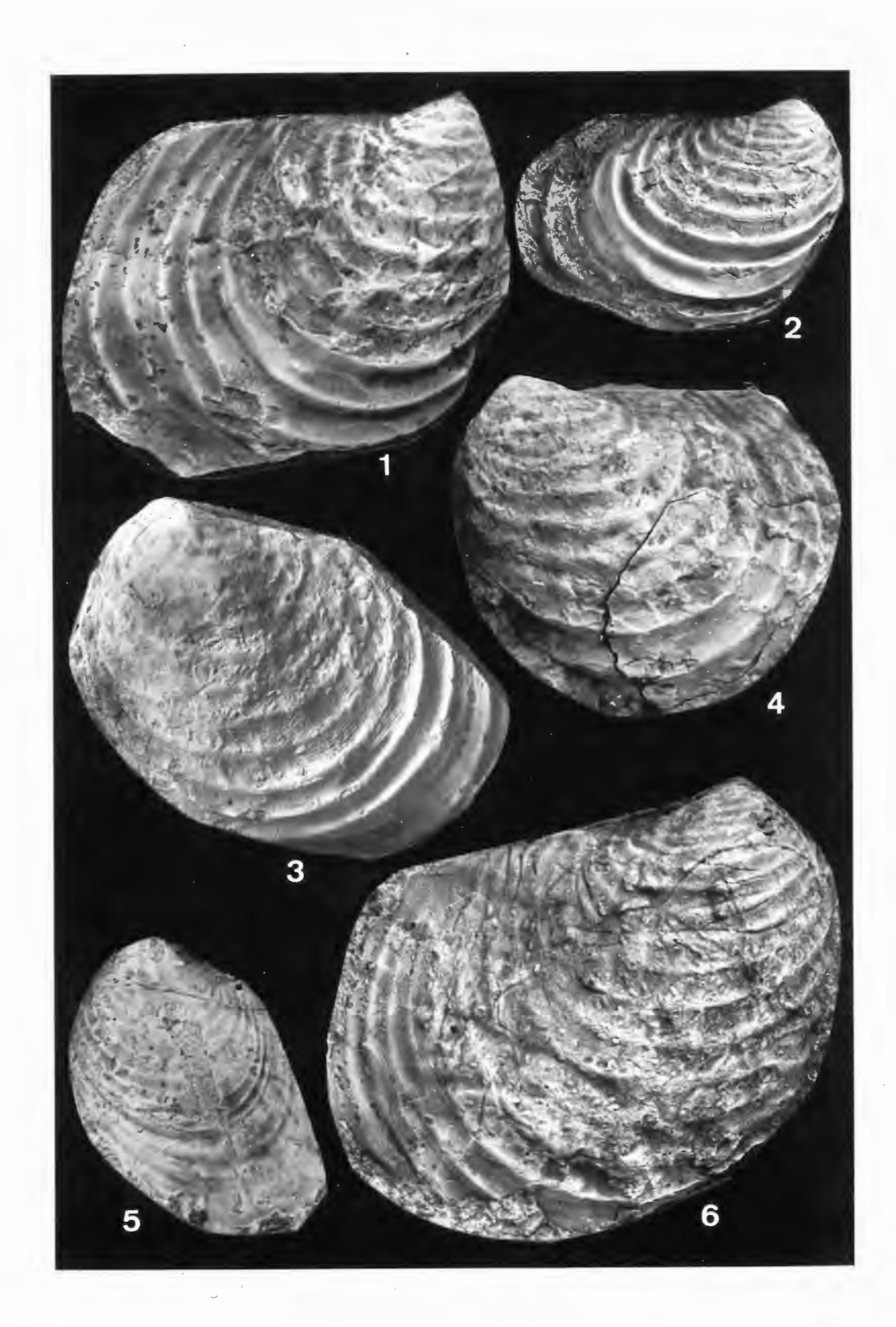
Fig. 1, 4: Ober-Campan (conica/mucronata-Zone), Beckumer Schichten, Neubeckum, Steinbruch Anna, RE A 1370.

Fig. 2-3, 6: Ober-Campan (conica/mucronata-Zone), Beckumer Schichten, Steinbruch Tutenbrock; Fig. 2: RE A 1402, Fig. 3: RE A 1367 und Fig. 6: RE A 1369.

Fig. 5: Platyceramus ex gr. cycloides (WEGNER, 1905)

Ober-Campan (basiplana/stobaei - vulgaris/basiplana-Zonen), Vorhelmer Schichten,

Steinbruch Bosenberg, RE A 1200, eine von GIERSschen E. impressa.



Figs 1, 3, 5: Cataceramus marcki (GIERS, 1964)

Fig. 1: Ober-Campan (conica/mucronata-Zone), Beckumer Schichten, Zementsteinbruch

Dyckerhoff (damals Steinbruch Schlenkhoff), RE A 1382.

Fig. 3 und 5: Ober-Campan (conica/mucronata-Zone), Beckumer Schichten, Steinbruch Tutenbrock;

Fig. 3: REA 1399, Fig. 5: REA 1401.

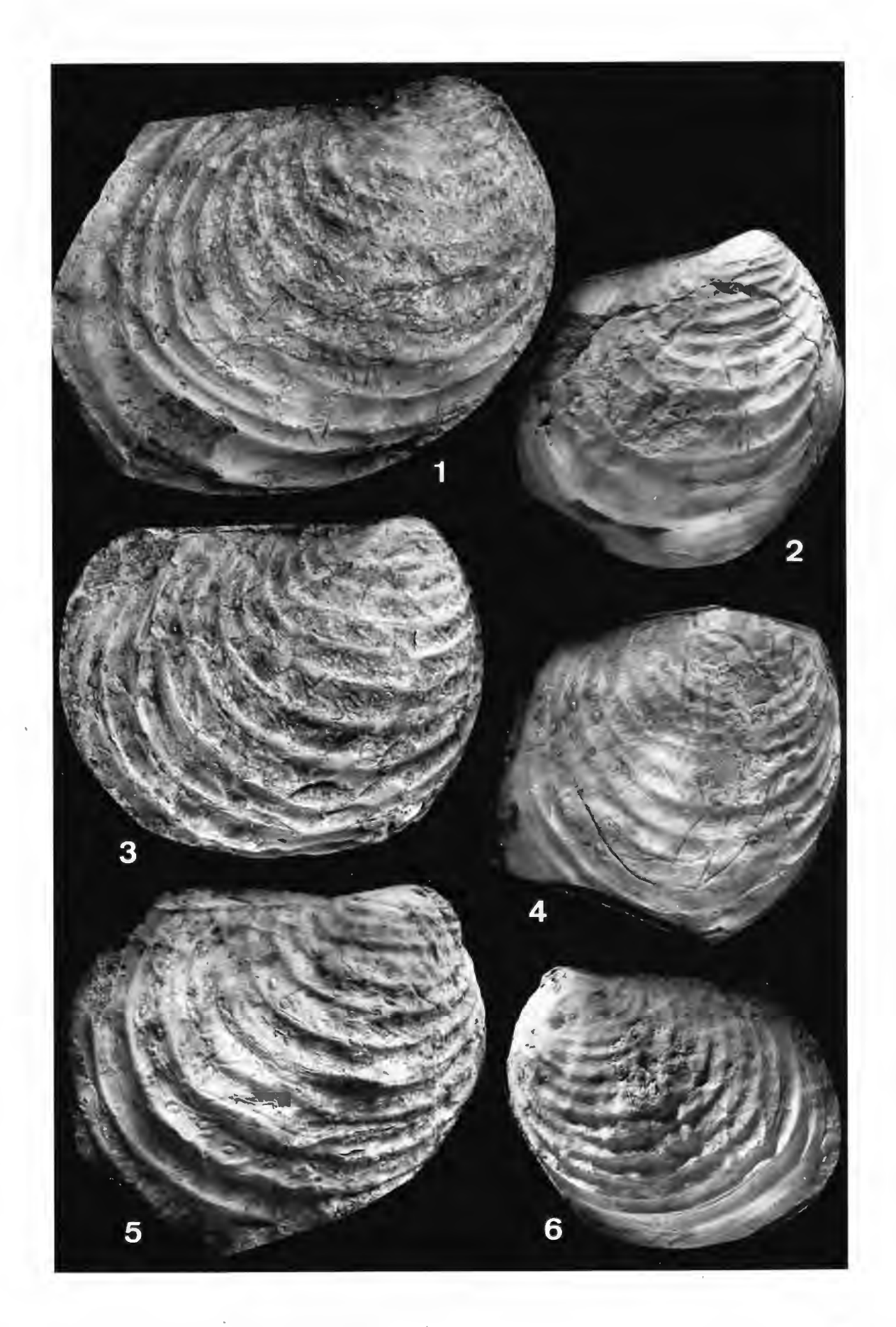
x0.85

Figs 2, 4, 6: Inoceramus aff. planus MÜNSTER, 1836

Fig. 2 und 4: Ober-Campan (conica/mucronta-Zone), Beckumer Schichten, Steinbruch Tutenbrock;

Fig. 2: RE A 1262, Fig. 4: RE A 1675; x 0.85

Fig. 6: Ober-Campan (conica/mucronata), Neubeckum, Steinbruch Anna, RE A 1676; x. 0.8.



Cataceramus marcki (GIERS, 1964)

Fig. 1 und 2: Ober-Campan (conica/mucronata-Zone), Beckumer Schichten, Steinbruch Tutenbrock;

Fig. 1: RE A 1203/2 und Fig. 2: RE A 1378.

Fig. 3: Ober-Campan (conica/mucronata-Zone), Beckumer Schichten, Neubeckum, Steinbruch

Anna, RE A 1619.

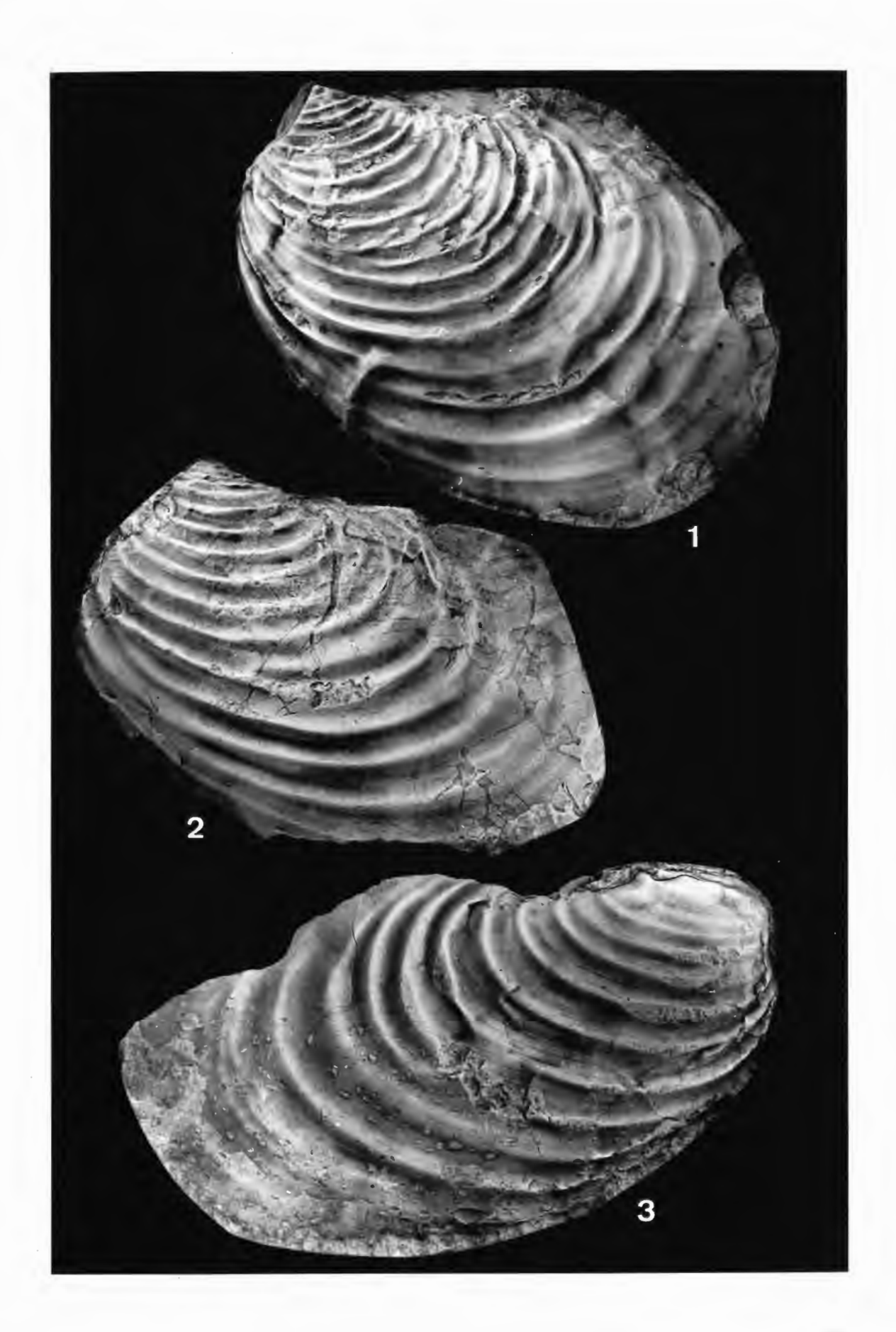


Fig. 1, 4-5:Cataceramus pteroides (GIERS, 1964) Übergangsform zur Cataceramus marcki (GIERS, 1964)
Ober-Campan (conica/mucronata-Zone), Beckumer Schichten, Steinbruch Tutenbrock;
Fig. 1: RE A 1434, Fig. 4: RE A 1573 und Fig. 5: RE A 1404.

x 0.85

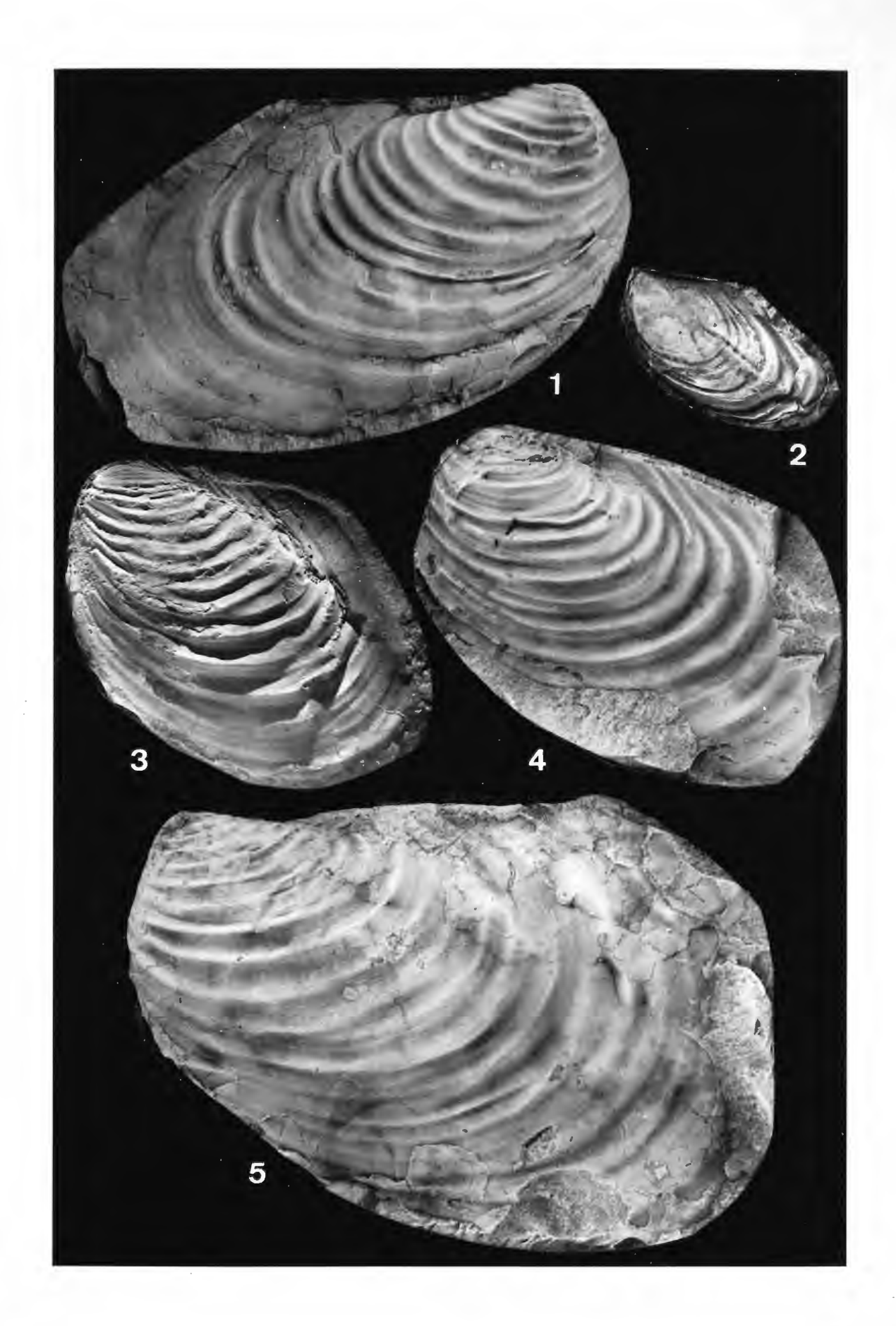
Fig. 2: Inoceramus sp.

Ober-Campan (stobaei/basiplana - vulgaris/basiplana-Zonen), Vorhelmer Schichten, Steinbruch Bosenberg, RE A 1205, eine von GIERSschen *E. impressa* (d'ORBIGNY). x 1.

Fig. 3: Cataceramus pteroides (GIERS, 1964)

Ober-Campan (stobaei/basiplana - vulgaris/basiplana-Zonen), Vorhelmer Schichten, Steinbruch Bosenberg, RE A 1585.

x 0.83.



Figs 1-5: Cataceramus pteroides (GIERS, 1964) Fig. 1 und 4-5:

Ober-Campan (conica/mucronata-Zone), Beckumer Schichten, Steinbruch Tutenbrock;

Fig. 1: RE A 1431, Fig. 4: RE A 1429 und Fig. 5: RE A 1569.

Ober-Campan (stobaei/basiplana - vulgaris/basiplana-Zonen), Vorhelmer Schichten, Fig. 2:

Steinbruch Bosenberg, RE A 1427.

Ober-Campan (conica/mucronata-Zone), Beckumer Schichten, Ennigerloh, Steinbruch Fig. 3:

Germania, RE A 1608.

Fig. 6: Inoceramus agdjakendsis ALIEV, 1952

> Ober-Campan (stobaei/basiplana - vulgaris/basiplana-Zonen), Vorhelmer Schichten, Steinbruch Bosenberg, RE A 1204, eine von GIERSschen Endocostea impressa

(d'ORBIGNY).

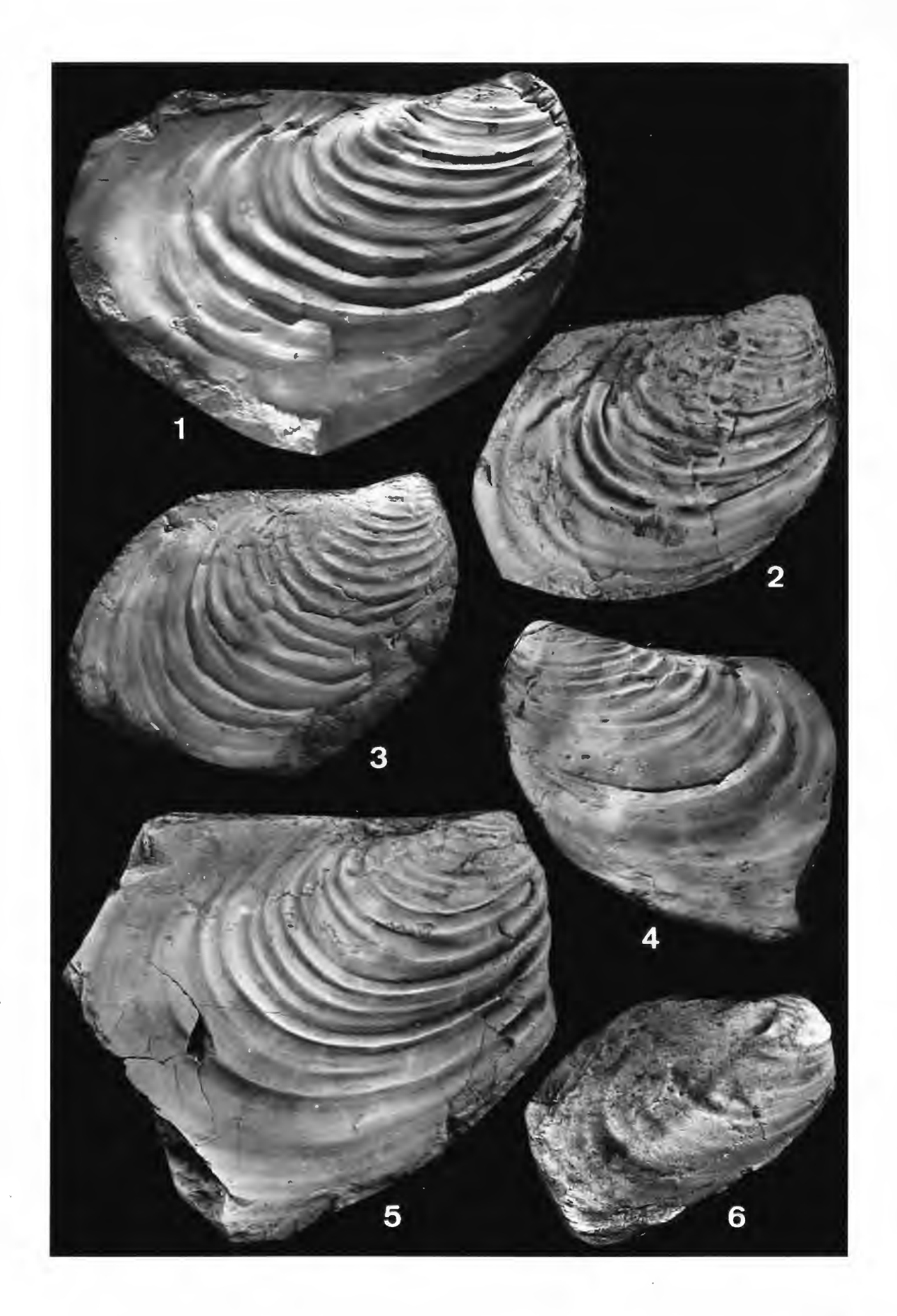


Fig. 1, 4-5: Cataceramus pteroides (GIERS, 1964) Ober-Campan (stobaei/basiplana - vulgaris/basiplana-Zonen), Vorhelmer Schichten, Fig. 1: Steinbruch Bosenberg, RE A 1448; x 0.85. Ober-Campan (conica/mucronata-Zone), Beckumer Schichten, Beckum, Steinbruch Hus-Fig. 4: sling, RE A 1572; x 0.7. Ober-Campan (stobaei/basiplana - vulgaris/basiplana-Zonen), Vorhelmer Schichten, Fig. 5: Steinbruch Bosenberg, RE A 1432; x 0.7. Fig. 2: Cataceramus marcki (GIERS, 1964) Ober-Campan (conica/mucronata-Zone), Beckumer Schichten, Steinbruch Tutenbrock, RE A 1424; x 0.85. Fig. 3: Cataceramus balticus (BÖHM, 1909) Ober-Campan (stobaei/basiplana - vulgaris/basiplana-Zonen), Vorhelmer Schichten, Steinbruch Bosenberg, RE A 1374; x 0.85. Fig. 6: Inoceramus sp. Unter-Campan, Stromberger Schichten, Beckum, Steinbruch Mühlen, RE A 1201, eine

von GIERSschen E. impressa (d'ORBIGNY); x 0.85.



Fig. 1-5: Cataceramus balticus (BÖHM, 1909)

Fig. 1: Ober-Campan (stobaei/basiplana - vulgaris/basiplana-Zonen), Vorhelmer Schichten,

Beckum, Steinbruch Kreuzberg, RE A 1657, eine von GIERSschen I. balticus var. tenui-

costata.

Fig. 2-3, 5: Ober-Campan (stobaei/basiplana - vulgaris/basiplana-Zonen), Vorhelmer Schichten,

Steinbruch Bosenberg; Fig. 2: RE A 1648, Fig. 3: RE A 1408, und Fig. 5: RE A 1250.

Fig. 4: Unter-Campan, Stromberger Schichten, Oelde, RE A 1640, eine von GIERSschen I.

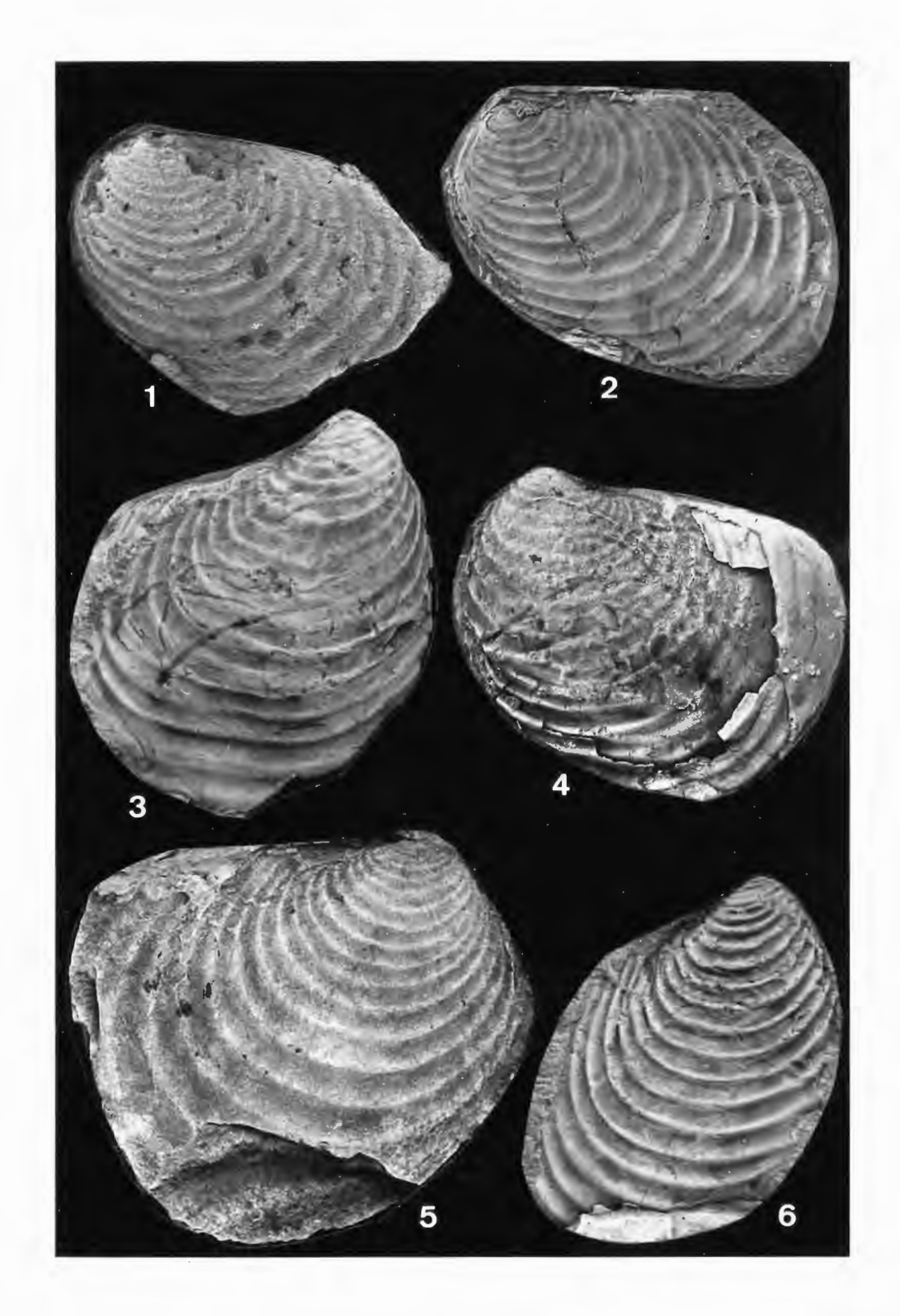
balt. var. tenuicostatus.

x 0.85.

Fig. 6: Cataceramus vorhelmensis sp.n.

Ober-Campan (stobaei/basiplana - vulgaris/basiplana-Zonen), Vorhelmer Schichten,

Steinbruch Bosenberg, RE A 1258.



Figs 1-5: Cataceramus dariensis (DOBROV & PAVLOVA, 1959)

Ober-Campan (*conica/mucronata*-Zone), Beckumer Schichten, Steinbruch Tutenbrock; Fig. 1: RE A 1276, Fig. 2: RE A 1316, Fig. 3: RE A 1627, Fig. 4: RE A 1623, und Fig. 5: RE A 1385.

x 0.85

Fig. 6: Cordiceramus ex gr. muelleri (PETRASCHECK, 1906)

Ober-Campan (conica/mucronata-Zone), Beckumer Schichen, Steinbruch Tutenbrock,

RE A 1385.

x 0.7.

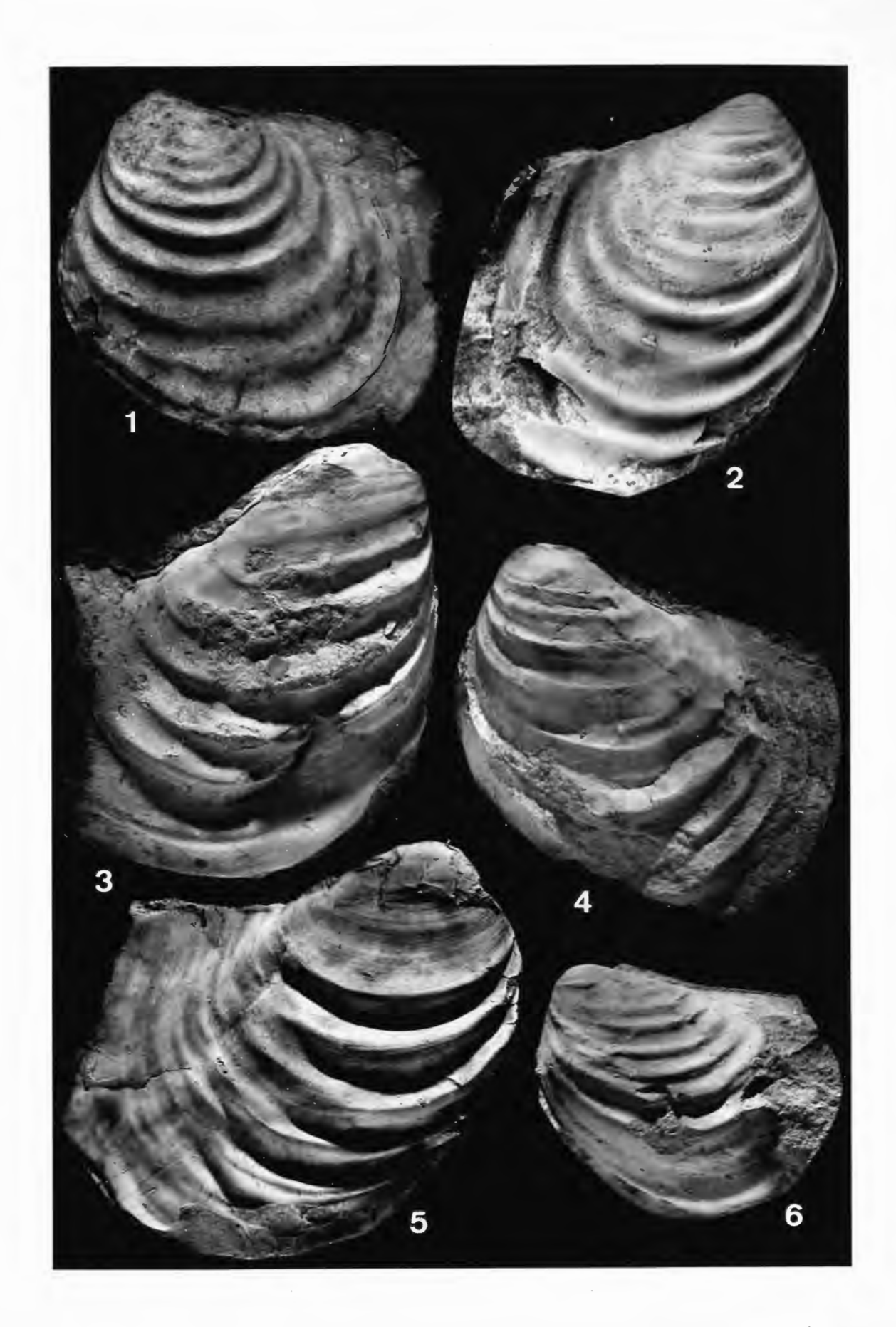


Fig. 1-3, 5: Cataceramus dariensis (DOBROV & PAVLOVA, 1959)

Fig. 1 und 3: Ober-Campan (conica/mucronata- Zone), Beckumer Schichten, Steinbruch

Tutenbrock; Fig. 1: RE A 1611 und Fig. 3: RE A 1311/1.

Fig. 2: Ober-Campan (conica/mucronata-Zone), Beckumer Schichen, Neubeckum, Steinbruch

Anna, RE A 1616.

x 0.85.

Fig. 4: Cataceramus beckumensis (GIERS, 1964)

Unter-Campan, Stromberger Schichten, Oelde, jugendliches Exemplar, RE A 1207.



Fig. 1: Cataceramus cf. vorhelmensis sp.n.

Ober-Campan (stobaei/basiplana - vulgaris/basiplana-Zonen), Vorhelmer Schichten,

Steinbruch Bosenberg, RE A 1582.

x 0.85

Fig. 2-5: Cataceramus beckumensis (Giers, 1964)

Fig. 2-3 und 5: Ober-Campan (conica/mucronata-Zone), Beckumer Schichten, Steinbruch Tutenbrock;

Fig. 2: RE A 1291, Fig. 3: RE A 1323 und Fig. 5: RE A 1678.

Fig. 4: Ober-Campan (stobaei/basiplana - vulgaris/basiplana-Zonen), Vorhelmer Schichten,

Ahlen, Freibad, RE A 1294.

x 0.85

Fig. 6: Sphaeroceramus subsarumensis (RENNGARTEN, 1926)

Ober-Campan (conica/mucronata-Zone), Beckumer Schichten, Steinbruch Tutenbrock,

RE A 1327.



Fig. 1:

Cataceramus beckumensis (GIERS, 1964)

Ober-Campan (conica/mucronata-Zone), Beckumer Schichten, Neubeckum, Steinbruch

Anna, RE A 1293.

x 0.75.

Ober-Campan (conica/mucronata-Zone), Beckumer Schichten, Steinbruch Tutenbrock; Fig. 2-6:

Fig. 2: RE A 1319, Fig. 3: RE A 1273 Holotypus, Original zu GIERS (1964, Pl. 2, Fig. 1),

Fig. 4: RE A 1289, Fig. 5: RE A 1281, und Fig. 6: RE A 1622.

Mit Ausnahme des Exemplars RE A 1281 das x 0.9 verkleinert ist, sind alle andere Ex-

emplare x 0.8 abgebildet.



Cataceramus beckumensis (GIERS, 1964)

Fig. 1, 4-5: Ober-Campan (conica/mucronata-Zone), Beckumer Schichten, Steinbruch Tutenbrock; Fig. 1: RE A 1305, Fig. 4: RE A 1415, Fig. 5: RE A 1307; x 0.8.

Fig. 2: Ober-Campan (conica/mucronata-Zone), Beckumer Schichten, Neubeckum, Steinbruch

Anna, RE A 1320; x 0.83.

Fig. 3: Ober-Campan (conica/mucronata-Zone), Beckumer Schichten, Zementsteinbruch

Dyckerhoff (damals Steinbruch Schlenkhoff), RE A 1299; 0.84.



Cataceramus beckumensis (GIERS, 1964)

Fig. 1: Ober-Campan (conica/mucronata-Zone), Beckumer Schichten, Neubeckum, Steinbruch

Anna, RE A 1274; x 0.88.

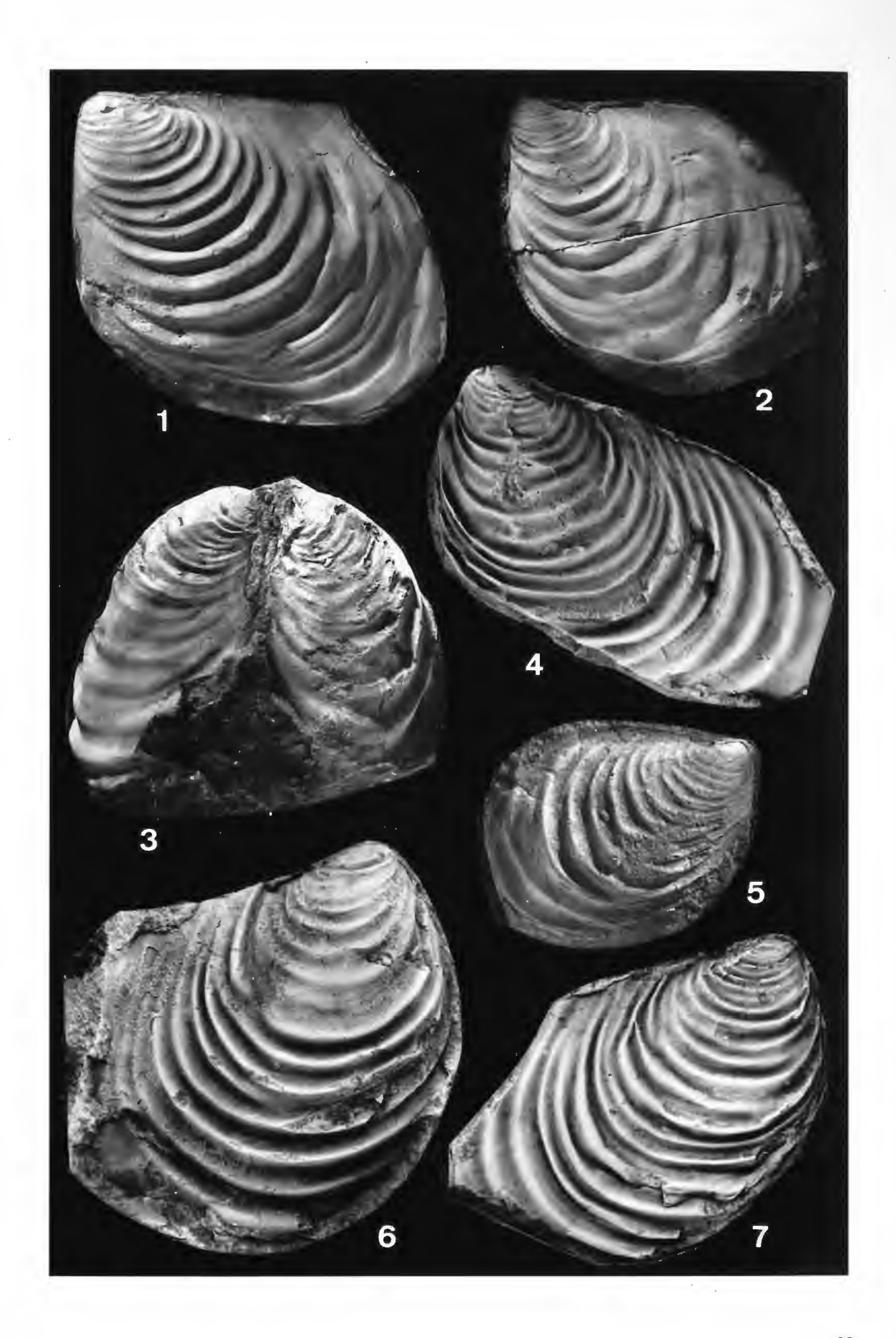
Fig. 2-4 und 6-7: Ober-Campan (conica/mucronata-Zone), Beckumer Schichten, Steinbruch Tutenbrock;

Fig. 2: RE A 1306, Fig. 3: RE A 1361 (eine von GIERSschen I. haldemensis), Fig. 4: RE A

1398, Fig. 6: RE A 1314, und Fig. 7: RE A 1398; x 0.85.

Fig. 5: Ober-Campan (conica/mucronata-Zone), Beckumer Schichten), Schurf 2 km westlich

von Hoetmar, RE A 1359 (eine von GIERSschen I. haldemensis); x 0.83.



Cataceramus vorhelmensis sp.n.

Ober-Campan (stobaei/basiplana - vulgaris/basiplana-Zonen), Vorhelmer Schichten, Fig. 1-2 und 4-6:

Steinbruch Bosenberg; Fig. 1: RE A 1590, Fig. 2: RE A 1423, Fig. 4: RE A 1419 (Holoty-

pus), Fig. 5: RE A 1422, Fig. 6: RE A 1587; Fig. 1, 4-5 x 0.84, Fig. 2 und 6 x 0.8.

Ober-Campan (conica/mucronata-Zone), Beckumer Schichten, Steinbruch Tutenbrock, Fig. 3:

RE A 1618; x 0.88.

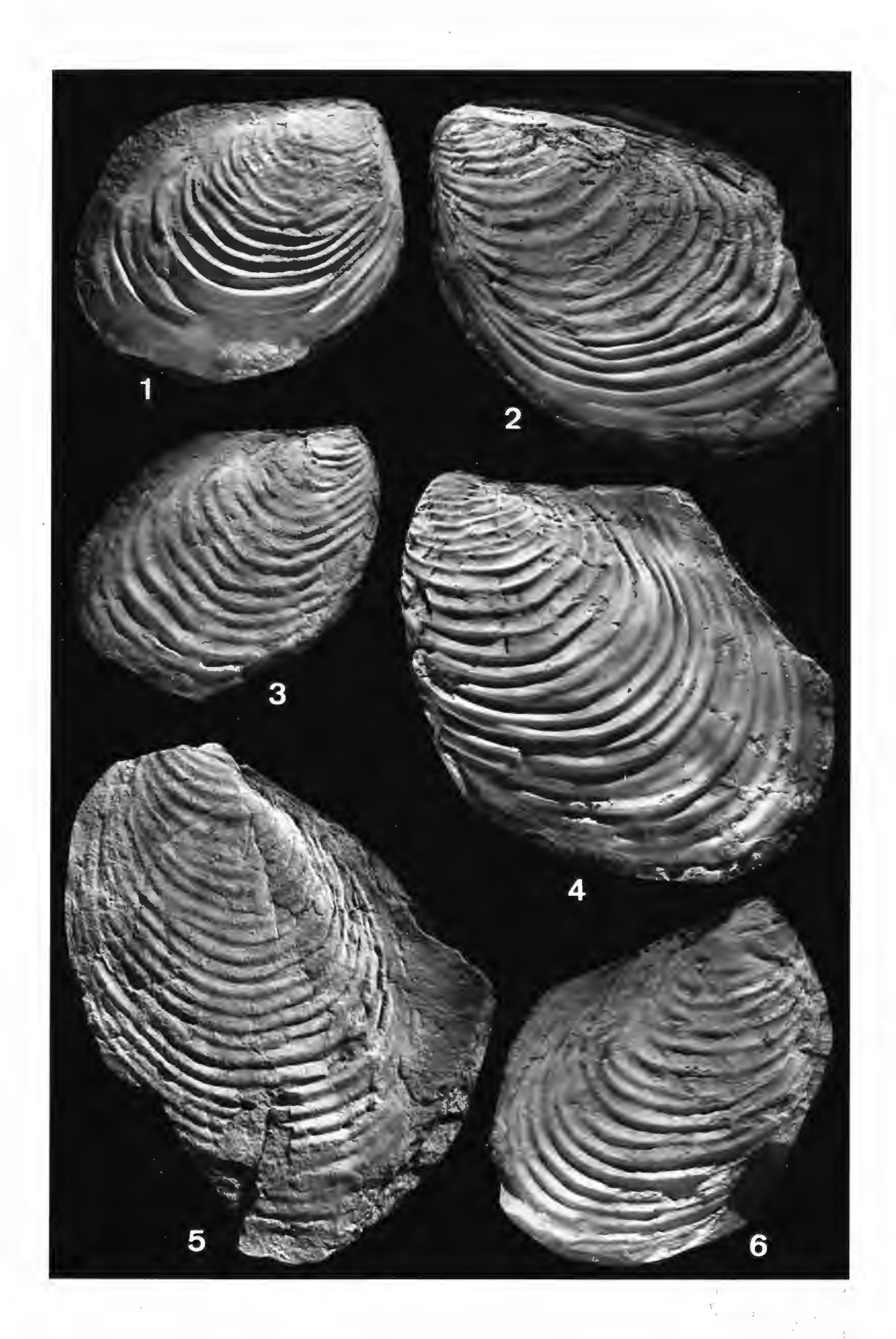


Fig. 1, ?4, und 8: Inoceramus tausiensis (ALIEV, 1954)

Fig. 1: Ober-Campan (stobaei/basiplana - vulgaris/basiplana-Zonen), Vorhelmer Schichten,

Steinbruch Bosenberg, RE A 1643.

Fig. 4 und 8: Ober-Campan (stobaei/basiplana - vulgaris/basiplana-Zonen), Vorhelmer Schichten,

Steinbruch Bosenberg; Fig. 4: RE A 1441 und $\,$ Fig. 8: RE A 1420; Fig. 4 x 0.75 und $\,$ Fig.

8 x 0.83.

Fig. 2-3, 5-7: Cataceramus vorhelmensis sp. n.

Ober-Campan (stobaei/basiplana - vulgaris/basiplana-Zonen), Vorhelmer Schichten,

Steinbruch Bosenberg; Fig. 2: RE A 1583, Fig. 3: RE A 1342, Fig. 5: RE A 1388, Fig. 6:

RE A 1344, Fig. 7: RE A 1446.

Exemplare A 1342 und A 1446 x 0.8, Exemplar A 1388 x 0.85, und Exemplar A 1344 x

0.9.



Sphaeroceramus sarumensis (WOODS, 1911)

Fig. 1 und 5-6: Ober-Campan (conica/mucronata-Zone), Beckumer Schichten, Steinbruch Tutenbrock;

Fig. 1: RE A 1329, Fig. 5: RE A 1326 und Fig. 6: RE A 1267.

Fig. 1 x 0.89, Fig. 5 x 0.8 und Fig. 6 x 0.85.

Fig. 2-3: Ober-Campan (stobaei/basiplana-Zone), Vorhelmer Schichten, Steinbruch Bosenberg

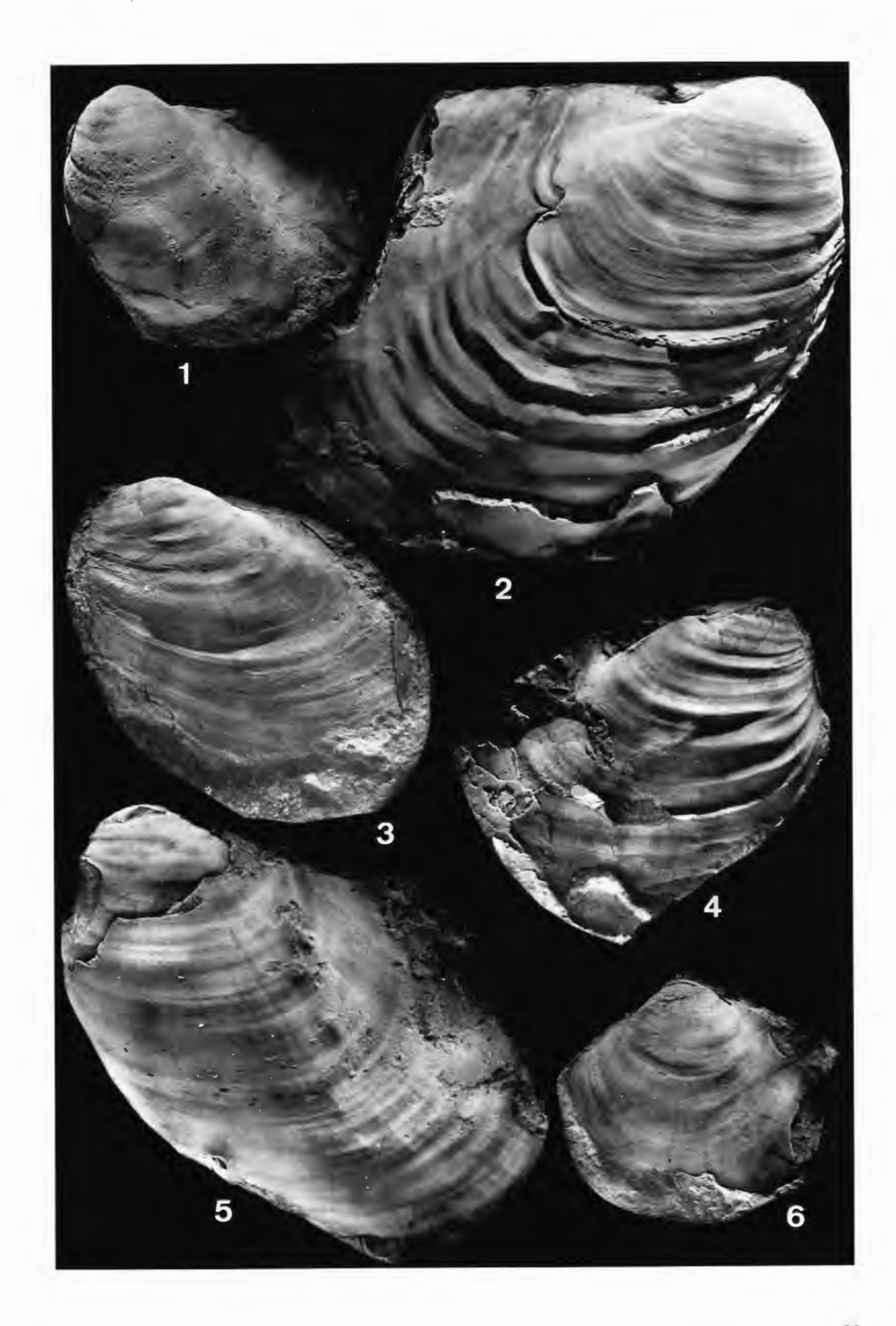
Fig. 2: RE A 1335 und Fig. 3: RE A 1449.

Fig. 2 x 0.8 und Fig. 3 x 0.84.

Fig. 4: Ober-Campan (conica/mucronata-Zone), Beckumer Schichten, Ennigerloh, Steinbruch

Elsa, RE A 1584.

x 0.85.



Sphaeroceramus sarumensis (WOODS, 1911)

Fig. 1, 3-4 und 6: Ober-Campan (conica/mucronata-Zone), Beckumer Schichten, Steinbruch Tutenbrock;

Fig. 1: RE A 1325, Fig. 3: RE A 1328, Fig. 4: RE A 1330, Fig. 6: RE A 1332.

x 0.85.

Fig. 2: Ober-Campan (basiplana/stobaei - vulgaris/basiplana-Zonen), Vorhelmer Schichten,

Beckum, Steinbruch Kreuzberg, RE A 1333.

x 0.8

Fig. 5: Ober-Campan (stobaei/basiplana - vulgaris/basiplana-Zonen), Vorhelmer Schichten,

Steinbruch Bosenberg, RE A 1331.

x 0.8.



Inoceramus ellipticus GIERS, 1964

Fig. 1: Ober-Campan (conica/mucronata-Zone), Beckumer Schichten, Beckum, Steinbruch Ruhr

& Co., RE A 1253; x .85.

Fig. 2-4 und 6: Ober-Campan (basiplana/stobaei - vulgaris/basiplana-Zonen), Vorhelmer Schichten,

Steinbruch Bosenberg; Fig. 2: RE A 1202 (eine von GIERSschen *E. impressa*), Fig. 3: RE A 1338, Fig. 4: RE A 1656 (eine von GIERSschen *I. balt.* var. tenuicostatus), Fig. 6: RE A

1631.

x 0.85.

Fig. 5: Ober-Campan (stobaei/basiplana - vulgaris/basiplana-Zonen), Vorhelmer Schichten,

Steinbruch Bosenberg, RE A 1344; x 0.75.

Fig. 7: Holotypus, Original zu GIERS (1964, Pl. 2, Fig. 3), RE A 1339; Ober-Campan (stobaei/

basiplana - vulgaris/basiplana-Zonen), Vorhelmer Schichten, Steinbruch Kreuzberg; x

0.75.

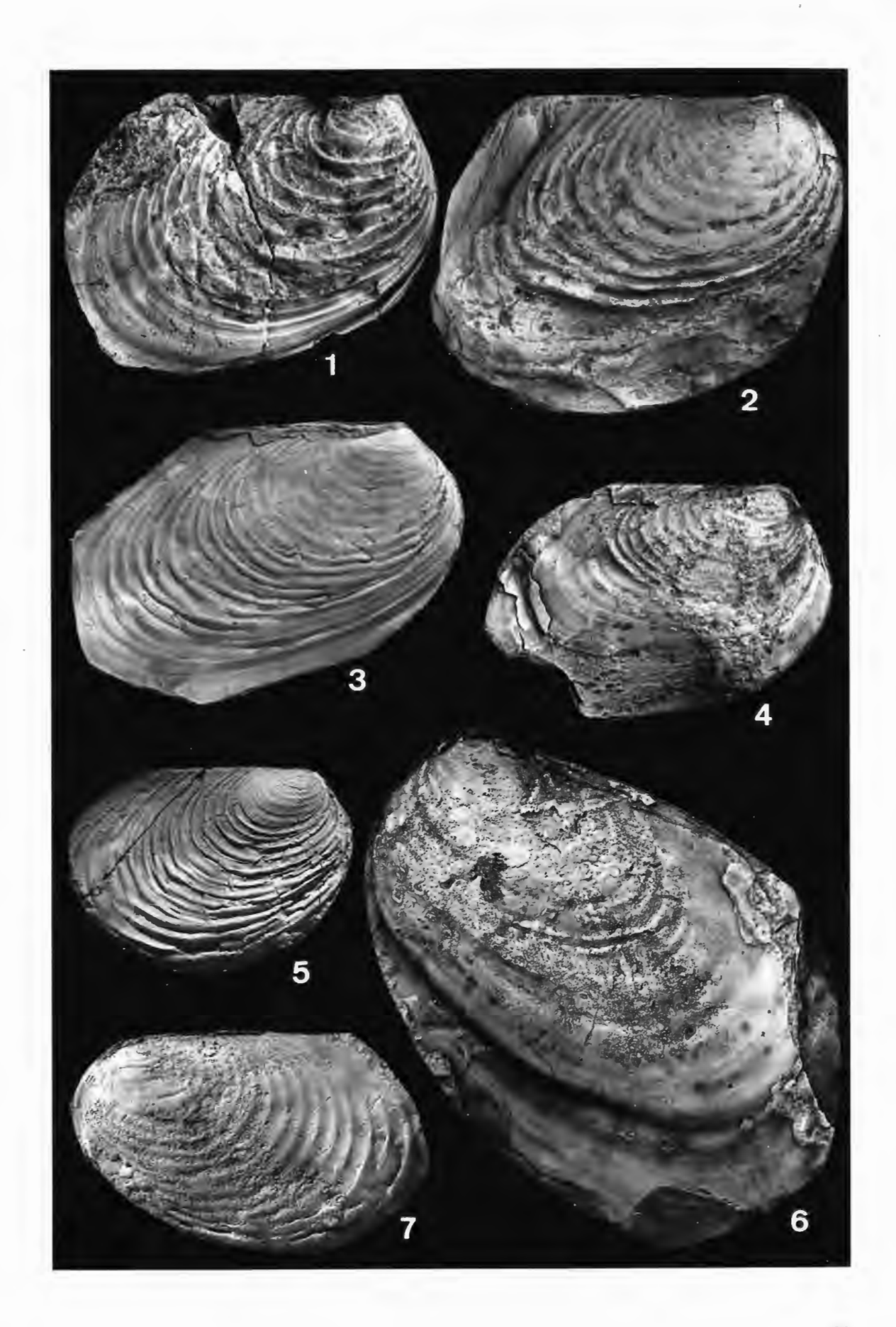


Fig. 1-4 und 5:

Inoceramus ellipticus GIERS, 1964

Fig. 1-4:

Ober-Campan (stobaei/basiplana - vulgaris/basiplana Zonen), Vorhelmer Schichten, Steinbruch Bosenberg; Fig. 1: RE A 1342/2, Fig. 2: RE A 1342/1, Fig. 3: RE A 1356, Fig. 4: RE

A 1347.

Fig. 1-2, 4 x 0.75, Fig. 3 x 0.89.

Fig. 5:

Ober-Campan (stobaei/basiplana - vulgaris/basiplana Zonen), Vorhelmer Schichten, Stein-

bruch Kreuzberg, RE A 1353.

x 0.85.

Fig. 6:

Inoceramus sp.

Ober-Campan (Bostrychoceras polyplocum Zone), Haldemer Schichten, Haldem, MUG,

unregistriert.

x 0.8.

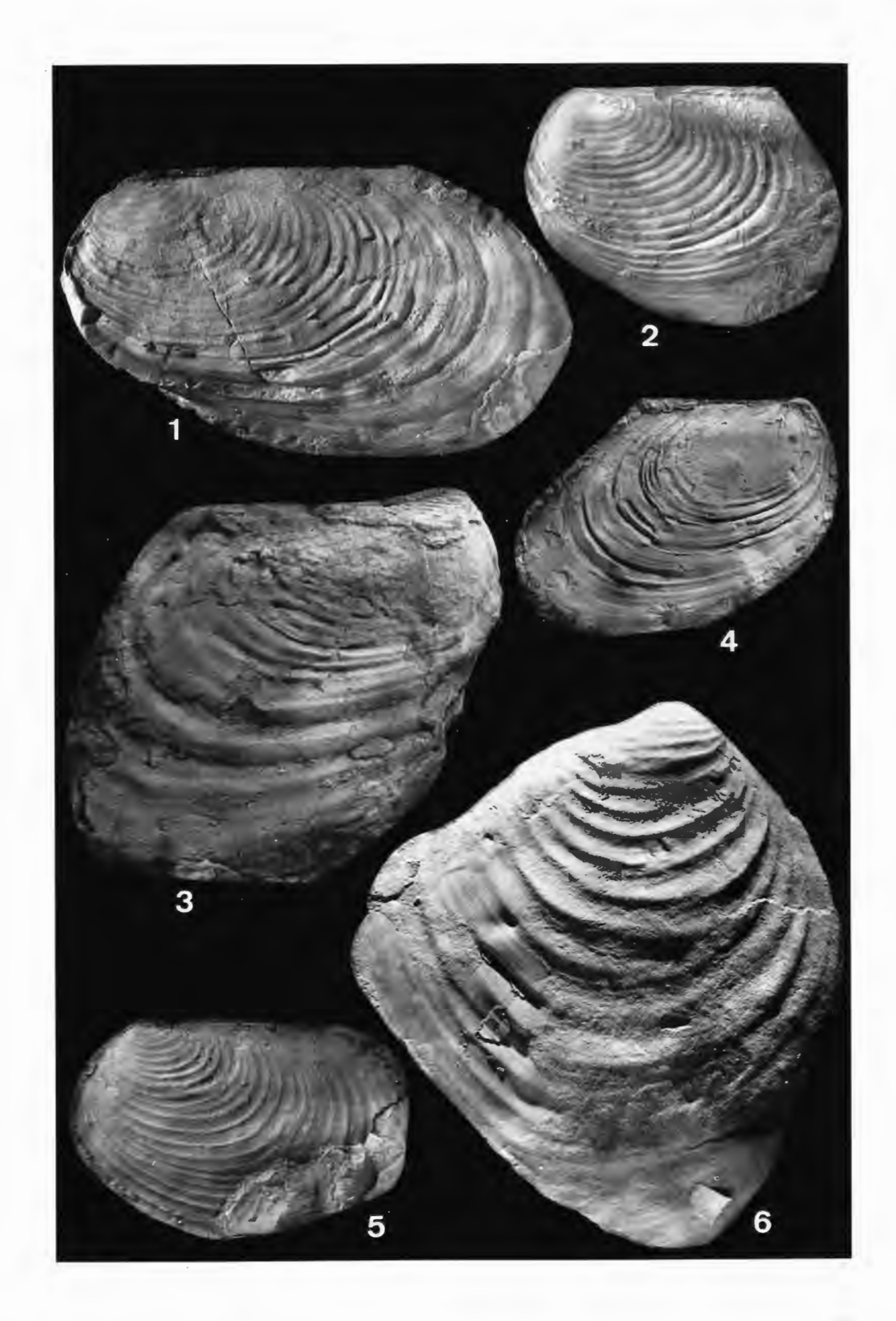


Fig. 1 und 4: Inoceramus ellipticus GIERS, 1964

Ober-Campan (stobaei/basiplana - vulgaris/basiplana-Zonen), Vorhelmer Schichten,

Steinbruch Bosenberg; Fig. 1: RE A 1340 und Fig. 4: RE A 1349.

x 0.8.

Fig. 2-3: Inoceramus agdjakendsis ALIEV, 1952

Ober-Campan (stobaei/basiplana - vulgaris/basiplana-Zonen, Vorhelmer Schichten, Stein-

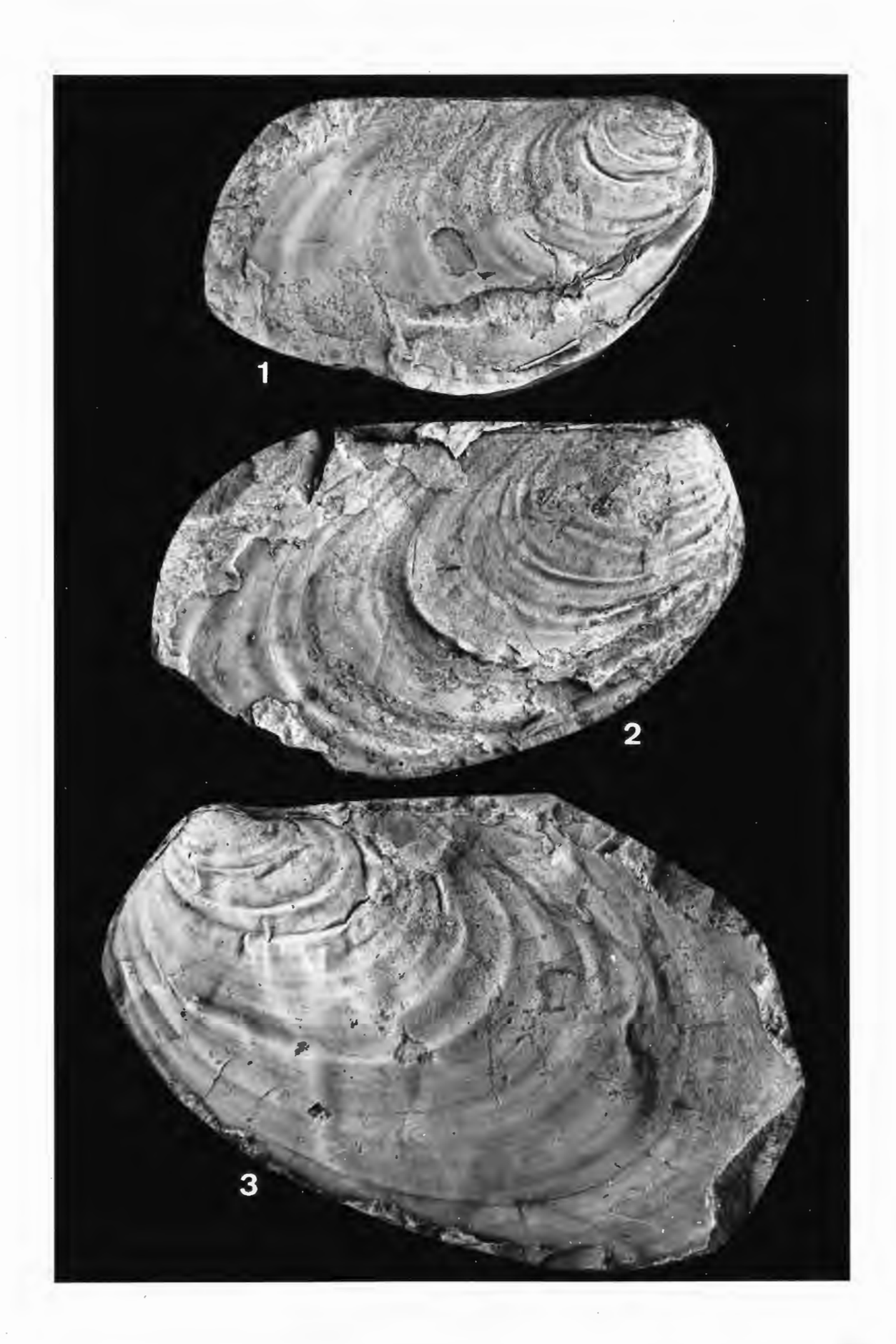
bruch Bosenberg; Fig. 2: RE A 1634 und Fig. 3: RE A 1683.

x 0.78.



Inoceramus agdjakendsis ALIEV, 1952

Ober-Campan (stobaei-basiplana - vulgaris/basiplana-Zonen), Vorhelmer Schichten, Steinbruch Bosenberg; Fig. 1: RE A 1637, Fig. 2: RE A 1348, Fig. 3: Holotypus von GIERS schen *Inoceramus balticus sublevigatus* (= *I. agdjakendsis* ALIEV), Original zu GIERS (1964, Pl. 3, Fig. 2), RE A 1633. x 0.85.



Inoceramus bosenbergensis sp.n.

Fig. 1-3 und 6: Ober-Campan (stobaei/basiplana - vulgaris/basiplana-Zonen), Vorhelmer Schichten,

Steinbruch Bosenberg; Fig. 3: RE A 1438, Fig. 6: RE A 1664, Fig. 1: RE A 1658, Fig. 2:

RE A 1341.

Fig. 4-5: Ober-Campan (stobaei/basiplana - vulgaris/basiplana- Zonen), Vorhelmer Schichten,

Steinbruch Kreuzberg; Fig. 4: RE A 1413 und Fig. 5: RE A 1654.

x 0.85.



Inoceramus aff. borilensis JOLKICEV, 1962

Fig. 1 und 3-5: Ober-Campan (stobaei/basiplana - vulgaris/basiplana-Zonen), Vorhelmer Schichten,

Steinbruch Bosenberg; Fig. 1: RE A 1248, Fig. 3: RE A 1681, Fig. 4: RE A 3304, Fig. 5:

RE A 1686.

Fig. 1 und 4 x 0.9, Fig. 3 x 0.84, Fig. 5 x 0.7.

Fig. 2: Exemplar RE A 3306, geographische und stratigraphische Lage unbekannt.

x 0.7.

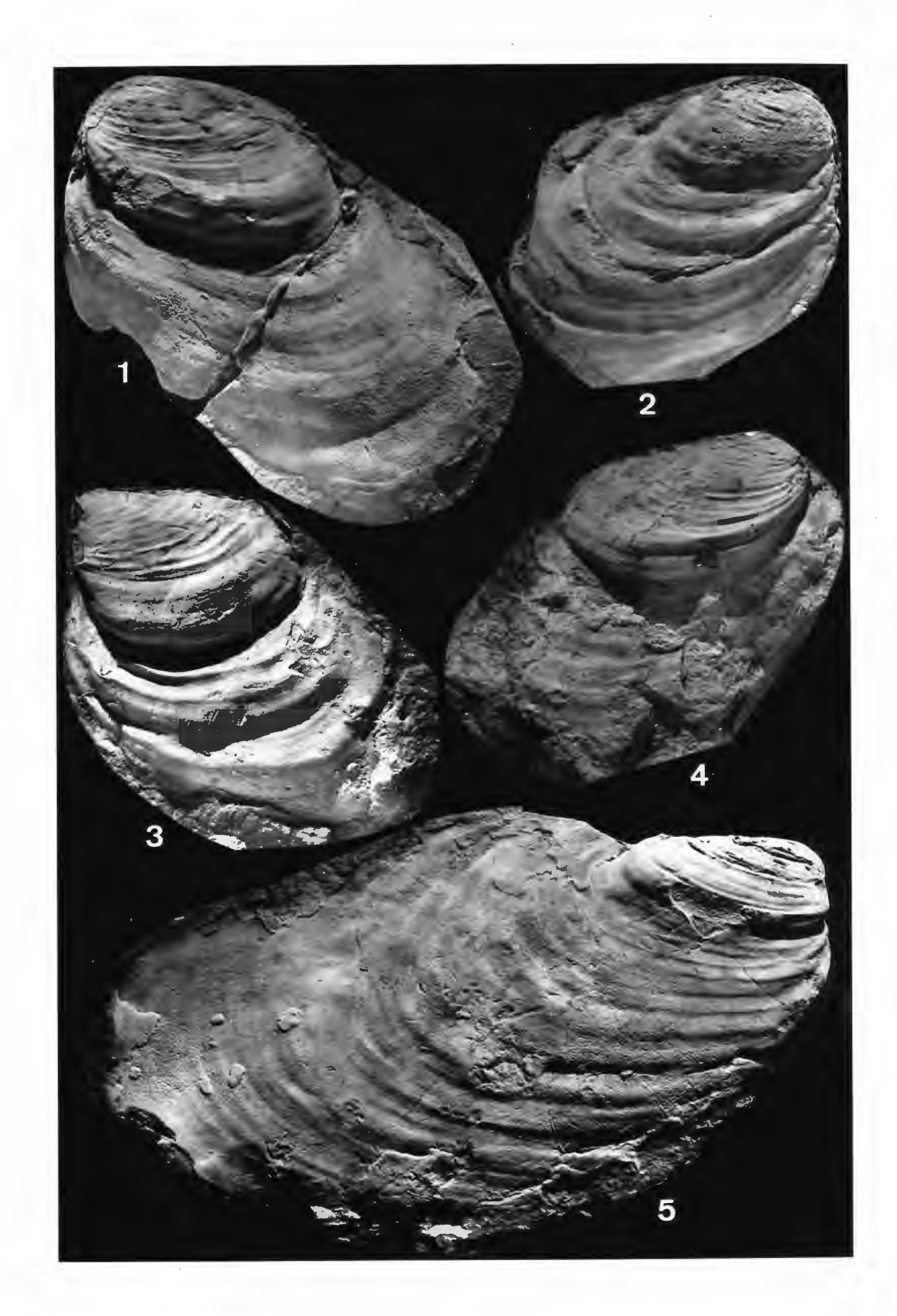


Fig. 1:

Inoceramus sp.

Ober-Campan (stobaei/basiplana - vulgaris/basiplana-Zonen), Vorhelmer Schichten,

Steinbruch Keruzberg, RE A 1400.

 $\times 0.8.$

Fig. 2: Inoceramus agdjakendsis ALIEV, 1952

Ober-Campan (stobaei/basiplana - vulgaris/basiplana-Zonen), Vorhelmer Schichten,

Steinbruch Bosenberg, RE A 1635; x o.85.

Fig. 3 und 6: Inoceramus algeriensis HEINZ, 1932

Ober-Campan (stobaei/basiplana - vulgaris/basiplana-Zonen), Vorhelmer Schichten:

Fig. 6: RE A 1352, Steinbruch Bosenberg; x 0.7.

Fig. 3: RE A 1249, Steinbruch Kreuzberg; x 0.85.

Fig. 4: Inoceramus sp.

Ober-Campan (conica/mucronata-Zone), Beckumer Schichten, Neubeckm, Steinbruch

Anna, RE A 1570; x 0.9.

Fig. 5: Inoceramus cf. azerbaydjanensis ALIEV, 1939

Ober-Campan (stobaei/basiplana - vulgaris/basiplana-Zone), Vorhelmer Schichten, Stein-

bruch Bosenberg, RE A 1386; x 0.85.

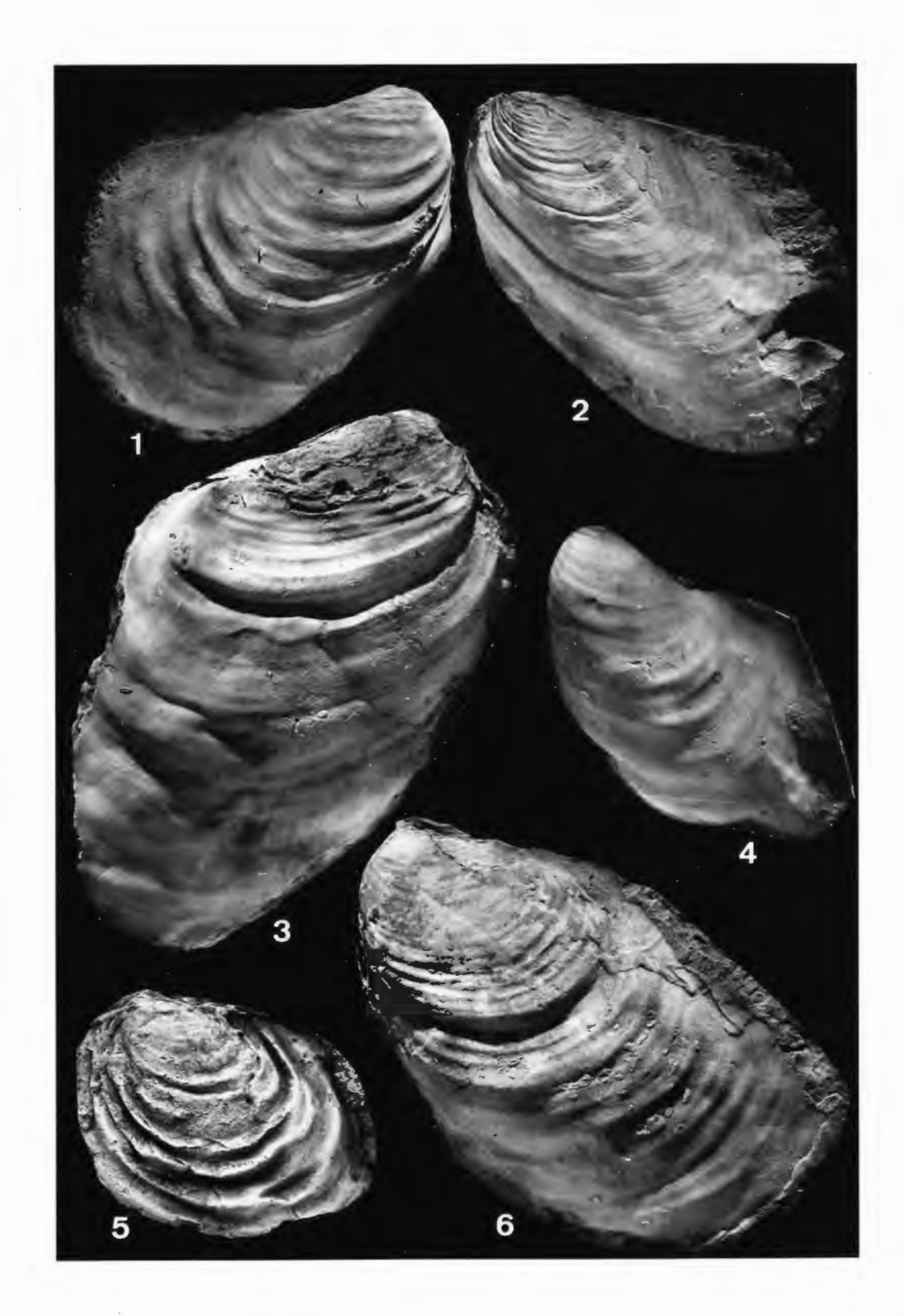


Fig. 1, ?3 und 5: Inoceramus haldemensis GIERS, 1964

Fig. 1 und 5: Holotypus, Original zu GIERS (1964, Pl. 2, Fig. 2), Ober-Campan (Bostrychoceras poly-

plocum-Zone), Haldemer Schchten, Haldem, MUG, unregistriert; x 0.8.

Fig. 3: Ober-Campan (B. polyplocum-Zone), Haldemer Schichten, Haldem, MUG, unregistriert;

x 0.8.

Fig. 2 und 4: Inoceramus planus MÜNSTER, 1836

Fig. 2: Ober-Campan (stobaei/basiplana - vulgaris/basiplana-Zonen), Vorhelmer Schichten,

Steinbruch Bosenberg, RE A 1672; x 0.85.

Fig. 4: Original zu GIERS (1964, Pl. 3, Fig. 2), Ober-Campan (B. polyplocum-Zone), Haldemer

Schichten, Haldem, MUG, unregistriert; x 0.75.

Fig. 6: Platyceramus ex gr. cycloides (WEGNER, 1905)

Ober-Campan (stobaei/basiplana - vulgaris/basiplana-Zonen), Vorhelmer Schichten,

Steinbruch Bosenberg, RE A 1667; x 0.85.

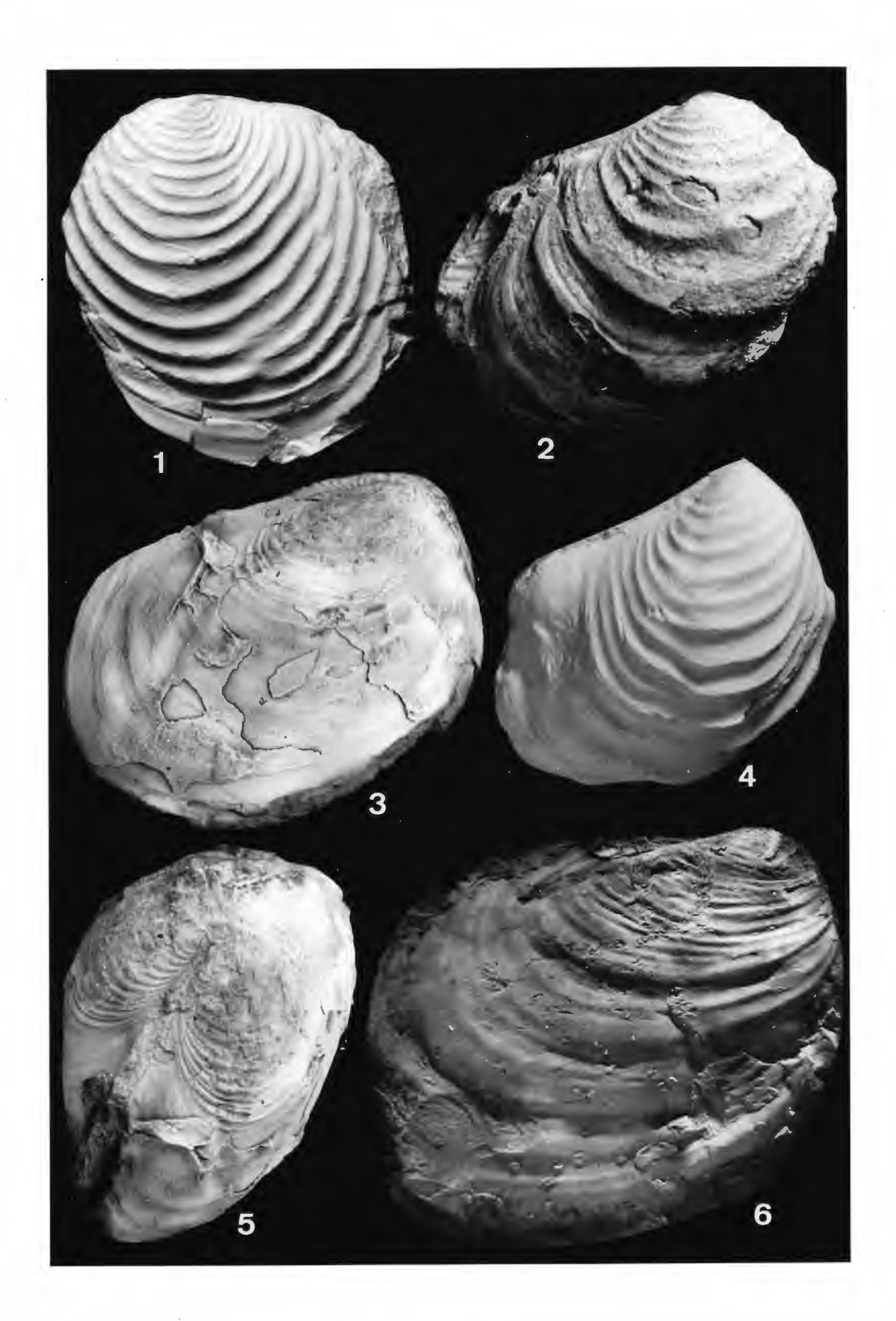


- Fig. 1: Inoceramus heberti FALLOT

 Typus, nachfolgend festgelegt durch Sornay (1968), nach dem Gipsabguss aus dem Museum
 National d'Histoire Naturelle, Paris.
- Fig. 2: Inoceramus antunesi SORNAY, 1969; SW Frankreich, Ober-Campan, MNHP, unregistriert; x 0.8
- Fig. 3, 5-6: Inoceramus algeriensis HEINZ, 1932
- Fig. 3, 5: Original zu I. algeriensis in VOÛTE, 1951, Ammonitenberg, Algeria, Mittel-Campan; MNHP.
- Fig. 6: Ober-Campan (*stobaei/basiplana vulgaris/basiplana-*Zonen), Vorhelmer Schichten, Steinbruch Bosenberg, RE A 1443; x 0.67.
- Fig. 4: Cordiceramus muelleri (PETRASCHECK, 1906)

 Unter-Campan von Belgien, Aufnahme nach dem Gipsabguss von dem Original aus dem Museum Nationale d'Histoire Naturelle, Paris.

 x 0.8.



Tafel	32
-------	----

Fig. 1-3: Cataceramus sornayi (DHONDT) (=Inoceramus regularis d'ORBIGNY, 1845) Holotypus, Royan, SW Frankreich, MNHP R6788, x 0.8.

Fig. 4-5: Inoceramus artigesi SORNAY, 1969; SW Frankreich, Ober-Campan, MNHP, unregistriert;

x 0.8.

Fig. 6-7: Endocostea impressa (d'ORBIGNY, 1845)

Lectotypus, Royan, SW Frankreich, MNHP 7592; x 0.8.

